

**INSTITUTO FEDERAL DE EDUCAÇÃO, CIÊNCIA E TECNOLOGIA DA PARAÍBA  
CAMPUS PATOS**  
**CURSO SUPERIOR DE BACHARELADO EM ENGENHARIA CIVIL**

**KLEBER ENRIQUE DA SILVA SOBRINHO**

**PROJETO ESTRUTURAL DE UMA RESIDÊNCIA UNIFAMILIAR EM  
CONCRETO ARMADO COM APLICAÇÃO DO SOFTWARE TQS®**

**PATOS - PB**  
**2024**

**KLEBER ENRIQUE DA SILVA SOBRINHO**

**PROJETO ESTRUTURAL DE UMA RESIDÊNCIA UNIFAMILIAR EM  
CONCRETO ARMADO COM APLICAÇÃO DO SOFTWARE TQS®**

Trabalho de Conclusão de Curso apresentado  
ao Curso de Bacharelado em Engenharia Civil  
do Instituto Federal de Educação, Ciência e  
Tecnologia da Paraíba – *Campus* Patos, como  
requisito parcial à obtenção do título de  
Engenheiro Civil.

**Orientador (a): Prof. MSc. Valteson da Silva  
Santos**

**PATOS - PB**

**2024**

FICHA CATALOGRÁFICA ELABORADA PELA BIBLIOTECA CAMPUS PATOS/IFPB

S581p Silva Sobrinho, Kleber Enrique da.

Projeto estrutural de uma residência unifamiliar em concreto armado com aplicação do software TQS® / Kleber Enrique da Silva.- Patos, 2024.

135 f. : il.

Trabalho de Conclusão de Curso (Curso Superior em Engenheiro Civil.)-Instituto Federal da Paraíba, Campus Patos-PB, 2024.

Orientador(a): Prof. MSc. Valteson da Silva Santos.

1. Dimensionamento de estruturas 2. Software TQS®-Construção civil-Automação de cálculos estruturais 3. Concreto armado I. Título II. Santos, Valteson da Silva III. Instituto Federal da Paraíba.

CDU-693.55

**KLEBER ENRIQUE DA SILVA SOBRINHO**

**PROJETO ESTRUTURAL DE UMA RESIDÊNCIA UNIFAMILIAR EM  
CONCRETO ARMADO COM APLICAÇÃO DO SOFTWARE TQS®**

Trabalho de Conclusão de Curso apresentado  
ao Curso de Bacharelado em Engenharia Civil  
do Instituto Federal de Educação, Ciência e  
Tecnologia da Paraíba – *Campus* Patos, como  
requisito parcial à obtenção do título de  
Engenheiro Civil.

**APROVADO EM: 30 / 09 /2024**

**BANCA EXAMINADORA**

---

Prof. MSc. XXXXX – Valteson da Silva Santos  
Instituto Federal de Educação, Ciência e Tecnologia da Paraíba

---

Prof. MSc. Deividy Kaik de Lima Araujo - Examinador  
Instituto Federal de Educação, Ciência e Tecnologia da Paraíba

---

Profa. Esp. Larissa Layerr Oliveira de Medeiros e Lima - Examinadora  
Instituto Federal de Educação, Ciência e Tecnologia da Paraíba

## **AGRADECIMENTOS**

Em primeiro lugar agradeço a Deus, por ter me fortalecido ao decorrer da minha trajetória acadêmica.

Aos meus pais, Judivan e Maria, pela educação e ensinamentos durante toda minha vida, pela paciência e por sempre me incentivar nessa trajetória, agradeço. Agradeço também a minha namorada e futura esposa Natália Araújo por me apoiar em todas as coisas.

Agradeço aos professores e servidores do Instituto Federal da Paraíba - Patos pelos ensinamentos que tanto contribuíram para minha formação acadêmica.

De modo especial ao Prof. MSc. Valteson da Silva Santos, pela disposição em orientar esse trabalho e pelos seus ensinamentos em sala de aula. Agradeço também aos professores Guilherme Vaz, Fernando Henrique, Weber Geovanni, Deividy Araujo e José Henrique pelos conhecimentos obtidos em projetos de pesquisa e nos programas de monitoria.

Agradeço também a Aldo Xavier, Gustavo Martins e Pedro Fernandes por terem me proporcionado o contato com a profissão de engenheiro civil.

Agradeço a todos os meus colegas pelos momentos de alegria durante trajetória.

## **RESUMO**

O mercado da construção civil tem se beneficiado de avanços técnicos e tecnológicos, permitindo a aplicação de metodologias que conciliam sustentabilidade, durabilidade e economia. No Brasil, o concreto armado (CA) é a solução estrutural mais utilizada, destacando-se também no cenário mundial. Devido à crescente complexidade dos projetos, o uso de softwares especializados, como o TQS®, CypeCad® e AltoQi Eberick®, tornou-se indispensável na elaboração de projetos estruturais, substituindo os cálculos manuais. Nesta pesquisa, o software TQS® foi escolhido por sua popularidade em escritórios de engenharia e pela disponibilidade da versão estudantil. O processo de desenvolvimento do projeto estrutural incluiu a escolha do sistema estrutural adequado e o lançamento dos elementos, como vigas, pilares, lajes e escadas, visando otimizar suas dimensões e compatibilizá-los com a arquitetura. A utilização do software contribuiu significativamente para a eficiência do projeto, auxiliando tanto no dimensionamento quanto no detalhamento dos elementos estruturais, além de proporcionar uma análise quantitativa precisa dos materiais. O projeto em questão, uma residência unifamiliar, localizada na cidade de Malta/PB, demandou 48,09 m<sup>3</sup> de concreto, 497,89 m<sup>2</sup> de fôrmas e 3014 kgf de aço. Apesar da eficiência proporcionada por ferramentas computacionais, o conhecimento teórico continua sendo essencial para a elaboração de bons projetos. É necessário que o engenheiro tenha domínio das disciplinas fundamentais, como resistência dos materiais e teoria das estruturas, além de validar os resultados gerados pelo software antes da execução do projeto.

**Palavras-chave:** Dimensionamento de estruturas; Automação de cálculos estruturais; Lançamento estrutural.

## ABSTRACT

The construction industry has benefited from significant technical and technological advancements, enabling the implementation of methodologies that integrate sustainability, durability, and cost-efficiency. In Brazil, reinforced concrete (RC) remains the most widely used structural solution, standing out globally as well. Due to the increasing complexity of projects, the use of specialized software, such as TQS®, CypeCad®, and AltoQi Eberick®, has become indispensable for structural design, replacing manual calculations. In this study, TQS® software was selected due to its widespread use in engineering firms and the availability of a student version. The development process of the structural project involved selecting an appropriate structural system and designing elements such as beams, columns, slabs, and stairs, with the goal of optimizing their dimensions and ensuring compatibility with the architectural design. The use of the software significantly enhanced the project's efficiency, assisting both in the sizing and detailing of structural elements, while also providing an accurate quantitative analysis of materials. The project, a single-family residence located in Malta, PB, required 48.09 m<sup>3</sup> of concrete, 497.89 m<sup>2</sup> of formwork, and 3014 kgf of steel. Despite the efficiency provided by computational tools, theoretical knowledge remains crucial for the development of sound designs. Engineers must possess a thorough understanding of fundamental subjects, such as material strength and structural theory, as well as validate the software-generated results before proceeding with project execution.

**Keywords:** Structural design; Automation of structural calculations; Structural modeling.

## LISTA DE FIGURAS

Figura 1 - Barco confeccionado a partir de argamassa e malha fina por Lambot .....	15
Figura 2 – Vasos de flores de Joseph Monier.....	15
Figura 3 - Treliça de Morsch e Ritter. ....	16
Figura 4 - Burj Khalifa: o edifício mais alto do mundo, Dubai.....	16
Figura 5 – Hidrelétrica das Três Gargantas, China.....	17
Figura 6 - Viga em concreto simples com tensões atuantes. ....	18
Figura 7 - Viga em concreto armado com tensões atuantes .....	18
Figura 8 – Esquema explicativo da subestrutura e superestrutura.....	20
Figura 9 - Execução de vigas .....	21
Figura 10 - Fluxograma do projeto estrutural da residência.....	25
Figura 11 - Arquitetura do pavimento térreo .....	26
Figura 12 - Arquitetura do pavimento superior .....	27
Figura 13 - Arquitetura da coberta.....	27
Figura 14 - Dados gerais de identificação do edifício .....	29
Figura 15 - Altura dos pavimentos da edificação .....	30
Figura 16 - Definição do concreto usado.....	30
Figura 17 - Cobrimento nominal dos elementos estruturais .....	31
Figura 18 - Pesos das alvenarias definidos pela NBR 6120 .....	32
Figura 19 - Inserindo arquiteturas no TQS .....	35
Figura 20 - Inserindo informações dos pilares .....	35
Figura 21 - Posicionamento dos pilares.....	36
Figura 22 - Visualização 3D dos pilares.....	36
Figura 23 - Inserindo informações das vigas .....	39
Figura 24 - Posicionamento das vigas .....	39
Figura 25 - Visualização 3D das vigas .....	40
Figura 26 - Inserindo informações das lajes .....	41
Figura 27 – Lançamento das lajes maciças.....	42
Figura 28 - Visualização 3D das lajes .....	42
Figura 29 – Lançamento das escadas.....	43
Figura 30 - Visualização 3D das escada .....	44
Figura 31 - Interface do processamento global no TQS .....	45
Figura 32 - Finalização do processamento global .....	45

Figura 33 - Interface gráfica do TQS Vigas .....	46
Figura 34 - Informações do dimensionamento da Viga 301.....	47
Figura 35 - Informações da Viga 301 ao esforço de flexão.....	47
Figura 36 - Detalhamento da Viga 301.....	48
Figura 37 – Interface gráfica do TQS Lajes .....	48
Figura 38 – Detalhamento das armaduras positivas principais das lajes do pavimento superior .....	49
Figura 39 - Interface gráfica do TQS Pilar .....	50
Figura 40 - Informações da Pilar P1 ao esforço de flexão.....	50
Figura 41 - Detalhamento do Pilar P1 .....	51
Figura 42 - Detalhamento da armação da escada .....	52
Figura 43 - Consumo de concreto e fôrmas no edifício.....	53
Figura 44 - Consumo de aço no edifício.....	53
Figura 45 - Consumo de aço por bitola .....	54

## SUMÁRIO

<b>1 INTRODUÇÃO .....</b>	<b>11</b>
<b>1.1 OBJETIVOS .....</b>	<b>13</b>
<b>1.1.1 Geral .....</b>	<b>13</b>
<b>1.1.2 Específicos .....</b>	<b>13</b>
<b>2 FUNDAMENTAÇÃO TEÓRICA .....</b>	<b>14</b>
<b>2.1 HISTÓRICO DO CONCRETO ARMADO NO MUNDO .....</b>	<b>14</b>
<b>2.2 CONCRETO ARMADO.....</b>	<b>17</b>
<b>2.3 PRINCIPAIS ELEMENTOS ESTRUTURAIS EM CONCRETO ARMADO .....</b>	<b>19</b>
<b>2.3.1 Definição e dimensionamento de vigas .....</b>	<b>20</b>
<b>2.3.2 Definição e dimensionamento de lajes .....</b>	<b>22</b>
<b>2.3.2 Definição e dimensionamento de pilares .....</b>	<b>23</b>
<b>2.4 O USO DE SOFTWARES PARA PROJETOS ESTRUTURAIS.....</b>	<b>23</b>
<b>3 MÉTODOS.....</b>	<b>25</b>
<b>3.1 CARACTERIZAÇÃO DO PROJETO ARQUITETÔNICO.....</b>	<b>25</b>
<b>3.2 CONSIDERAÇÕES DO PROJETO ESTRUTURAL .....</b>	<b>28</b>
<b>4 RESULTADOS .....</b>	<b>29</b>
<b>4.1 CARREGAMENTOS.....</b>	<b>31</b>
<b>4.1.1 Carregamento devido às alvenarias.....</b>	<b>32</b>
<b>4.1.2 Carregamento da laje da caixa d'água .....</b>	<b>33</b>
<b>4.1.3 Carregamento do vento.....</b>	<b>33</b>
<b>4.2 LANÇAMENTO ESTRUTURAL .....</b>	<b>33</b>
<b>4.2.1 Pilares .....</b>	<b>34</b>
<b>4.2.2 Vigas.....</b>	<b>37</b>
<b>4.2.3 Lajes .....</b>	<b>40</b>
<b>4.2.4 Escadas .....</b>	<b>43</b>
<b>4.3 PROCESSAMENTO ESTRUTURAL .....</b>	<b>44</b>
<b>4.4 ANÁLISE E DETALHAMENTO DAS VIGAS .....</b>	<b>46</b>
<b>4.5 ANÁLISE E DETALHAMENTO DAS LAJES .....</b>	<b>48</b>
<b>4.6 ANÁLISE E DETALHAMENTO DOS PILARES .....</b>	<b>49</b>
<b>4.7 ANÁLISE E DETALHAMENTO DAS ESCADAS .....</b>	<b>51</b>
<b>4.8 CONSUMO DE MATERIAIS.....</b>	<b>52</b>

<b>5 CONSIDERAÇÕES FINAIS.....</b>	<b>55</b>
<b>REFERÊNCIAS .....</b>	<b>57</b>
<b>APÊNDICE A – DETALHAMENTO ESTRUTURAL .....</b>	<b>61</b>
<b>APÊNDICE B – MEMORIAL SIMPLIFICADO DESCRIPTIVO E DE CÁLCULO.....</b>	<b>81</b>

## 1 INTRODUÇÃO

Atualmente o mercado da construção civil apresenta grandes avanços técnicos e tecnológicos. A partir de pesquisas científicas que buscam acrescentar metodologias e técnicas construtivas é possível conciliar sustentabilidade, usabilidade, durabilidade e economia.

No ramo da engenharia estrutural, existem métodos construtivos já ratificados no mercado mundial, como o concreto armado (CA), estruturas metálicas e estruturas de madeira. No entanto, no Brasil, o concreto armado se destaca como a solução estrutural sendo a mais utilizada, assim como no cenário mundial (Pinheiro, Muzardo e Santos, 2004).

Como a alternativa estrutural em CA está bem consolidada, as técnicas de execução são difusas em todo o país. Além desse benefício, Carvalho e Filho (2023) relatam as vantagens do uso do CA: boa resistência às solicitações; boa trabalhabilidade; durabilidade; resulta em estruturas mais econômicas em diversas situações. Por outro lado, o concreto armado apresenta algumas desvantagens, os autores citam que: resulta em elementos com dimensões e peso maiores que o aço; faz-se necessário a utilização de fôrmas e a utilização de escoramentos.

A escolha de um sistema estrutural envolve a análise de uma série de variáveis como mão de obra, custo, disponibilidade de materiais, arquitetura da edificação, entre outros fatores importantes. Consequentemente, o responsável técnico designado ao processo de escolha de solução estrutural, deve evitar modismos e escolhas tendenciosas (Rabello, 2017).

Além disso, a definição do sistema estrutural é realizada por meio de um projeto estrutural compatível com a arquitetura proposta. O desenvolvimento do projeto possui como objetivo fornecer as disposições dos elementos estruturais, detalhamento de cada elemento projetado e as informações necessárias para a execução da obra (Martha, 2010).

O uso de *softwares* em projetos estruturais consiste na automatização dos procedimentos de cálculos manuais. Assim, os projetistas conseguem estudar os comportamentos das estruturas e obter uma noção da ordem de grandeza dos resultados obtidos. No entanto, é importante ressaltar que, mesmo os programas computacionais não substituem o conhecimento do engenheiro civil (Loriggio, 2016).

Em decorrência da alta demanda do mercado, o uso de soluções computacionais para a elaboração de projetos estruturais tornou-se indispensável. Não há mais espaço para que o sistema estrutural seja calculado inteiramente de forma manual, a depender da complexidade da demanda. Atualmente no mercado possuímos *softwares* específicos para a modelagem estrutural: CypeCad®, AltoQi Eberick® e TQS®.

Para o desenvolvimento da pesquisa, foi escolhido o TQS® como ferramenta de dimensionamento da estrutura, pois é um dos mais utilizados e presentes em escritórios de engenharia do Brasil, além de disponibilizar versão estudantil.

Para padronizar a elaboração de projetos estruturais e garantir a segurança técnica das obras, existem normas técnicas específicas para o dimensionamento e execução do sistema estrutural em concreto. Essas normas asseguram que o projeto possua desempenho, que seja exequível e durável. Como exemplos, podemos citar: Eurocode 2 – *Design of Concrete Structures*; ACI 318-14 – *Building Code Requirements for Structural Concrete*; ABNT NBR 6118:2023 – Projeto de Estruturas de Concreto – Procedimento, que estabelece parâmetros para o dimensionamento de projetos estruturais envolvendo o concreto simples, armado e protendido

Com base nas informações expostas, pretende-se com essa pesquisa desenvolver a análise e projeto estrutural de uma residência de padrão unifamiliar utilizando o sistema estrutural em concreto armado a partir do software TQS® e da NBR 6118:2023.

## 1.1 OBJETIVOS

### **1.1.1 Geral**

- Realizar um estudo de dimensionamento de uma estrutura em concreto armado de uma residência unifamiliar utilizando o programa comercial TQS®, seguindo a NBR 6118:2023.

### **1.1.2 Específicos**

- Aplicar os conhecimentos teóricos adquiridos nas disciplinas de projetos estruturais em concreto armado;
- Realizar o dimensionamento e detalhamento dos elementos estruturais do edifício utilizando o *software* TQS®;
- Elaborar a estimativa de materiais para execução da estrutura.

## **2 FUNDAMENTAÇÃO TEÓRICA**

### **2.1 HISTÓRICO DO CONCRETO ARMADO NO MUNDO**

O concreto convencional, empregado hoje em construções de diversas possibilidades de estruturas, é o resultado do aprimoramento do trabalho de diversas civilizações humanas. A partir das contribuições, foi possível aperfeiçoar materiais, teorias e técnicas.

Historicamente, a primeira concepção de concreto surge no Império Romano, cerca de 300 anos de cristo. O concreto da civilização romana era constituído por agregados (pedaços de pedras calcárias e mármores), cal, areia, pozolona e água. A pozolona é um material silicioso de origem vulcânica que era encontrada na época de forma abundante na região próxima ao vulcão Vesúvio (Bunder, 2016).

A Revolução Industrial teve um papel crucial no avanço da produção de ferro, e de aço em um estágio subsequente:

Há um momento na História em que o ferro passa a ser empregado com tão diversificados fins, dentre eles a construção de edifícios, que é inevitável o registro desse material como um fator essencial para as transformações de toda ordem por que passou a sociedade. Este momento é o século XIX (Gomes, 1986, p. 13).

Bastos (2006) retrata que a partir de indícios históricos acredita-se que o concreto armado (na época denominado de cimento armado) teve sua origem na França, no ano de 1849. O francês Joseph Louis Lambot foi o autor das primeiras experiências com o material. Lambot construiu um barco com argamassa e malha fina de ferro, representada na Figura 1. Apesar de funcional, as canoas não obtiveram sucesso comercial.

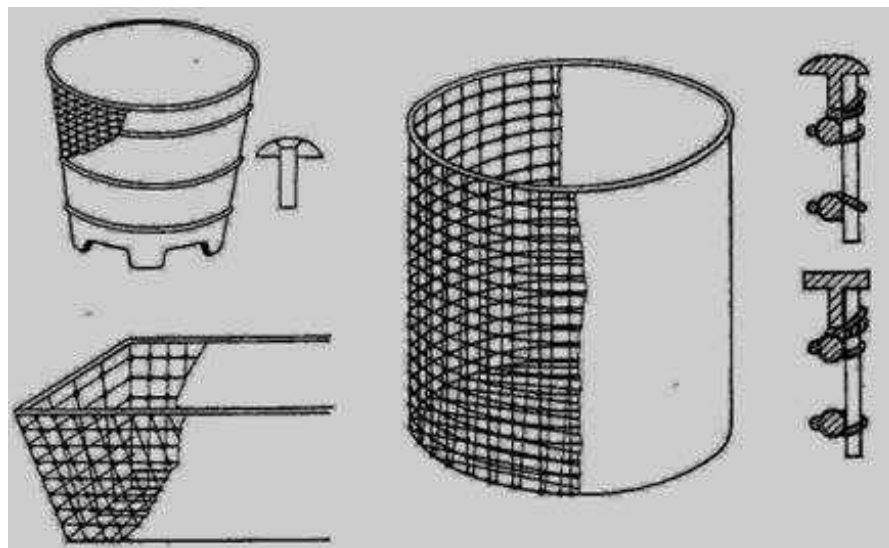
Figura 1 - Barco confeccionado a partir de argamassa e malha fina por Lambot



Fonte: Luis Fernando Kaefer, 1998.

Em 1861, Joseph Monier construiu vasos (Figura 2) destinados a plantas a partir da argamassa armada. Monier obteve em 1867, sua primeira patente para a execução de vasos feitos de cimento armado, solicitando outras no futuro para tubos e reservatórios (1868), placas (1869) e pontes no ano de 1873 (Pinheiro e Giongo, 1986).

Figura 2 – Vasos de flores de Joseph Monier.

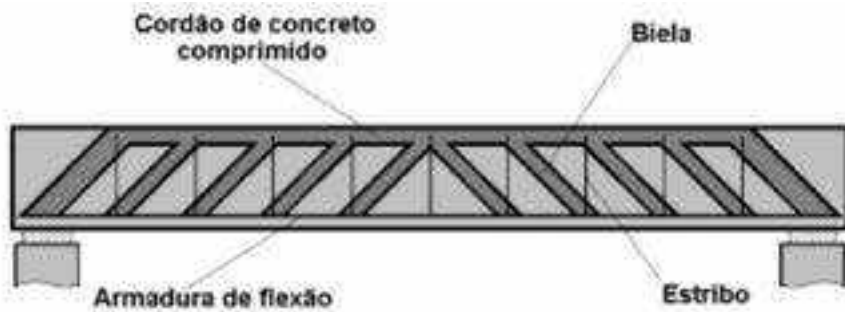


Fonte: Pedrosa e Teixeira, 2011.

Por meados de 1902, Morsch e Ritter desenvolveram, a partir da teoria do concreto armado de Koenen, a base científica sobre o dimensionamento de elementos em concreto armado. Morsch e Ritter propuseram a analogia entre uma viga de concreto e uma treliça (Figura 3) capaz de determinar a armadura de cisalhamento necessária para a diminuição das

fissuras apresentadas quando há um carregamento em uma viga de concreto armado (Carvalho e Filho, 2023).

Figura 3 - Treliça de Morsch e Ritter.



Fonte: Pinheiro, 2007.

A partir dos avanços teóricos e técnicos da utilização do concreto armado, tornou-se necessário a criação de instruções para os projetos, preparação e execução. No ano de 1904 são publicadas na Alemanha as primeiras orientações técnicas (Carvalho e Filho, 2023).

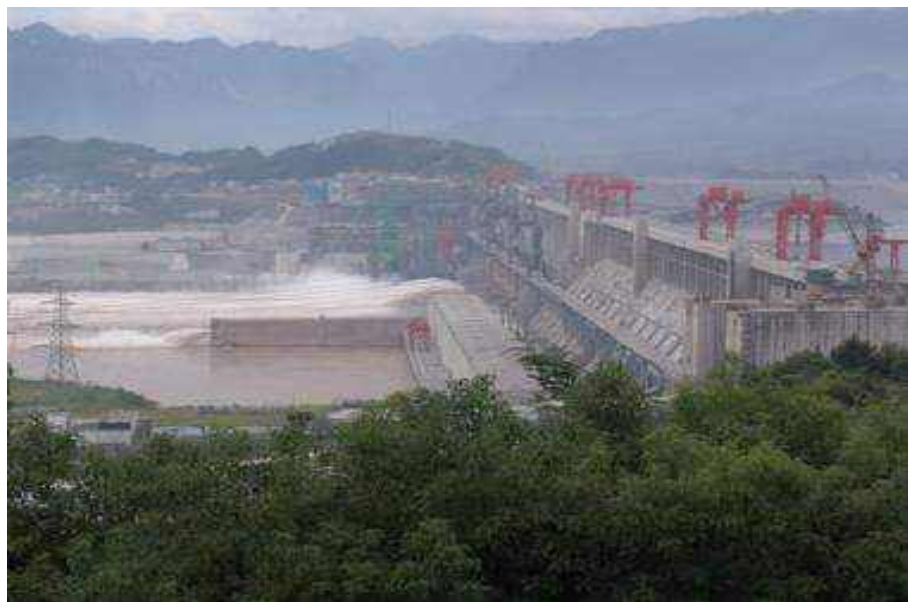
O concreto armado é amplamente utilizado no mundo devido à sua resistência e características. A versatilidade do concreto permite a construção de diversos tipos de estruturas, como: casas, prédios, reservatórios, pontes, entre outros. Exemplos da utilização do concreto armado no mundo incluem o Burj Khalifa em Dubai (Figura 4), o prédio mais alto do mundo e a hidrelétrica das Três Gargantas na China (Figura 5).

Figura 4 - Burj Khalifa: o edifício mais alto do mundo, Dubai.



Fonte: G1, 2021.

Figura 5 – Hidrelétrica das Três Gargantas, China.



Fonte: Pena, 2019.

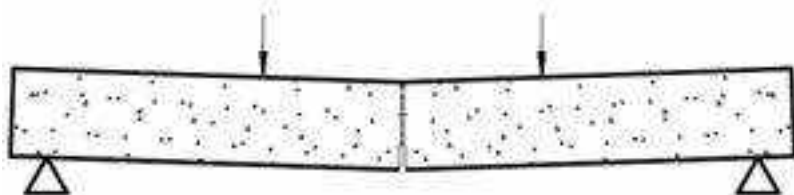
## 2.2 CONCRETO ARMADO

Conforme Giongo (2007), o concreto armado é um material altamente versátil que pode ser moldado diversas necessidades de formas e funções estruturais. Tal característica faz com que o concreto armado seja utilizado em diversos tipos de projetos arquitetônicos.

Os elementos estruturais em concreto armado devem resistir aos esforços de compressão pela taxa de concreto simples e resistir aos esforços de tração a partir da taxa de aço presente no elemento estrutural. De acordo com Carvalho e Filho (2023), as fibras provenientes da parcela de aço só trabalham a partir da deformação do concreto, ou seja, se não houver deformação no concreto, os esforços de tração que deveriam ser resistidos pelo aço, serão resistidos pelo concreto, porém o concreto não possui boa trabalhabilidade aos esforços de tração.

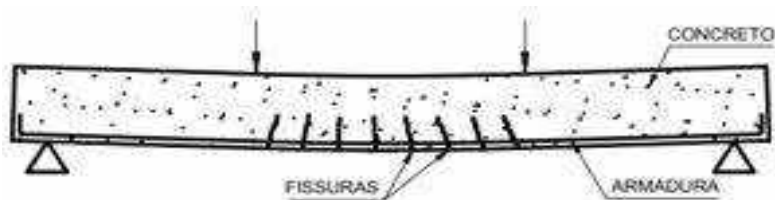
A importância da ação conjunta entre o concreto e a armadura é demonstrada na análise de uma viga de concreto simples (sem a utilização de aço), que se rompe bruscamente assim que surge a primeira fissura, após a tensão de tração atuante superar a resistência do concreto à tração. Todavia, ao ser adicionada o aço de forma adequada na região onde há tensões de tração, a resistência da viga aumenta (Bastos, 2006).

Figura 6 - Viga em concreto simples com tensões atuantes.



Fonte: Pfeil, 1989.

Figura 7 - Viga em concreto armado com tensões atuantes



Fonte: Pfeil, 1989.

A NBR 6118:2023 determina fatores de qualidade do concreto, estabelecendo uma relação entre o ambiente de exposição do concreto e a sua durabilidade. De acordo com o Quadro 1, o local da execução da estrutura gera diferentes níveis de risco de deterioração dos elementos estruturais.

Quadro 1 - Classes de agressividade ambiental

Classe de agressividade ambiental	Agressividade	Classificação geral do tipo de ambiente para efeito de projeto	Risco de deterioração da estrutura
I	Fraca	Rural	Insignificante
		Submersa	
II	Moderada	Urbana	Pequeno
III	Forte	Marinha	Grande
		Industrial	
IV	Muito forte	Industrial	Elevado
		Respingos de maré	

Fonte: Adaptado da NBR 6118:2023, 2024.

A norma também estabelece a relação entre a classe de agressividade ambiental e o cobrimento mínimo das armaduras a ser considerado nos cálculos e detalhamentos do projeto estrutural, conforme indicado no Quadro 2.

Quadro 2 – Correspondência entre a CAA e cobrimento nominal

Tipo de Estrutura	Componente ou elemento	Classe de agressividade ambiental			
		I	II	III	IV
		Cobrimento nominal (mm)			
Concreto armado	Laje	20	25	35	45
	Viga/pilar	25	30	40	50
	Elementos estruturais em contato com o solo	30		40	50

Fonte: Adaptado da NBR 6118:2023, 2024.

No Quadro 3, a NBR 6118:2023 determina com base na classe de agressividade ambiental (CAA), pode-se determinar a relação água/cimento máxima permitida e a classe de resistência do concreto correspondente.

Quadro 3 - Correspondência entre a classe de agressividade e a qualidade do concreto armado

Concreto	Tipo	Classe de agressividade			
		I	II	III	IV
Relação água/cimento em massa	CA	$\leq 0,65$	$\leq 0,60$	$\leq 0,55$	$\leq 0,50$
Classe de concreto (ABNT NBR 8953)	CA	$\geq C20$	$\geq C25$	$\geq C30$	$\geq C40$

Fonte: Adaptado da NBR 6118:2023, 2024.

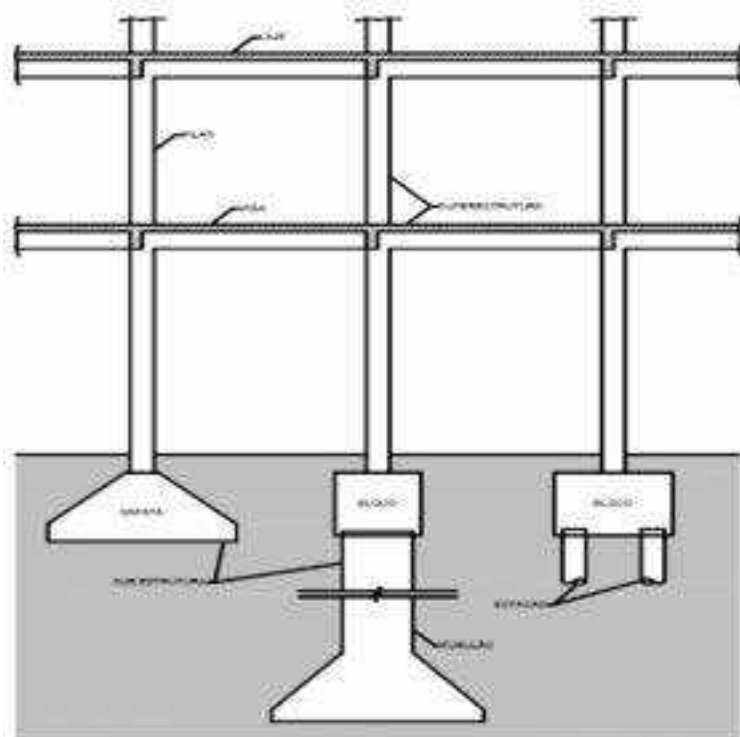
## 2.3 PRINCIPAIS ELEMENTOS ESTRUTURAIS EM CONCRETO ARMADO

Segundo Carvalho e Filho (2023), os elementos estruturais são componentes cujas uma ou duas dimensões são preponderantes sobre as demais, como vigas, lajes e pilares, formando assim uma estrutura. O posicionamento desses elementos é chamado de sistema estrutural. Porém alguns elementos são dependentes do posicionamento, não influenciando o material de que são feitos os elementos.

Uma estrutura é dividida em duas partes principais: a superestrutura e a subestrutura. A subestrutura, ou fundação, tem a função de transferir todas as cargas e esforços da edificação para o solo. A superestrutura, que é composta por pilares, vigas e lajes, forma a parte visível da construção e é responsável por encaminhar as forças que recebe para a subestrutura. A Figura

8 ajuda a visualizar essa divisão, destacando como cada parte contribui para o funcionamento geral da edificação (Bastos, 2016).

Figura 8 – Esquema explicativo da subestrutura e superestrutura.



Fonte: Bastos, 2016.

### **2.3.1 Definição e dimensionamento de vigas**

As vigas são elementos lineares em que a flexão predomina. São definidos por um comprimento longitudinal (NBR 6118, 2023). A viga em uma estrutura possui a função de suportar os esforços proveniente da laje. Contudo, em edificações com vários pavimentos, as vigas recebem a carga de todos os elementos situados acima dela. Assim, as vigas distribuem os carregamentos para os apoios, normalmente são os pilares, que transferem a carga para a fundação, a qual dissipa o carregamento no solo (Bastos, 2006). A Figura 9 ilustra a execução de vigas em concreto armado.

Figura 9 - Execução de vigas



Fonte: Autor, 2024.

A NBR 6118:2023 prever que a seção transversal das vigas deve apresentar largura mínima de 12 cm e, para vigas-paredes, o mínimo aceitável é 15 cm. Para casos excepcionais, os limites podem ser reduzidos respeitando o mínimo absoluto de 10 cm, desde que as seguintes condições sejam atendidas: espaço adequado para alojamento das armaduras e suas interferências com as armaduras dos demais elementos estruturais, respeitando ainda os espaçamentos e cobrimentos preconizados pela norma, lançamento, adensamento e vibração do concreto de acordo com a ABNT NBR 14931: 2004 (NBR 6118, 2023).

De acordo com Cunha (2014), podem ser adotados os seguintes valores para a largura de vigas ( $b_w$ ):

- $b_w = 12 \text{ cm}$  ( $\text{vão} \leq 4 \text{ m}$ );
- $b_w = 20 \text{ cm}$  ( $4 \text{ m} < \text{vão} \leq 8 \text{ m}$ );
- $b_w = 25 \text{ a } 30 \text{ cm}$  ( $\text{vão} > 8 \text{ m}$ ).

Existem métodos que levam em consideração a posição da viga no lançamento estrutural. O “Método do Vão Ponderado” desenvolvido por Cunha (2014) considera a posição da viga, bem como se ela serve de apoio a outras vigas, propondo a altura da viga ( $h$ ) baseada pelo seu vão ( $L$ ). A Tabela 1 demonstra o método descrito.

Tabela 1 – Método do Vão Ponderado

Caso	Posição da viga	Dá apoio a outra(s) vigas (s)?	Fórmula
1	Central	Sim	$h = 14\% L$
2	Central	Não	$h = 10\% L$
3	Periférica	Sim	$h = 10\% L$
4	Periférica	Não	$h = 9\% L$

Fonte: Cunha, 2014.

De acordo com Botelho e Marchetti (2015), o pré-dimensionamento da altura de vigas pode seguir as seguintes proporções:  $L/10$  para vigas bi apoiadas,  $L/12$  para vigas contínuas e  $L/5$  para vigas em balanço. No entanto, valores superiores a esses podem resultar em elementos “superdimensionados”, o que encarece o projeto e aumenta o risco de rompimento do concreto, sem aviso prévio, embora ainda haja margem de segurança em relação aos esforços suportados pelo aço.

### 2.3.2 Definição e dimensionamento de lajes

Segundo Bastos (2023), as lajes são consideradas elementos planos e bidimensionais, caracterizados por terem duas dimensões, como largura e o comprimento, com mesma ordem de grandeza e superiores à terceira dimensão, que é a espessura. Sua principal função é suportar o carregamento aplicado em uma edificação, que inclui pessoas, móveis, máquinas, equipamentos, paredes, veículos e outros tipos de carga, variando com a proposta da arquitetura.

As lajes podem ser classificadas em diversos tipos, de acordo com a forma de apoio e a maneira como são projetadas. Entre as alternativas, destaca-se as lajes maciças, nervuradas, protendida, cada uma com características próprias. A escolha do tipo adequado de laje é essencial para garantir a eficiência e segurança estrutural da edificação (Cunha, 2014).

Conforme o item 13.2.4.1 da ABNT NBR 6118, é necessário respeitar a espessura mínima de lajes maciças, as quais variam de acordo com o tipo de aplicação. Para coberturas sem balanço, a espessura mínima recomendada é de 7 cm, enquanto para lajes de piso não em balanço, o valor mínimo é de 8 cm. Lajes em balanço, devem possuir, no mínimo, a espessura de 10 cm, o mesmo exigido para lajes que suportem veículos com peso total igual ou inferior a 30 kN. Para veículo com peso superior a 30 kN, a espessura mínima recomendada é de 12 cm.

Araújo (2010), destaca que as lajes nervuradas são comumente empregadas para vencer vãos superiores a 8 metros. Nas suas nervuras são posicionadas armaduras longitudinais de tração, eliminando a parte do concreto da região tracionada, o que reduz o peso próprio da estrutura. Entre as nervuras são adicionados materiais inertes de baixo peso específico, que possuem a função de nivelar a parte inferior da laje, sem função estrutural.

### **2.3.2 Definição e dimensionamento de pilares**

Conforme a ABNT NBR 6118:2023, item 14.4.1.2, os pilares são definidos como elementos lineares de eixo reto, geralmente posicionados na vertical, nos quais predominam forças axiais de compressão. Além de sua função principal de transmitir os carregamentos da estrutura para a fundação, os pilares também estão sujeitos a esforços de flexão, originados de ações como o vento, entre outras.

De acordo com Alva (2007), os pilares geralmente são os primeiros elementos a serem posicionados em um projeto estrutural. Através do desenho de locação dos pilares, em conjunto com as sondagens do terreno, é possível definir o tipo de fundação mais adequado para a edificação.

Segundo Bastos (2006), o termo "pilar" é definido como uma "coluna sem ornamentos que constitui elemento vertical da estrutura de uma construção". De acordo com a NBR 6118, no item 13.2.3, os pilares, independentemente de sua forma, devem ter uma dimensão mínima de 19 cm. Em situações especiais, é permitida a utilização de pilares com dimensões entre 14 e 19 cm, desde que atendam às exigências estabelecidas pela norma.

## **2.4 O USO DE SOFTWARES PARA PROJETOS ESTRUTURAIS**

O desenvolvimento das soluções tecnológicas avança em ritmo acelerado, impactando diretamente nossas vidas. Além dos avanços, novas abordagens estão transformando a forma como os engenheiros estruturais analisam e projetam. Atualmente, uma das principais ferramentas são os *softwares* de análise e projeto estrutural, que são mais modernos e teoricamente mais precisos em comparação com os antigos métodos manuais (Werneck, Souza Lima, 2023).

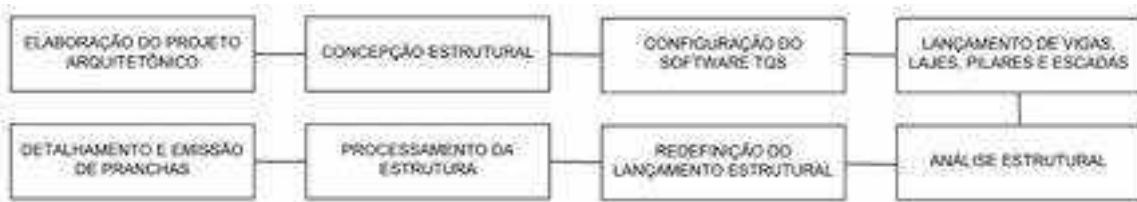
De acordo com Kimura (2007), os primeiros *softwares* voltados para o cálculo de estruturas de concreto realizavam de forma automatizada análises estruturais simples. Atualmente, o uso de computadores impacta significativamente todas as fases de um projeto estrutural, desde sua concepção até a geração das plantas.

A TQS Informática Ltda., fundada em 1986, é uma empresa que desenvolve sistemas computacionais gráficos para engenharia estrutural. Seu primeiro programa, CAD/Vigas, auxiliava no dimensionamento e detalhamento de vigas, seguido pelo CAD/Lajes, voltado para o detalhamento de armaduras de lajes. Nos anos 90, lançou o CAD/Pilar, para cálculo, dimensionamento e detalhamento de seções genéricas de pilares. O principal sistema da empresa, o CAD/TQS, é destinado à elaboração de projetos de estruturas de concreto armado, protendido e alvenaria estrutural, abrangendo todas as etapas do projeto, desde a concepção até a emissão das plantas finais, sempre em conformidade com as normas técnicas, como a NBR 6118:2023, e os métodos usuais adotados no Brasil (Miranda e Silva, 2022).

### 3 MÉTODOS

Para desenvolver a solução estrutural em CA, foi necessário considerar a arquitetura e o local da obra. Trata-se de uma residência unifamiliar projetada em dois pavimentos (térreo e segundo pavimento) localizada na cidade de Malta/PB. O projeto arquitetônico foi criado no *software* AutoCAD 2025. O projeto foi desenvolvido com base no fluxograma apresentado na Figura 10.

Figura 10 - Fluxograma do projeto estrutural da residência



Fonte: Adaptado de Nascimento, 2024.

#### 3.1 CARACTERIZAÇÃO DO PROJETO ARQUITETÔNICO

Foi realizado para esse trabalho um projeto de edifício residencial unifamiliar, situado no centro da cidade de Malta, Paraíba. A edificação é composta por pavimento térreo, pavimento superior e reservatório superior, contabilizando área total de 235,425m<sup>2</sup> e altura de 9 metros, representado na Tabela 2.

Tabela 2 - Informações sobre os pavimentos

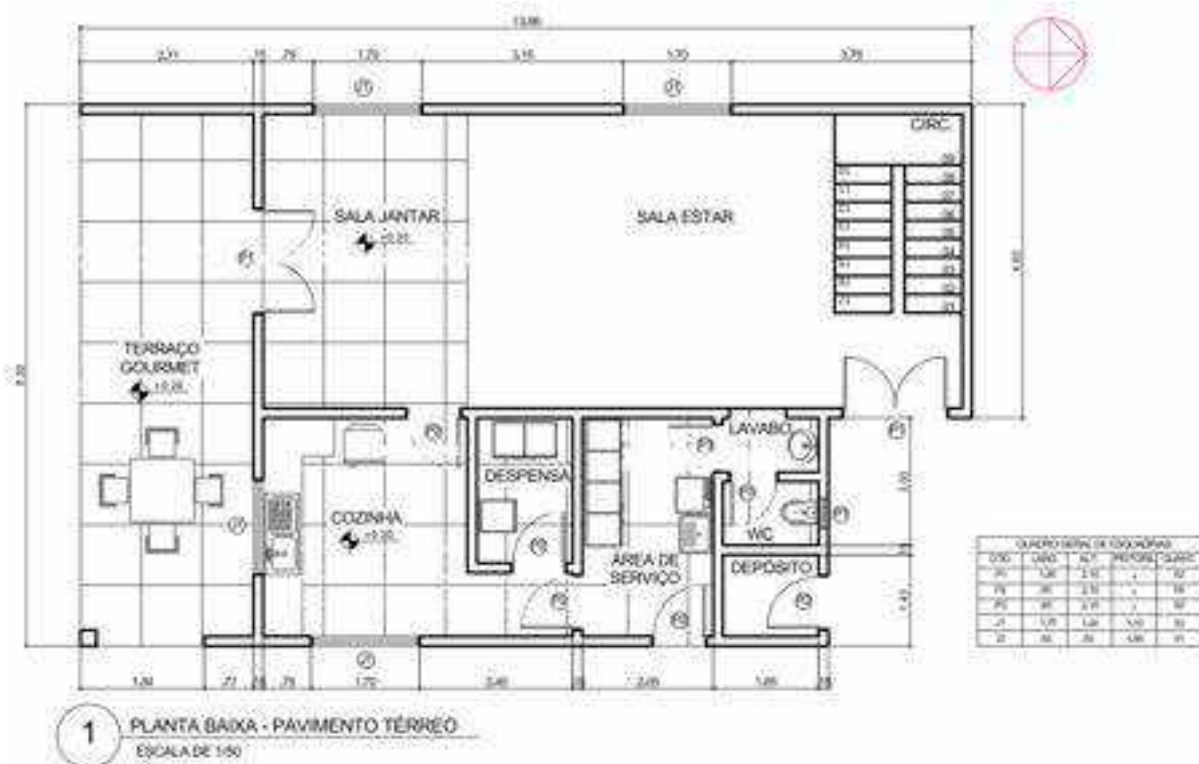
Pavimento	Pé direito (m)	Área (m <sup>2</sup> )
Térreo	3	110,605
Superior	3	110,605
Reservatório	3	14,215
<b>TOTAL</b>	<b>9</b>	<b>235,425</b>

Fonte: Autor, 2024.

O pavimento térreo conta com os seguintes cômodos: terraço gourmet, cozinha, dispensa, área de serviço, hall de entrada, lavabo, sala de estar, sala de jantar, depósito, garagem

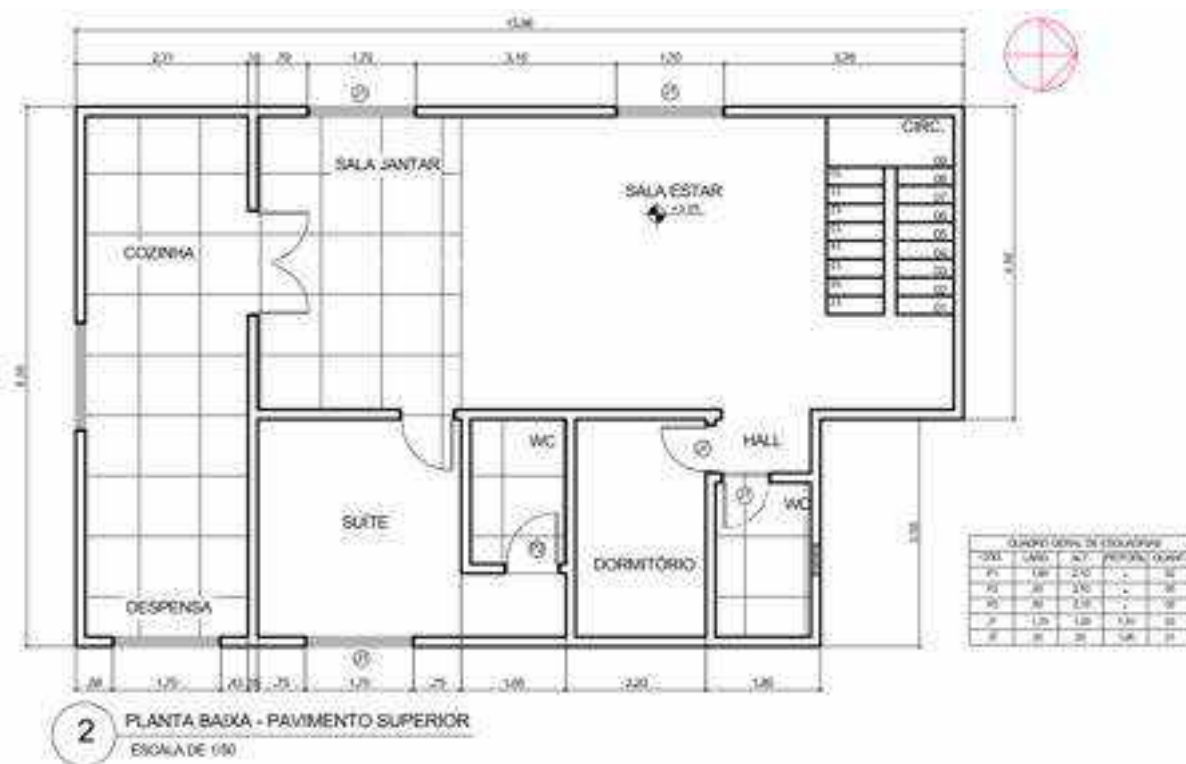
e escada de acesso ao pavimento superior. Já o pavimento superior conta com cozinha, despensa, dormitório, hall, sala de jantar, suíte, WC, sala de estar e escada de acesso ao pavimento térreo. A cobertura da edificação e o reservatório de água será de laje lisa impermeabilizada. Demais considerações arquitetônicas estão no Figura 11, 12 e 13.

Figura 11 - Arquitetura do pavimento térreo



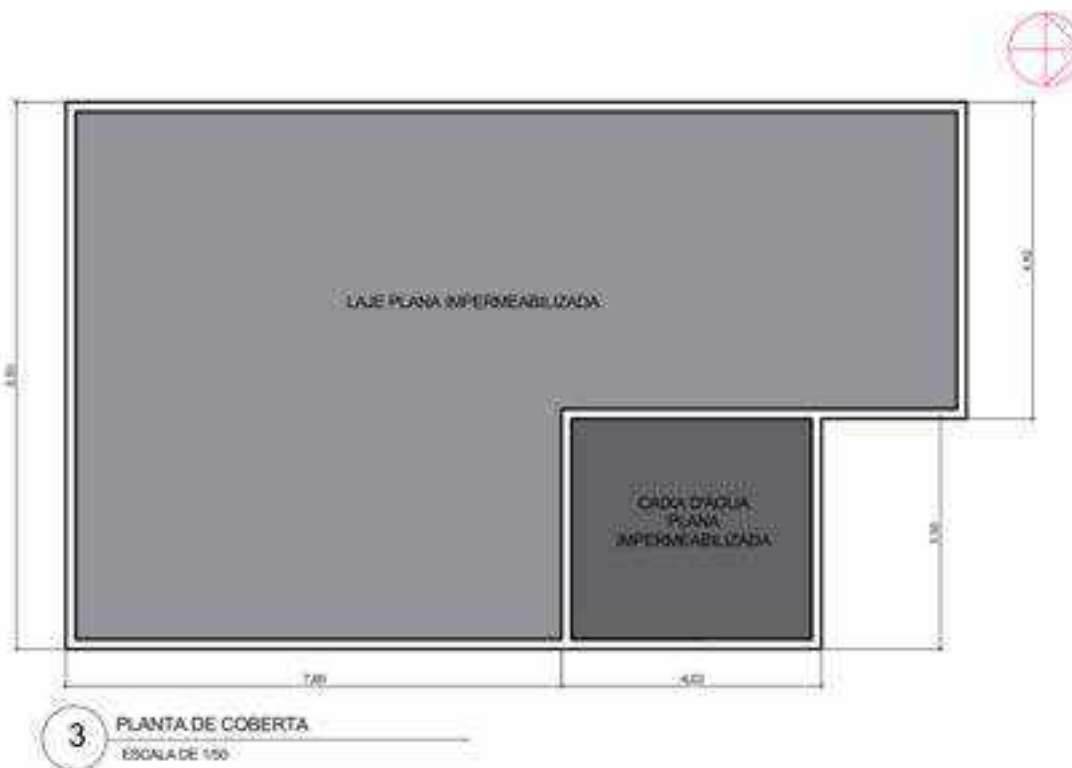
Fonte: Autor, 2024.

Figura 12 - Arquitetura do pavimento superior



Fonte: Autor, 2024.

Figura 13 - Arquitetura da coberta



Fonte: Autor, 2024.

Tendo em posse o projeto arquitetônico, tomando como base os conhecimentos e requisitos descritos no referencial teórico, foi elaborado o projeto estrutural em concreto armado. Definiu-se para a elaboração dos projetos estruturais o dimensionamento dos elementos: laje, vigas, escadas e pilares. Para obter os cálculos finais da solução estrutural, foi necessário a utilização do *software* de dimensionamento e detalhamento de estruturas TQS 24.6 – Estudante. Com a obtenção dos projetos, juntamente com os quantitativos de aço e fôrmas, foram geradas as pranchas de detalhamento dos elementos presentes na estrutura.

### 3.2 CONSIDERAÇÕES DO PROJETO ESTRUTURAL

Como o projeto trata-se de um estudo de caso hipotético, é necessário incluir considerações e delimitações referentes ao local da execução, materiais e carregamentos da estrutura:

- a) Não será abordado o estudo sobre as fundações do projeto, pois não é possível dimensionar o elemento sem as características geotécnicas do solo;
- b) As fundações serão consideradas como engaste perfeito, evitando assim a interação solo-estrutura;
- c) Efeitos da temperatura, dinâmicos e oscilatórios não estão inclusos;
- d) As cargas específicas dos materiais serão definidos pela NBR 6120:2019;
- e) Paredes de vedação são constituídas por blocos cerâmicos vazados de 14 cm.
- f) Caixa d'água da cobertura possui capacidade de 3.000 litros.

## 4 RESULTADOS

Para iniciar a modelagem estrutural, foram inseridos os dados sobre a identificação da residência, selecionando o tipo de estrutura como Concreto Armado e a norma de referência (NBR 6118:2023), conforme ilustrado na Figura 14.

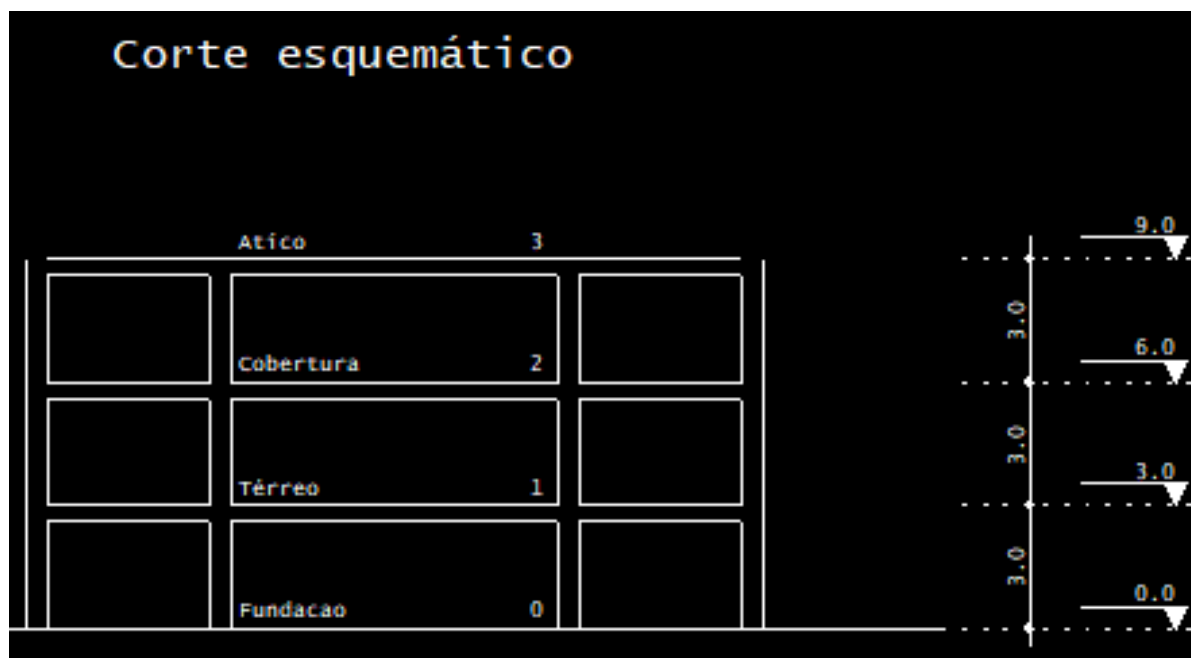
Figura 14 - Dados gerais de identificação do edifício



Fonte: Autor, 2024.

Após identificação, foram definidas as alturas dos pavimentos entre o nível do terreno e a laje dos pavimentos térreo, superior e o reservatório da caixa d'água (átilo), conforme Figura 15.

Figura 15 - Altura dos pavimentos da edificação



Fonte: Autor, 2024.

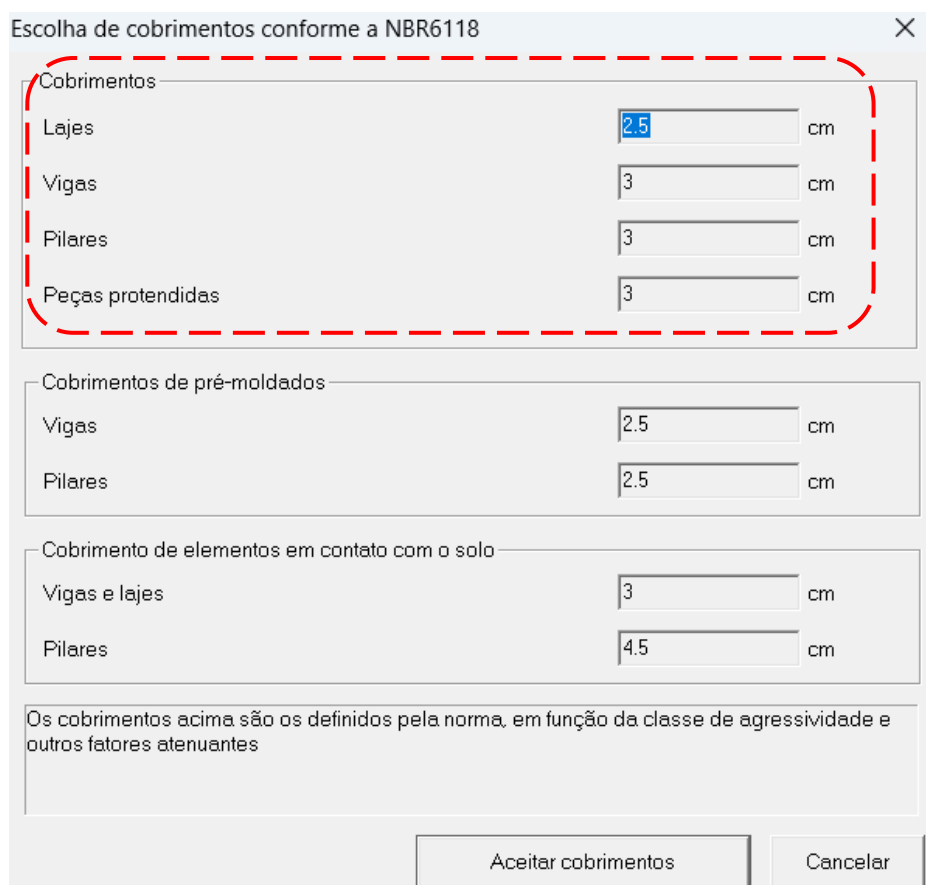
Foi definida, segundo NBR 6118:2023, a classe de agressividade ambiental II, por ser uma edificação situada em área urbana com pequeno risco de deterioração das armaduras, assim definindo a resistência característica do concreto de 25 MPa nos elementos estruturais (Figura 16).

Figura 16 - Definição do concreto usado

Fonte: Autor, 2024.

Conforme a NBR 6118:2023, os elementos estruturais possuem cobrimentos nominais específico das armaduras, definidos a partir da classe de agressividade ambiente do local onde o projeto será executado. Para a execução da residência de estudo, os cobrimentos dos elementos estruturais vigas, lajes e pilares estão definidos no TQS, de acordo com a Figura 17.

Figura 17 - Cobrimento nominal dos elementos estruturais



Fonte: Autor, 2024.

#### 4.1 CARREGAMENTOS

Nessa seção serão descritos os carregamentos aplicados à modelagem estrutural no software TQS, consoante as diretrizes estabelecidas pela NBR 6120:2019 – Cargas para o cálculo de estruturas de edificações, exceto a carga do peso próprio dos elementos, que é considerada automaticamente pelo TQS, definindo o peso específico para o concreto armado de 25 kN/m<sup>3</sup>.

#### 4.1.1 Carregamento devido às alvenarias

A carga da alvenaria foi distribuída diretamente sobre as vigas de cada pavimento, respeitando a arquitetura definida. Para as paredes localizadas sobre a cinta inferior, considerou-se a diferença de altura entre o pé direito (3,00 metros) e a altura de cada viga. Para o projeto, foi escolhido o bloco cerâmico vazado com paredes maciças de 14 cm sem revestimento, com peso específico de 2,0 kN/m<sup>2</sup>, ilustrado na NBR 6120:2019 (Figura 17).

Figura 18 - Pesos das alvenarias definidos pela NBR 6120

Alvenaria	Espessura nominal do elemento, cm	Peso - Espessura de revestimento por face, kg/cm <sup>2</sup>		
		0 cm	1 cm	2 cm
<b>ALVENARIA ESTRUTURAL</b>				
Bloco de concreto vazado (Classes A e B - ABNT NBR 6136)	14	2,0	2,3	2,7
	19	2,7	3,0	3,4
Bloco cerâmico vazado com paredes maciças (Furo vertical - ABNT NBR 15270-1)	14	2,0	2,3	2,7
	9	1,1	1,5	1,9
Bloco cerâmico vazado com paredes vazadas (Furo vertical - ABNT NBR 15270-1)	11,5	1,4	1,8	2,2
	14	1,7	2,1	2,5
	19	2,3	2,7	3,1
Tijolo cerâmico maciço (ABNT NBR 15270-1)	9	1,6	2,0	2,4
	11,5	2,1	2,5	2,9
	14	2,5	2,9	3,3
	19	3,4	3,8	4,2
Bloco sílico-calcário vazado (Classe E - ABNT NBR 14974-1)	9	1,1	1,5	1,9
	14	1,5	1,9	2,3
	19	1,9	2,3	2,7
Bloco sílico-calcário perfurado (Classes E, F e G - ABNT NBR 14974-1)	11,5	1,9	2,3	2,7
	14	2,1	2,5	2,9
	17,5	2,8	3,2	3,6
<b>ALVENARIA DE VEDAÇÃO</b>				
Bloco de concreto vazado (Classe C - ABNT NBR 6136)	6,5	1,0	1,4	1,8
	9	1,1	1,5	1,9
	11,5	1,3	1,7	2,1
	14	1,4	1,8	2,2
	19	1,8	2,2	2,6
Bloco cerâmico vazado (Furo horizontal - ABNT NBR 15270-1)	9	0,7	1,1	1,6
	11,5	0,9	1,3	1,7
	14	1,1	1,5	1,9
	19	1,4	1,8	2,2
Bloco de concreto celular autoclavado (Classe C25 - ABNT NBR 13438)	7,5	0,5	0,9	1,3
	10	0,6	1,0	1,4
	12,5	0,8	1,2	1,6
	15	0,9	1,3	1,7
	17,5	1,1	1,6	2,0
Bloco de vidro (decorativo, sem resistência ao fogo)	8	0,8	-	-

Fonte: ABNT NBR 6120, 2019.

#### **4.1.2 Carregamento da laje da caixa d'água**

Para a laje onde estará localizada a base do reservatório, considerou-se o peso da caixa d'água de 3.000L, escolhida a partir da necessidade de reserva de água, a impermeabilização da laje com manta asfáltica simples de 0,5 cm de espessura, conforme NBR 6120:2019, possui peso de 0,11 kN/m<sup>2</sup>. Isso resulta em uma carga permanente distribuída de 0,3 tf/m<sup>2</sup> sobre a área da laje. Também foi incluída uma carga accidental específica para acesso à manutenção de 0,1 tf/m<sup>2</sup>.

#### **4.1.3 Carregamento do vento**

Além disso, para fins de dimensionamento com atuação do vento na estrutura foi necessário classificar a edificação conforme a NBR 6123:2024, o terreno foi considerado plano ou fracamente acidentado ( $S_1 = 1,0$ ), aberto com poucos obstáculos, muros, árvores, edificações baixas, fazendas, subúrbio com casas baixa (categoria de rugosidade II), maior dimensão horizontal ou vertical < 20 m (classe da edificação A) e a edificação é do tipo residência (fator estatístico -  $S_3 = 1,10$ ).

### **4.2 LANÇAMENTO ESTRUTURAL**

Neste item, serão descritos os procedimentos utilizados no dimensionamento do sistema estrutural em concreto armado da residência unifamiliar. A partir da área transversal do concreto, será calculada a área de aço necessária para garantir usabilidade e segurança da estrutura, como também garantir o perfeito estado para a utilização (Carvalho e Filho, 2023). Os dados necessários para inserção do edifício no *software* estão apresentados no Quadro 4.

Quadro 4 – Informações inseridas na criação da modelagem

Aba alterada	Informação inserida
Modelo	Modelo IV
Pavimento	Conforme projeto arquitetônico
Materiais	Classe de concreto C25; Classe de agressividade ambiental: II – Moderada
Cobrimentos	Valores da norma
Critérios	Padrão
Gerenciamento	Padrão

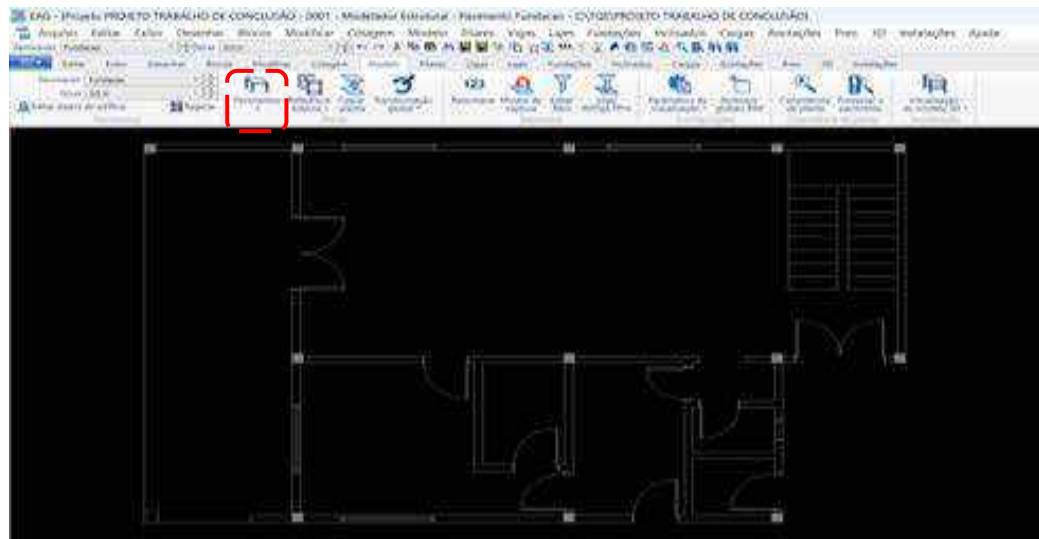
Fonte: Autor, 2024.

Por ser uma versão estudantil, o TQS possui limitações em escolhas de parâmetros, a exemplo disso vemos que o Modelo IV já é definido como padrão. Essa escolha de modelo influência no processo de consideração dos efeitos causados na estrutura. No Modelo IV, o edifício será modelado por um pórtico espacial mais os modelos dos pavimentos (viga contínuas ou grelhas). O pórtico é composto apenas por barras que simulam as vigas e pilares de estrutura, com o efeito de diafragma rígido das lajes devidamente incorporado. Os esforços resultantes das ações verticais e horizontais são calculados por meio de um único modelo de pórtico espacial (ELU) e utilizados no dimensionamento de vigas e pilares. Há a possibilidade de aplicar um tratamento específico para vigas de transição e tirantes. Além disso, ocorre a transferência automática das reações das barras da laje, obtidas na modelagem por grelha, para as vigas do pórtico espacial como carregamento. A análise dos modelos revelou uma tendência de aumento na taxa média de armadura das lajes e redução na taxa média dos pilares ao se utilizar o Modelo VI em comparação com o Modelo IV. No entanto, o consumo total de aço em cada edifício foi maior com a adoção do Modelo VI, sugerindo um incremento no uso de armaduras. O volume de concreto para lajes, vigas e pilares permaneceu inalterado, independentemente da escolha entre o Modelo IV e o Modelo VI (Kristiner, 2019).

#### 4.2.1 Pilares

Para inserirmos os pilares na modelagem, foi necessário acrescentar o modelo da arquitetura de cada pavimento no programa TQS, essa etapa é realizada pela aba Modelo – Referência Externa. Tal processo é ilustrado na Figura 19.

Figura 19 - Inserindo arquiteturas no TQS



Fonte: Autor, 2024.

Em seguida, foi possível gerar os dados da seção do pilar. A NBR 6118 recomenda uma seção mínima de 360 cm<sup>2</sup>, portanto, como pré-dimensionamento, todos os pilares serão considerados retangulares com dimensões 20 cm x 20 cm, atendendo recomendação normativa. Tais informações são adicionadas na aba Pilares – Dados atuais, representado na Figura 20.

Figura 20 - Inserindo informações dos pilares

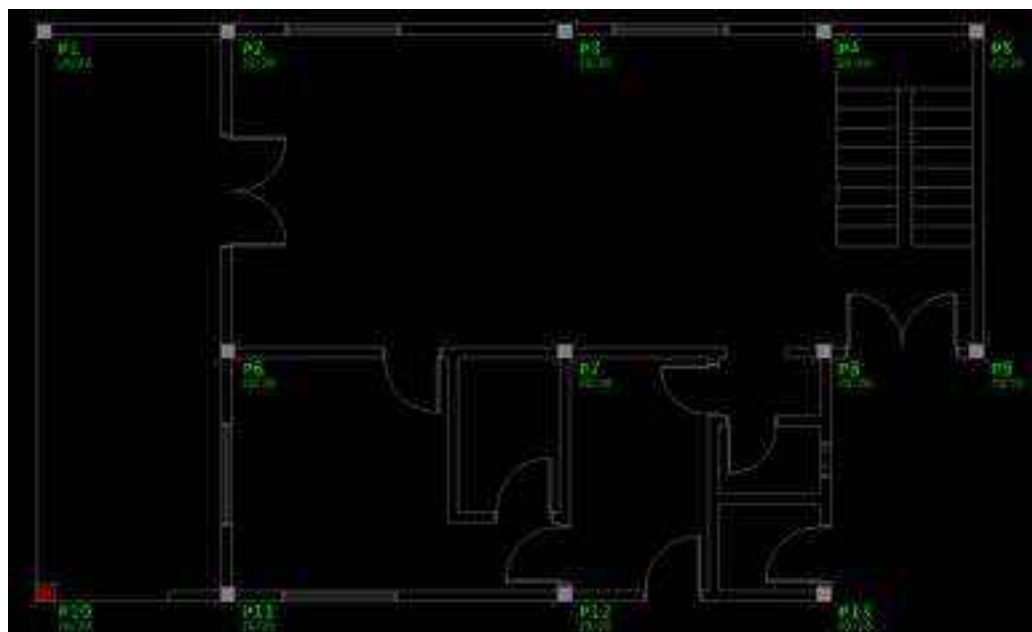


Fonte: Autor, 2024.

Por fim, foi realizado o posicionamento dos pilares, seguindo recomendações da concepção estrutural de espaçamento entre 3 e 5 metros de distância entre eles. Todos os pilares nascem do nível do solo e morrem no pavimento da cobertura, exceto aqueles que estarão

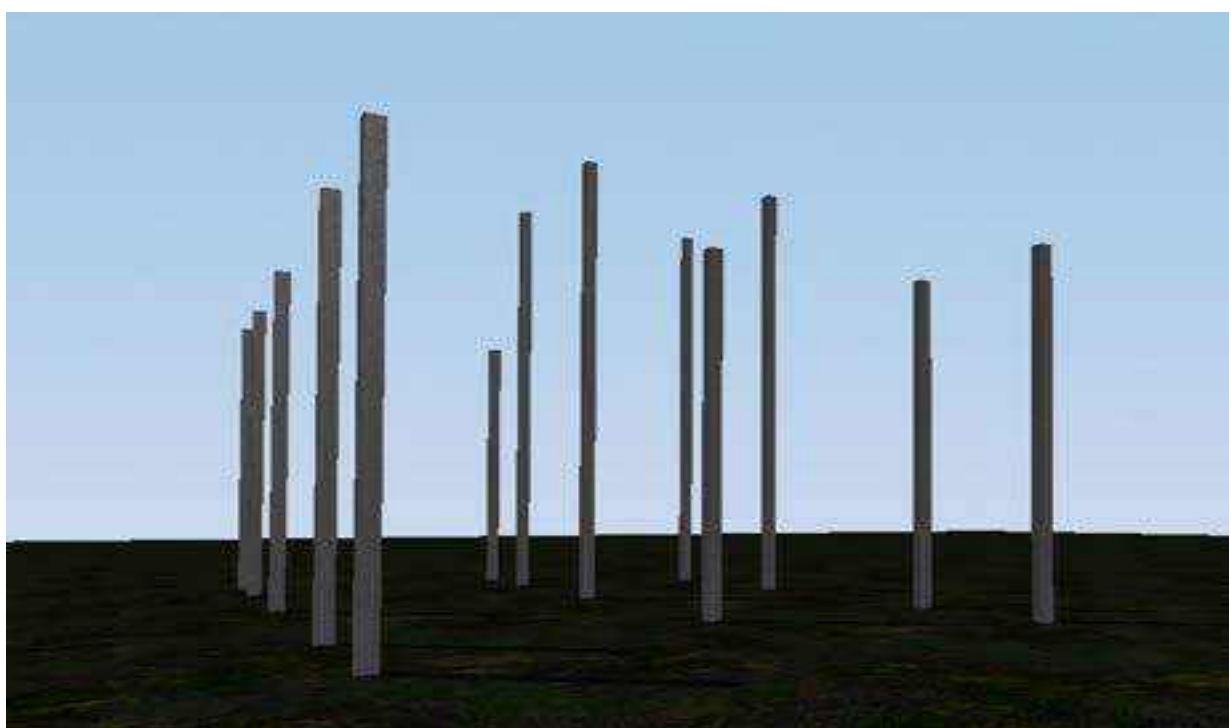
presentes no nível do reservatório. A Figura 21 representa o posicionamento dos pilares e a Figura 22 ilustra o andamento em 3D da modelagem nesta etapa.

Figura 21 - Posicionamento dos pilares



Fonte: Autor, 2024.

Figura 22 - Visualização 3D dos pilares



Fonte: Autor, 2024.

#### 4.2.2 Vigas

Para a realização do pré-dimensionamento do elemento viga nos pavimentos, foi considerado, de acordo com a concepção estrutural, que as seções transversais seriam definidas pela relação L/10 ou L/12 e a base seria a mesma dos pilares, porém na edificação há uma viga com vão de 8,30 metros, onde necessitaria de uma seção maior. O Quadro 5, 6 e 7 apresentam as alturas das vigas no lançamento da estrutura.

Quadro 5 – Determinação da altura da viga do térreo

Viga	Trecho	Tipo de viga	Vão teórico (cm)	L/12	L/10	h (adotado)
V201	A	Contínua	271	23	27	40
	B	Contínua	497,5	41	50	40
	C	Contínua	382,5	32	38	40
	D	Contínua	225	19	23	40
V202	A	Contínua	497,5	41	50	40
	B	Contínua	382,5	32	38	40
	C	Contínua	225	19	23	40
V203	A	Contínua	271	23	27	40
	B	Contínua	497,5	41	50	40
	C	Contínua	382,5	32	38	40
V204	A	Bi apoiada	830	69	83	80
V205	A	Contínua	358	30	36	40
	B	Contínua	472	39	47	40
V206	A	Contínua	358	30	36	40
	B	Contínua	472	39	47	40
V207	A	Contínua	358	30	36	40
	B	Contínua	472	39	47	40
V208	A	Bi apoiada	472	39	47	40

Fonte: Autor, 2024.

Quadro 6 - Determinação da altura das vigas do pavimento superior

Viga	Trecho	Tipo de viga	Vão teórico (cm)	L/12	L/10	h (adotado)
V301	A	Contínua	271	23	27	40
	B	Contínua	497,5	41	50	40
	C	Contínua	382,5	32	38	40
	D	Contínua	225	19	23	40
V302	A	Contínua	497,5	41	50	40
	B	Contínua	382,5	32	38	40
	C	Contínua	225	19	23	40
V303	A	Contínua	271	23	27	40
	B	Contínua	497,5	41	50	40
	C	Contínua	382,5	32	38	40
V304	A	Bi apoiada	830	69	83	80
V305	A	Contínua	358	30	36	40
	B	Contínua	472	39	47	40
V306	A	Contínua	358	30	36	40
	B	Contínua	472	39	47	40
V307	A	Contínua	358	30	36	40
	B	Contínua	472	39	47	40
V308	A	Bi apoiada	472	39	47	40

Fonte: Autor, 2024.

Quadro 7 - Determinação da altura das vigas do reservatório

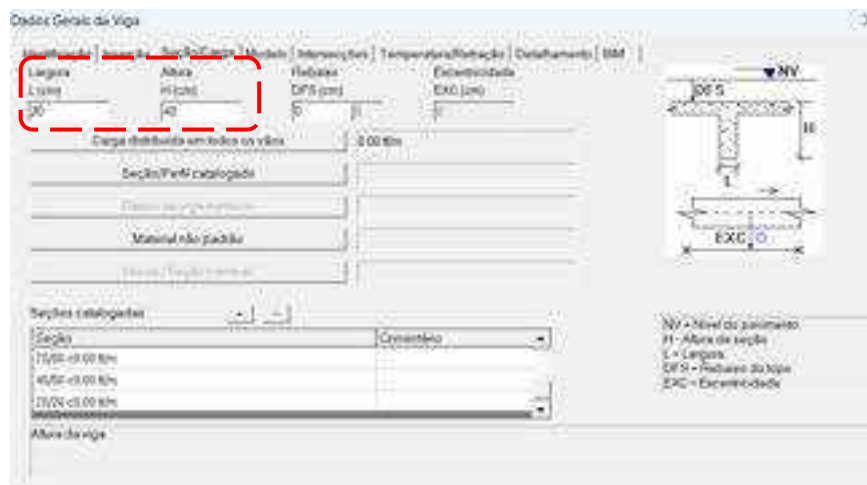
Viga	Trecho	Tipo de viga	Vão teórico (cm)	L/12	L/10	h (adotado)
V401	A	Bi apoiada	382,5	32	38	40
V402	A	Bi apoiada	382,5	32	38	40
V403	A	Bi apoiada	358	30	36	40
V404	A	Bi apoiada	358	30	36	40

Fonte: Autor, 2024.

A partir dessa determinação, podemos iniciar a modelagem das vigas no *software*. Em resumo, todas as vigas no pavimento do reservatório possuem seção transversal de 20 cm x 40 cm, as vigas do pavimento superior e térreo possuem variações nas seções de 20 cm x 40 cm, 20 cm x 40 cm e 20 cm x 80 cm.

Para inserirmos tais informações no TQS, é preciso selecionar o nível do pavimento e selecionar a aba Vigas – Dados Atuais, como mostra a Figura 23.

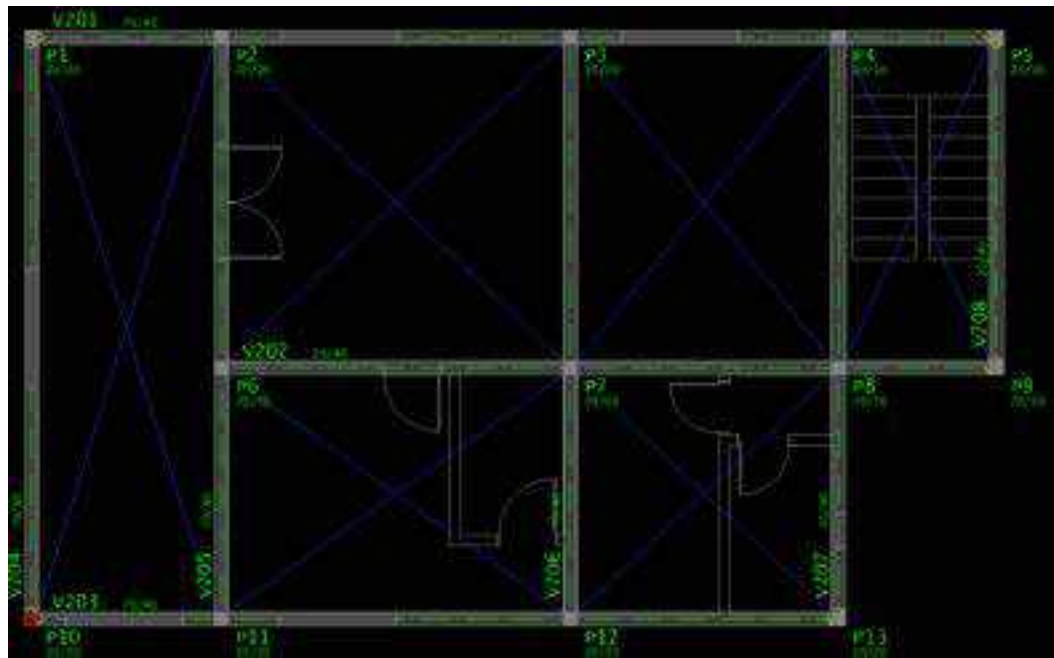
Figura 23 - Inserindo informações das vigas



Fonte: Autor, 2024.

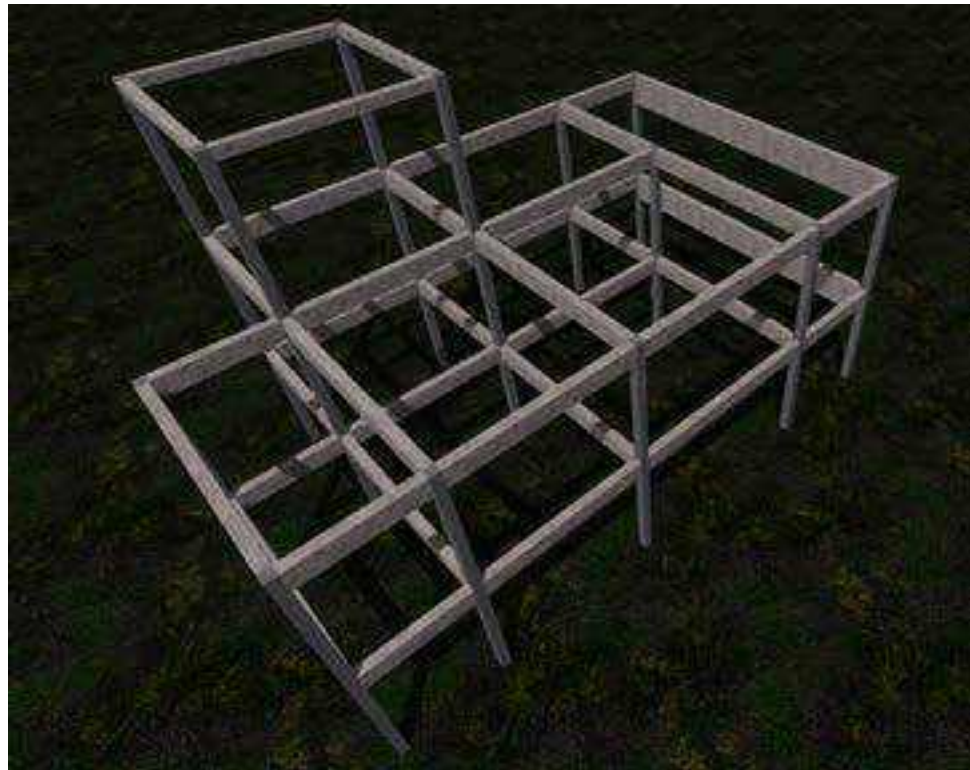
Por fim, é realizado o posicionamento das vigas, seguindo recomendações da concepção estrutural de altura aproximadamente 10% do vão entre pilares. A Figura 24 representa o posicionamento das vigas e a Figura 25 ilustra o andamento em 3D da modelagem até esta etapa.

Figura 24 - Posicionamento das vigas



Fonte: Autor, 2024.

Figura 25 - Visualização 3D das vigas



Fonte: Autor, 2024.

#### **4.2.3 Lajes**

Para realizar a inserção das lajes no edifício, é preciso definir qual o tipo de laje a ser executada e a sua espessura. Por se tratar de um edifício com poucos pavimentos, o pré-dimensionamento será feito levando em consideração a execução de lajes do tipo maciça com espessura igual a todas, 12 cm. Os carregamentos inseridos nas lajes são especificados no Quadro 8. Foi utilizado como parâmetro normativo a NBR 6120: Ações para o cálculo de estruturas de edificações.

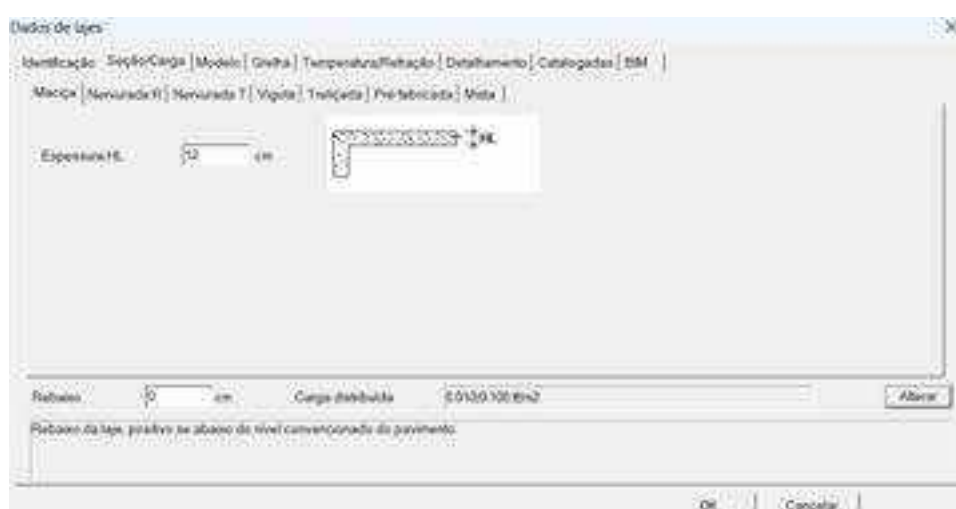
Quadro 8 – Cargas nas lajes do edifício

Laje	Tipo de laje	Carga de impermeabilização (kN/m <sup>2</sup> )	Cargas do contrapiso (kN/m <sup>2</sup> )	Cargas variáveis (kN/m <sup>2</sup> )	h (cm)
L201	Maciça	0	1	3	12
L202	Maciça	0	1	3	12
L203	Maciça	0	1	3	12
L204	Maciça	0	1	3	12
L205	Maciça	0	1	3	12
L206	Maciça	0	1	3	12
L301	Maciça	0,10	0	1	12
L302	Maciça	0,10	0	1	12
L303	Maciça	0,10	0	1	12
L304	Maciça	0,10	0	1	12
L305	Maciça	0,10	0	1	12
L306	Maciça	0,10	0	1	12
L401	Maciça	0,10	0	1	12

Fonte: Autor, 2024.

Para todas as lajes do pavimento térreo, foi considerado a aplicação de revestimentos de piso de edifícios residenciais e comerciais com 5 cm de espessura. Já nas lajes da cobertura e caixa d'água, foi considerado aplicação de impermeabilização com manta asfáltica simples (apenas manta com 15% de sobreposição e pintura asfáltica, sem camada de regularização nem proteção mecânica com espessura de 0,4 cm), além do carregamento para manutenção. A Figura 26 mostra a seleção da laje do tipo maciça com espessura de 12 centímetros.

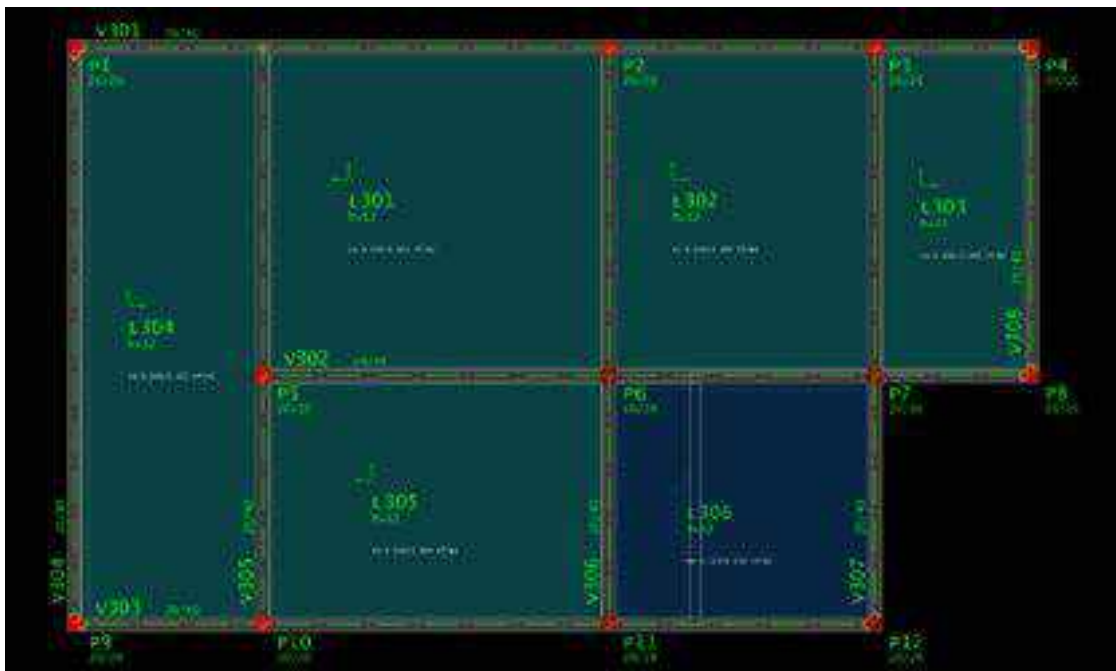
Figura 26 - Inserindo informações das lajes



Fonte: Autor, 2024.

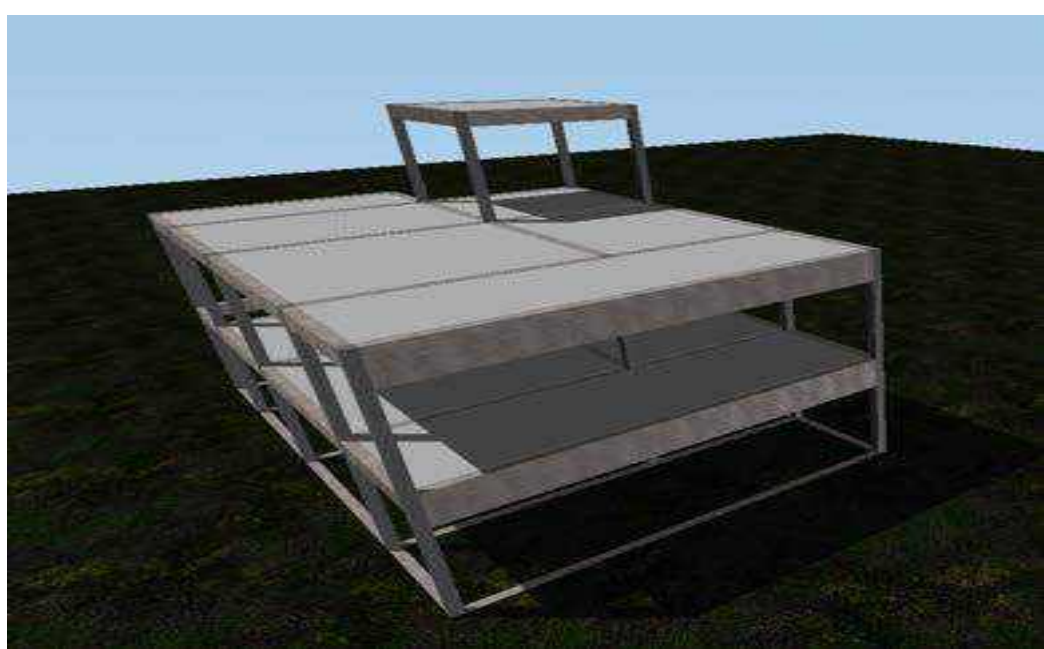
Por fim, é realizado o lançamento das lajes. A Figura 27 representa o posicionamento das lajes e a Figura 28 ilustra o andamento em 3D da modelagem até esta etapa.

Figura 27 – Lançamento das lajes maciças



Fonte: Autor, 2024.

Figura 28 - Visualização 3D das lajes

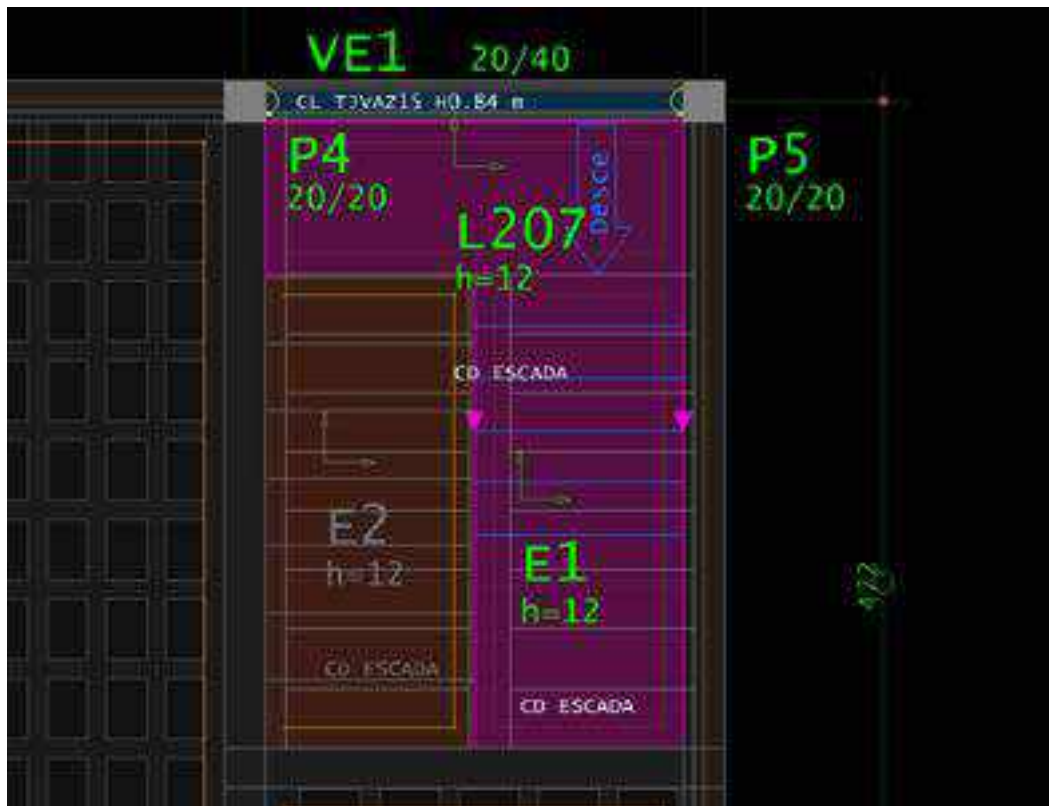


Fonte: Autor, 2024.

#### 4.2.4 Escadas

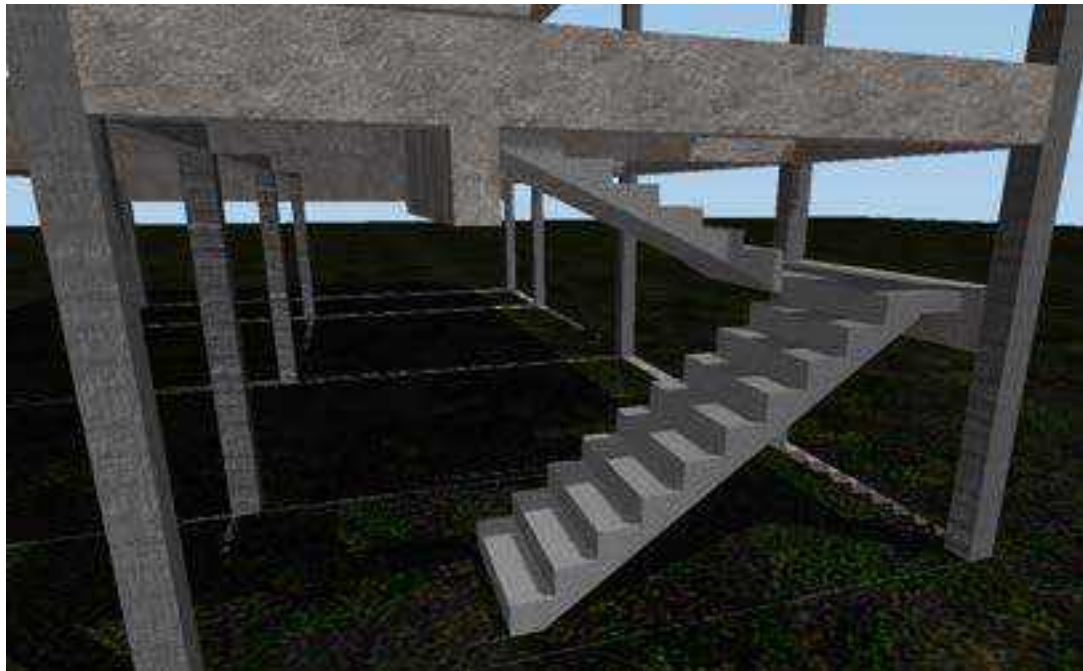
Como último elemento estrutural, a escada também deverá ser lançada ao projeto estrutural com o objetivo de possibilitar a mobilidade entre os pavimentos para os usuários da edificação. Para inserir a escada é preciso configurar no TQS a estrutura como um elemento inclinado, como ilustra a Figura 29. Após isso, é possível configurar os degraus, o patamar e a altura do patamar. No projeto, foi definido que o patamar estaria a 1,24 metros do solo. O patamar é feito de laje maciça com espessura de 12 centímetros. A Figura 30 mostra a inserção da escada como último elemento estrutural do projeto. A escada foi projetada com carga específica para o uso da escada, definida no *software*.

Figura 29 – Lançamento das escadas



Fonte: Autor, 2024.

Figura 30 - Visualização 3D das escadas

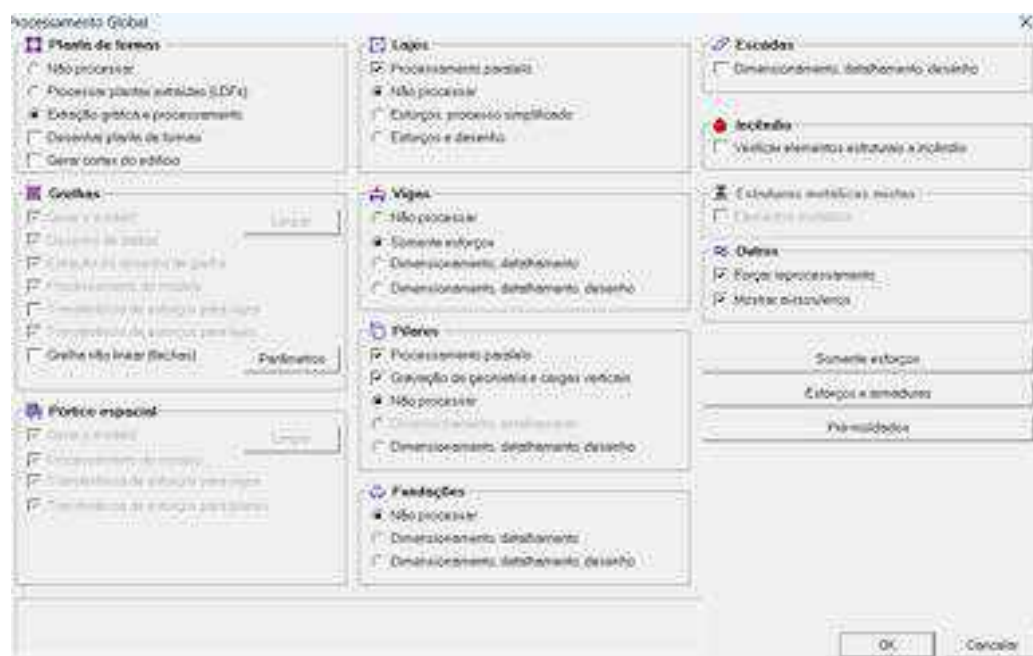


Fonte: Autor, 2024.

#### 4.3 PROCESSAMENTO ESTRUTURAL

Após modelagem da estrutura no *software*, é possível avaliar se as condições do dimensionamento estão coerentes com as cargas previstas no projeto. Se houver erros de estabilidade global e/ou modelagem, o processamento global é interrompido e aponta os erros do projetista. Além dessas funções, essa etapa é responsável por dimensionar e detalhar as armaduras dos elementos estruturais a partir do ELU e ELS. A Figura 31 mostra as opções disponibilizadas pelo programa.

Figura 31 - Interface do processamento global no TQS



Fonte: Autor, 2024

Para o processamento foram selecionados a “Extração gráfica e processamento, desenho da planta de formas e cortes do edifício” na seção Planta de Formas; na seção Lajes foi selecionada o item “Esforços e desenho”; nas seções Vigas e Pilares foi escolhido o item “Dimensionamento, detalhamento, desenho”; na seção Fundações foi escolhido para não processar; na seção Escadas foi escolhido o item Dimensionamento, detalhamento, desenho. Por fim, o resultado do Processamento Global está ilustrado na Figura 32.

Figura 32 - Finalização do processamento global



Fonte: Autor, 2024.

#### 4.4 ANÁLISE E DETALHAMENTO DAS VIGAS

Essa etapa consiste na verificação das armaduras dimensionadas a partir do processamento global. É importante verificar se a solução proposta pela TQS é correta e se permite otimização na sua execução. A Figura 33 mostra a interface do painel TQS Vigas, seção exclusiva para análise do detalhamento gerado inicialmente.

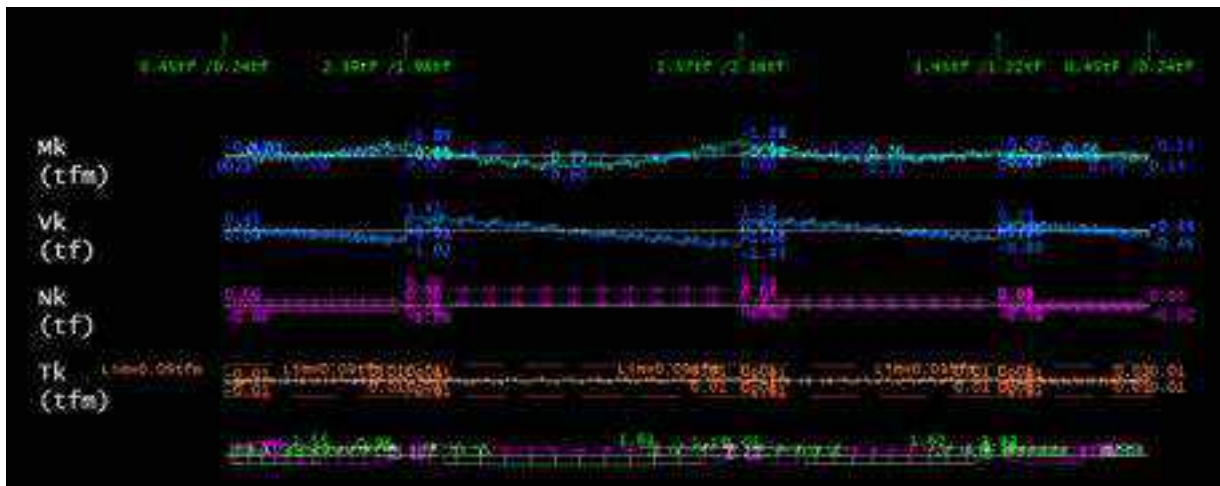
Figura 33 - Interface gráfica do TQS Vigas



Fonte: Autor, 2024.

Na seção Diagrama de Solicitações é possível verificar os diagramas de momento fletor, esforço normal e esforço cortante de cada viga lançada na modelagem. Além disso, é possível analisar qual a área de aço necessária no elemento e a área de aço dimensionada pelo *software*. A Figura 34 ilustra os diagramas e as áreas de aço calculadas ao decorrer do elemento da Viga 301.

Figura 34 - Informações do dimensionamento da Viga 301



Fonte: Autor, 2024.

Na aba Relatório é disponibilizado informações sobre o esforço à flexão em cada viga do edifício. As informações presentes são sobre a relação entre altura e comprimento dos vãos das vigas, quantidade de armaduras, taxa geométrica de armadura longitudinal, diâmetro da armadura, entre outros (Figura 35).

Figura 35 - Informações da Viga 301 ao esforço de flexão

Flexão											
Vão	L (cm)	Seção (cm)	H/L (%)	$\rho_s$ (%)	$A_{s,m_{\max}}$ (M+)			$A_{s,max}$ (M-)			Flecha (L/Δ)
					n	$\varnothing$ (mm)	$A_s$	n	$\varnothing$ (mm)	$A_s$	
1	271	20 x 40	14,76	0,39 a 0,58	2	10	-	2	10	-	12596,899
2	497,5	20 x 40	8,04	0,29 a 0,49	3	10	-	3	10	-	38814,112
3	382,5	20 x 40	10,46	0,34 a 0,41	2	10	-	2	10	-	13379,166
4	225	20 x 40	17,78	0,38 a 0,49	2	10	-	2	10	-	21530,994

Fonte: Autor, 2024.

Por fim, o TQS gera o detalhamento das barras longitudinais e transversais das vigas. A Figura 36 mostra o detalhamento da Viga 301. Demais vigas estarão presentes no Apêndice A dessa pesquisa.

Figura 36 - Detalhamento da Viga 301



Fonte: Autor, 2024.

#### 4.5 ANÁLISE E DETALHAMENTO DAS LAJES

Essa etapa consiste na verificação das armaduras positivas e negativas dimensionadas a partir do processamento global. É importante verificar se a solução proposta pela TQS é correta e se permite otimização na sua execução. A Figura 37 mostra a interface do painel TQS Lajes - Grelhas, seção exclusiva para análise do detalhamento gerado inicialmente. Por se tratar de laje do tipo maciça, é selecionado o item Geração de desenhos.

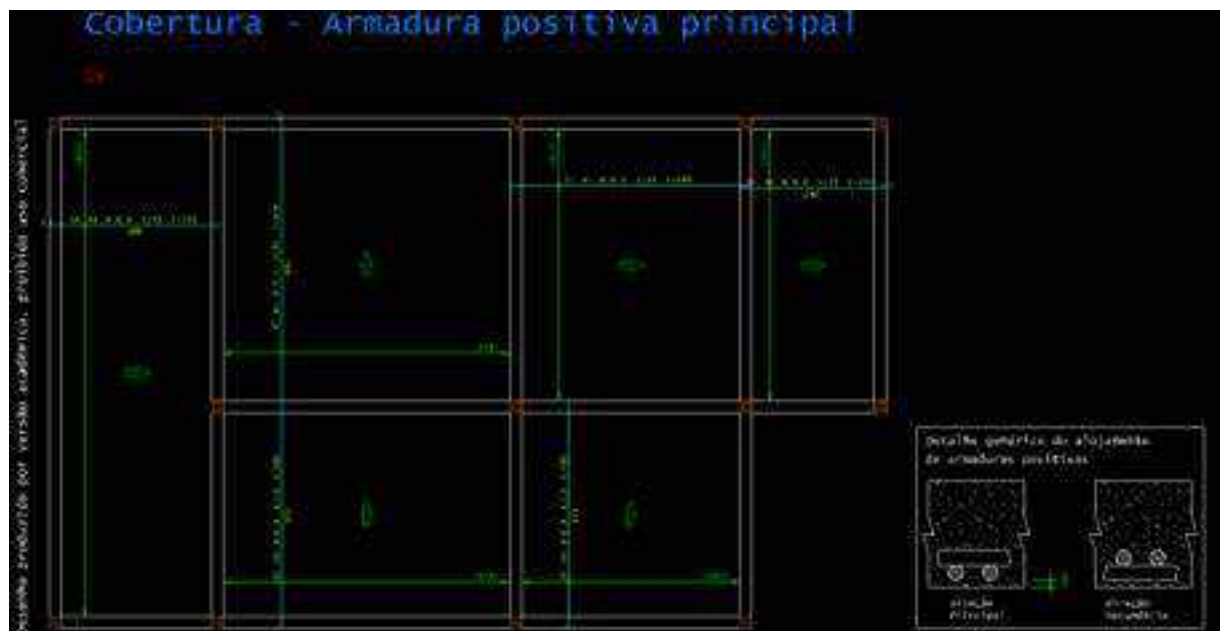
Figura 37 – Interface gráfica do TQS Lajes



Fonte: Autor, 2024.

Por fim, o TQS gera o detalhamento das barras longitudinais e transversais das lajes. A Figura 38 mostra o detalhamento das armaduras positivas principais da laje do pavimento superior. Demais lajes estarão presentes no Apêndice A dessa pesquisa.

Figura 38 – Detalhamento das armaduras positivas principais das lajes do pavimento superior

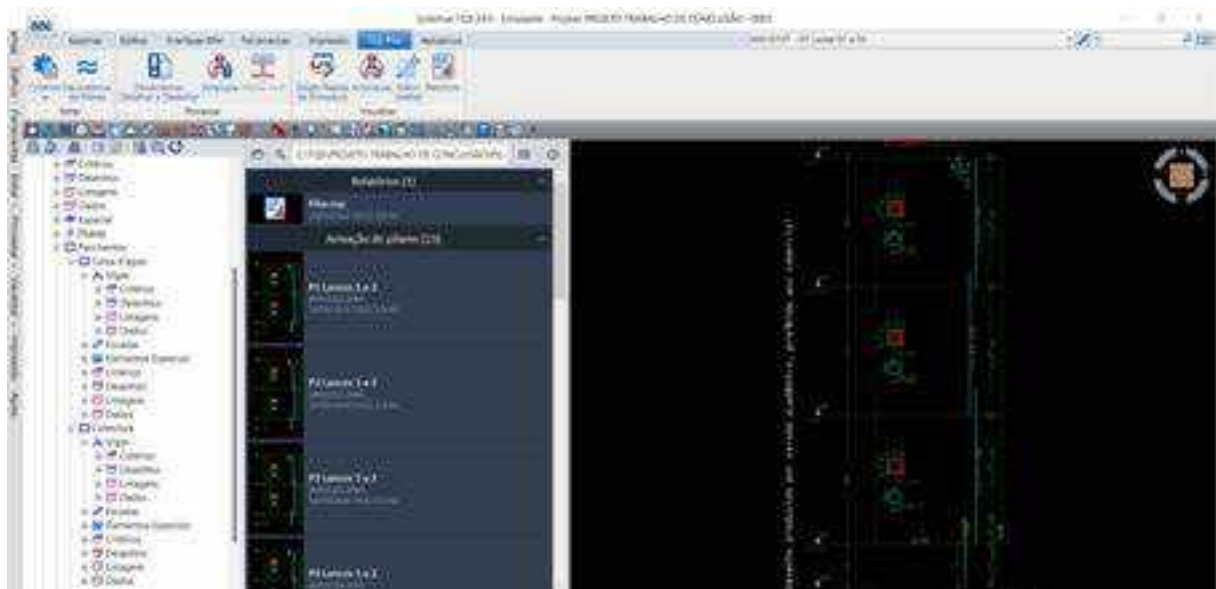


Fonte: Autor, 2024.

#### 4.6 ANÁLISE E DETALHAMENTO DOS PILARES

Essa etapa consiste na verificação das armaduras dimensionadas a partir do processamento global. É importante verificar se a solução proposta pela TQS é correta e se permite otimização na sua execução. A Figura 39 mostra a interface do painel TQS Pilar, seção exclusiva para análise do detalhamento gerado inicialmente.

Figura 39 - Interface gráfica do TQS Pilar



Fonte: Autor, 2024.

Na aba Relatório é disponibilizado informações sobre o esforço à flexão em cada pilar do edifício. As informações presentes são sobre os índices de esbeltez, quantidade de armaduras, taxa geométrica de armadura longitudinal, diâmetro da armadura, entre outros (Figura 40).

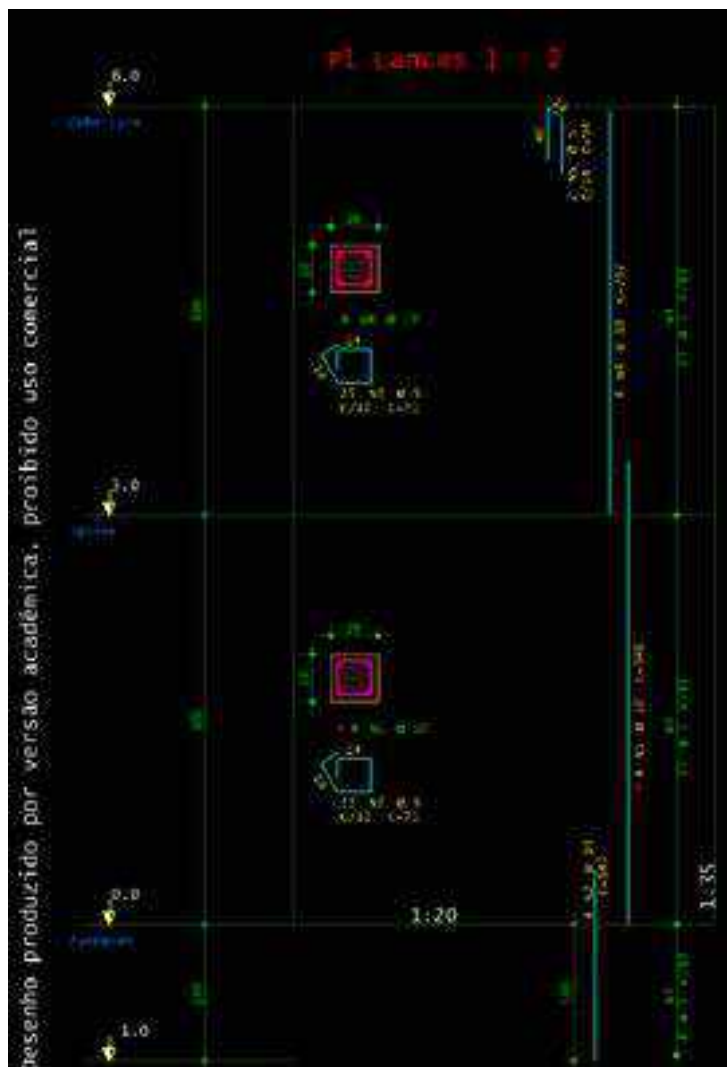
Figura 40 - Informações da Pilar P1 ao esforço de flexão

Flexão														
Lance	Pavimento	Seção			Armadura longitudinal				$\sigma_{ap} (N/mm^2)$	Estatística		$t_{cr} (MPa)$	$c_{cpl}$	2 <sup>a</sup> Ordem
		Formato (mm)	A (mm <sup>2</sup> )	n	M (mm)	Ax (mm <sup>2</sup> )	p (mm)	Princ (N)		$\lambda_1$	$\lambda_2$			
1	Coluna	200x200	40000	4	10	319	37.9	137	3400 a 3571	11.2	12.40	12.40	25	1
2	Sócio	200x200	40000	4	10	319	37.9	137	3400 a 3571	11.2	12.40	12.40	25	1

Fonte: Autor, 2024.

Após isso, o TQS gera o detalhamento das barras longitudinais e estribos dos pilares. A Figura 35 mostra o detalhamento do Pilar P1. Demais detalhamentos dos pilares estarão presentes no Apêndice A dessa pesquisa.

Figura 41 - Detalhamento do Pilar P1

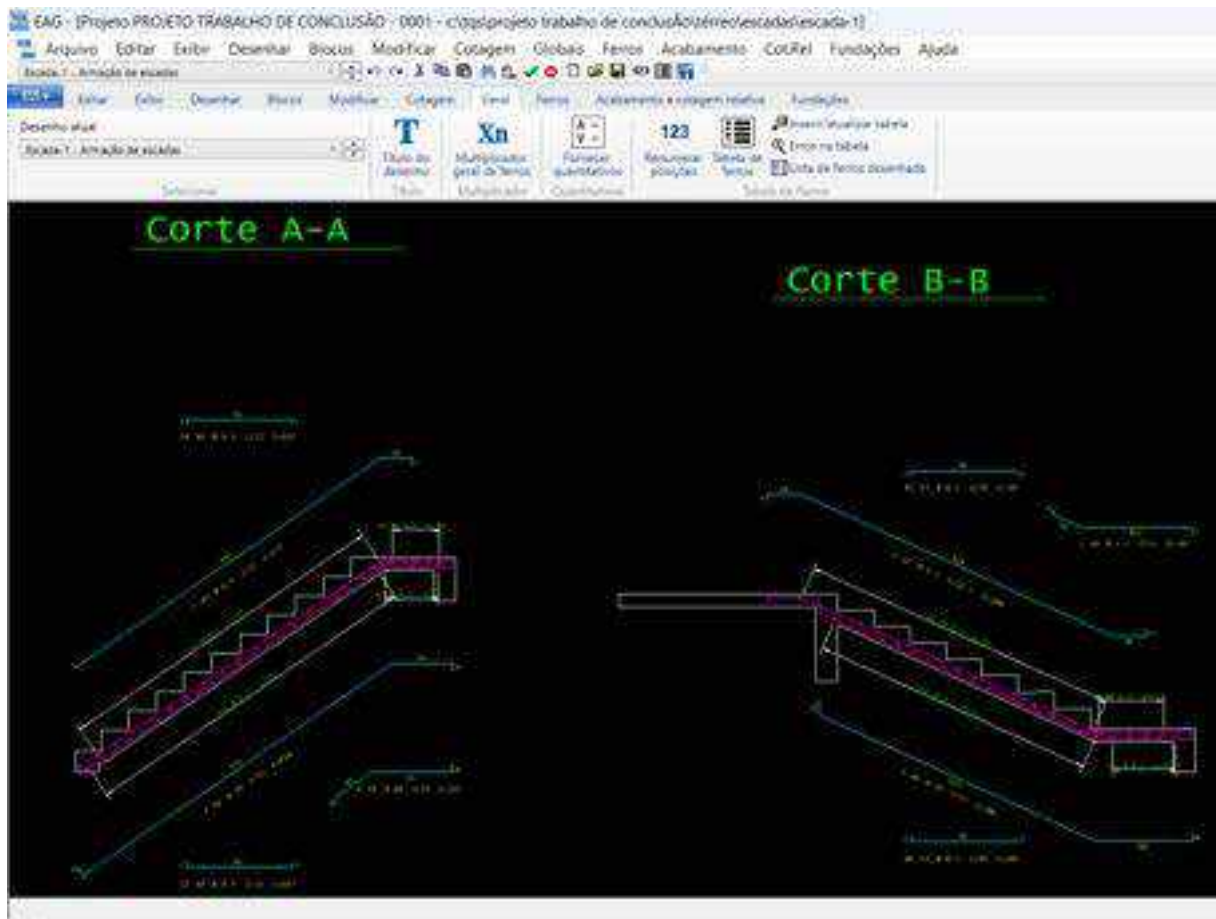


Fonte: Autor, 2024.

#### 4.7 ANÁLISE E DETALHAMENTO DAS ESCADAS

Essa etapa consiste na verificação das armaduras dimensionadas a partir do processamento global. É importante verificar se a solução proposta pela TQS é correta e se permite otimização na sua execução. Por se tratar de uma laje inclinada, a concepção de dimensionamento é a mesma da laje maciça. A Figura 42 mostra o detalhamento gerado pelo *software*.

Figura 42 - Detalhamento da armação da escada



Fonte: Autor, 2024.

#### 4.8 CONSUMO DE MATERIAIS

Por fim, o TQS processa o consumo de quantitativo de fôrmas e aço para a execução da edificação, além de gerar um orçamento preliminar. O quantitativo de materiais é essencial na execução de um projeto estrutural, pois permite um controle preciso dos custos, auxiliando na estimativa financeira e evitando desperdícios. Além disso, facilita o planejamento logístico e a gestão de estoque, garantindo a disponibilidade dos insumos no momento adequado e otimizando a execução da obra. Com o quantitativo correto, a equipe consegue realizar o trabalho de forma eficiente, minimizando erros e reduzindo o desperdício de materiais, o que contribui para a sustentabilidade da obra. Além disso, assegura que a construção siga fielmente o projeto, garantindo qualidade e segurança na estrutura final. Como o objetivo do estudo é apenas o dimensionamento e detalhamento dos elementos estruturais, a aba de orçamento não

estará presente nessa pesquisa. É possível detalhar os dados por tipo de material, por pavimento, por bitola de aço, entre outras opções. A Figura 43, 44 e 45 mostram o resumo do consumo de concreto e fôrmas, concreto e o consumo de aço por bitola. Além dos quantitativos, o programa também gera um memorial de cálculo e descritivo (Apêndice B).

Figura 43 - Consumo de concreto e fôrmas no edifício

### Consumo

#### Consumo de concreto e fôrmas

Pavimento	Concreto (m³)					Fôrmas (m²)				
	Pilares	Vigas	Lajes	Fundações	Outros	Pilares	Vigas	Lajes	Fundações	Outros
Caixa d'água	0.48	1.12	0.98	0.00	0.00	9.60	12.89	12.25	0.00	0.00
Cobertura	1.56	6.30	11.51	0.00	0.00	31.20	65.20	95.96	0.00	0.00
Térreo	1.56	6.79	10.71	0.00	1.35	31.20	71.33	89.25	0.00	7.22
Fundação	0.00	5.73	0.00	0.00	0.00	0.00	71.79	0.00	0.00	0.00
Sapates/Blocos	0.00	0.00	0.00	0.00	0.00	0.00	0.00	0.00	0.00	0.00
<b>TOTAL</b>	<b>3.60</b>	<b>19.93</b>	<b>23.21</b>	<b>0.00</b>	<b>1.35</b>	<b>72.00</b>	<b>231.21</b>	<b>197.46</b>	<b>0.00</b>	<b>7.22</b>

Fonte: Autor, 2024.

Figura 44 - Consumo de aço no edifício

### Consumo de aço

Pavimento/Pasta	Área (m²)	Aço (kgf)				
		Pilares	Vigas	Lajes	Fundações	Outros
Caixa d'água	15.21	41	70	68	0	0
Cobertura	110.60	138	372	616	0	0
Térreo	111.01	232	495	616	0	81
Fundação	14.53	0	286	0	0	0
<b>TOTAL</b>	<b>251.35</b>	<b>411</b>	<b>1222</b>	<b>1300</b>	<b>0</b>	<b>81</b>

O consumo de aço nas escadas está incluso na coluna Outros.

Fonte: Autor, 2024.

Figura 45 - Consumo de aço por bitola

Consumo de aço por bitola (kgf)

Pasta	Bitola (mm)											
	3.2	4.2	5	6.3	8	10	12.5	16	20	25	32	48
Caixa d'água	0	0	50	44	0	85	0	0	0	0	0	0
Cobertura	0	0	171	563	27	307	29	28	0	0	0	0
Térreo	0	0	165	634	36	361	102	105	21	0	0	0
Fundação	0	0	77	2	0	207	0	0	0	0	0	0
<b>TOTAL</b>	<b>0</b>	<b>0</b>	<b>463</b>	<b>1243</b>	<b>63</b>	<b>959</b>	<b>131</b>	<b>134</b>	<b>21</b>	<b>0</b>	<b>0</b>	<b>0</b>

Fonte: Autor, 2024.

## 5 CONSIDERAÇÕES FINAIS

Este trabalho trata-se de uma pesquisa realizada sobre o desenvolvimento de um projeto estrutural utilizando o software TQS. Durante o estudo, foi analisado o processo de concepção estrutural, que teve início com a seleção da arquitetura e a escolha do sistema estrutural mais adequado. O lançamento dos elementos estruturais, como vigas, pilares, lajes e escadas, foi realizado com o objetivo de otimizar suas dimensões e garantir a compatibilidade com a arquitetura.

Durante o desenvolvimento do projeto, foi possível vivenciar alguns aspectos da execução de um projeto estrutural. É notório que a experiência do projetista favorece para uma boa concepção estrutural.

A utilização de *softwares* em projetos de engenharia contribui para a formação do profissional, ainda que esteja na graduação. Todavia, o uso de modelos computacionais em projetos não substitui o conhecimento teórico necessário. É importante que o projetista possua compreensão prévia dos elementos abordados no programa para a realização de um bom projeto estrutural. Para esta pesquisa, foi necessário conhecer as funcionalidades do TQS, além de contar com conhecimentos sobre as disciplinas específicas vistas durante a graduação, como mecânica geral, resistência dos materiais, teoria das estruturas, concreto armado e desenho de arquitetura.

O uso do *software* TQS facilitou a realização do lançamento da estrutural e verificação dos elementos, tornando o desenvolvimento do projeto mais eficiente. No entanto, é importante possuir a validação do engenheiro para a conferência dos resultados e assim seguir para a execução do projeto. Além do lançamento estrutural, o TQS também auxilia na geração do dimensionamento e detalhamento de vigas, lajes, pilares e escadas, um processo esse importante para avaliar o quantitativo dos materiais. No caso estudado, a residência unifamiliar conta com o consumo de 48,09 m<sup>3</sup> de concreto, 497,89 m<sup>2</sup> de fôrmas e 3.014 kgf de aço.

Sugere-se para outras pesquisas que buscarem a análise de projetos estruturais, a inclusão do dimensionamento das fundações necessárias na edificação, com o objetivo de concretizar o lançamento da estrutura em concreto armado. Além disso, sugere-se a utilização de soluções orçamentárias, incluindo otimização de materiais, para avaliar o custo final dos materiais e mão de obra necessárias para a execução da edificação. Também é possível comparar os custos entre outros sistemas estruturais, como: estrutura em aço, concreto

protendido, alvenaria estrutural, entre outras soluções possíveis no âmbito da engenharia estrutural.

Por fim, conclui-se que o objetivo geral e os objetivos específicos foram bem atendidos utilizando o TQS para o dimensionamento de uma estrutura em concreto armado.

## REFERÊNCIAS

ALVA, G. M. S. Concepção estrutural de edifícios em concreto armado. 2007. 23 p. Departamento de Estruturas e Construção Civil, Universidade Federal de Santa Maria, Santa Maria, 2007.

ARAÚJO, J. M. Curso de concreto armado. 3<sup>a</sup> edição. Rio Grande: DUNAS, 2010. 395 p.

ASSOCIAÇÃO BRASILEIRA DE NORMAS TÉCNICAS, ABNT NBR 6118. **Projeto de estruturas de concreto – Procedimento**. Rio de Janeiro. 2023.

ASSOCIAÇÃO BRASILEIRA DE NORMAS TÉCNICAS. NBR 6120. **Cargas para o cálculo de estruturas de edificações**. Rio de Janeiro, 2019.

BASTOS, P. S. S. Fundamentos do concreto armado. Bauru: Universidade Estadual Paulista – Departamento de Engenharia Civil e Ambiental, 2006. 92 p. Apostila

BASTOS, P. S. Lajes de concreto armado. Bauru: Universidade Estadual Paulista – Departamento de Engenharia Civil e Ambiental, 2021. 109 p. Apostila. sem autor. EXEMPLO de um projeto completo de um edifício de concreto armado. Professor PUC Goiás, 2001. Disponível em: <https://wwwp.feb.unesp.br/pbastos/concreto1/Lajes.pdf/>. Acesso: 10/09/2024.

BOTELHO, Manoel Henrique Campos; MARCHETTI, Osvaldemar. Concreto armado, eu te amo. 2.ed. São Paulo: Edgard Blucher, 2015. v.2.

CARVALHO, Roberto Chust; FIGUEIREDO FILHO, Jasson Rodrigues de. **Cálculo e Detalhamento de Estruturas Usuais de Concreto Armado Segundo a NBR 6118:2023**. 5. ed. São Carlos: Edfuscar, 2023. 479 p.

CUNHA, J. Estruturas de concreto armado. Universidade Federal de Uberlândia, Faculdade de Engenharia Civil, 198 p. Apostila, 2014.

FERREIRA WERNECK, Camilla Muniz; DE SOUZA, Vitor Figueira; DE LIMA, Weslen Neri. ANÁLISE COMPARATIVA DE CÁLCULO ESTRUTURAL ENTRE OS SOFTWARES EBERICK E TQS. **Simpósio**, [S.l.], n. 11, p. 1, may 2023. ISSN 2317-5974. Disponível em: <https://revista.ugb.edu.br/index.php/simposio/article/view/2709>. Acesso em: 18 set. 2024.

GONGO, J. S. **Concreto armado: Projeto estrutural de edifícios**. Universidade de São Paulo - Escola de Engenharia de São Carlos. São Carlos, 2007. 176p

KAEFER, L. F. **A Evolução do Concreto Armado**. São Paulo, 1998. Disponível em: <<https://wwwp.feb.unesp.br/lutt/Concreto%20Protendido/HistoriadoConcreto.pdf>> Acesso em: 01 ago. 2024.

KIMURA, Alio. Informática aplicada em estruturas de concreto armado: cálculo de edifícios com o uso de sistemas computacionais. São Paulo: PINI, 2007.

KRISTINER, Isabel. Análise comparativa com enfoque na estabilidade global de edifícios de múltiplos pavimentos utilizando o modelo iv e o modelo vi do software cad/tqs. 2019. 84 f. Trabalho de Conclusão de curso. Universidade do Vale de Taquari, Lajeado, 2019.

LEONHARDT, Fritz; MONNIG Eduard. **Construções de concreto: princípios básicos do dimensionamento de estruturas de concreto armado**. Rio de Janeiro: Interciência, 2007.

LORIGGIO, Daniel Domingues. **Reflexões sobre o projeto de estruturas de concreto armado utilizando recursos computacionais**. Revista Estrutura, v.1, p. 62-68. jul. 2016. Disponível em: <[http://abece.com.br/Revista\\_estrutura/Edicao1](http://abece.com.br/Revista_estrutura/Edicao1)> Acesso em: 08 ago. 2021.

MARTHA, L. F. **Análise de Estruturas**. 1. ed. [s.l.] CAMPUS, 2010.

MATTOS, Aldo Dórea. **Como preparar orçamentos de obras: dicas para orçamentistas, estudos de caso, exemplos**. São Paulo: Editora Pini, 2006. 286 p.

MEHTA, P. Kumar; MONTEIRO, Paulo J. M. **Concreto: Microestrutura, propriedades e Materiais.** São Paulo: Editora Ibracon, 2008.

MENEZES, A. H. N. et al. **Metodologia científica teoria e aplicação na educação a distância.** Universidade Federal do Vale do São Francisco, Petrolia, 2019.

MIRANDA, Walzenira Parente; SILVA, Antonio Cleiton Lopes da. “O papel do engenheiro no uso de softwares para cálculo estrutural / The role of engineers in the use of structural calculations softwares”. *Brazilian Journal of Development*, vol. 8, nº 1, janeiro de 2022, p. 3681–98. DOI.org (Crossref), <https://doi.org/10.34117/bjdv8n1-242>.

NASCIMENTO, Júlio Cézar Monteiro. **ANÁLISE E PROJETO ESTRUTURAL DE UM EDIFÍCIO PADRÃO PP-B EM CONCRETO ARMADO UTILIZANDO O SOFTWARE TQS®.** 2023. 78 f. TCC (Graduação) - Curso de Engenharia Civil, Universidade Federal de Pernambuco, Caruaru, 2023. Disponível em: <[https://repositorio.ufpe.br/bitstream/123456789/52960/1/TCC\\_J%c3%9aLIO\\_C%c3%89ZA\\_R\\_MONTEIRO\\_NASCIMENTO.pdf](https://repositorio.ufpe.br/bitstream/123456789/52960/1/TCC_J%c3%9aLIO_C%c3%89ZA_R_MONTEIRO_NASCIMENTO.pdf)> Acesso em: 07 set. 2024.

PINHEIRO, MUZARDO e SANTOS, Fundamentos do concreto e projeto de edifícios – Monografia apresentada a USP – Universidade de São Paulo – Escola de Engenharia de São Carlos - USP – EESC – Dep. Eng. de Estruturas, 2004.

**Prédio mais alto do mundo, Burj Khalifa tem quase 5x a altura do novo maior edifício de São Paulo; veja lista.** G1, 2021. Disponível em: <https://g1.globo.com/mundo/noticia/2021/06/19/predio-mais-alto-do-mundo-burj-khalifa-tem-quase-5x-a-altura-do-novo-maior-edificio-de-sao-paulo-veja-lista.ghtml> Acesso em 20 set. 2024.

REBELLO, Y.C. P. **Bases para projeto estrutural na arquitetura.** 6. ed. São Paulo: Zigurate Editora, 2017

SILVA, G. G. **Arquitetura de ferro no Brasil.** São Paulo: Nobel, 1986.

PFEIL, W. **Concreto armado**, v. 1, 2 e 3, 5a ed., Rio de Janeiro, Ed. Livros Técnicos e Científicos, 1989.

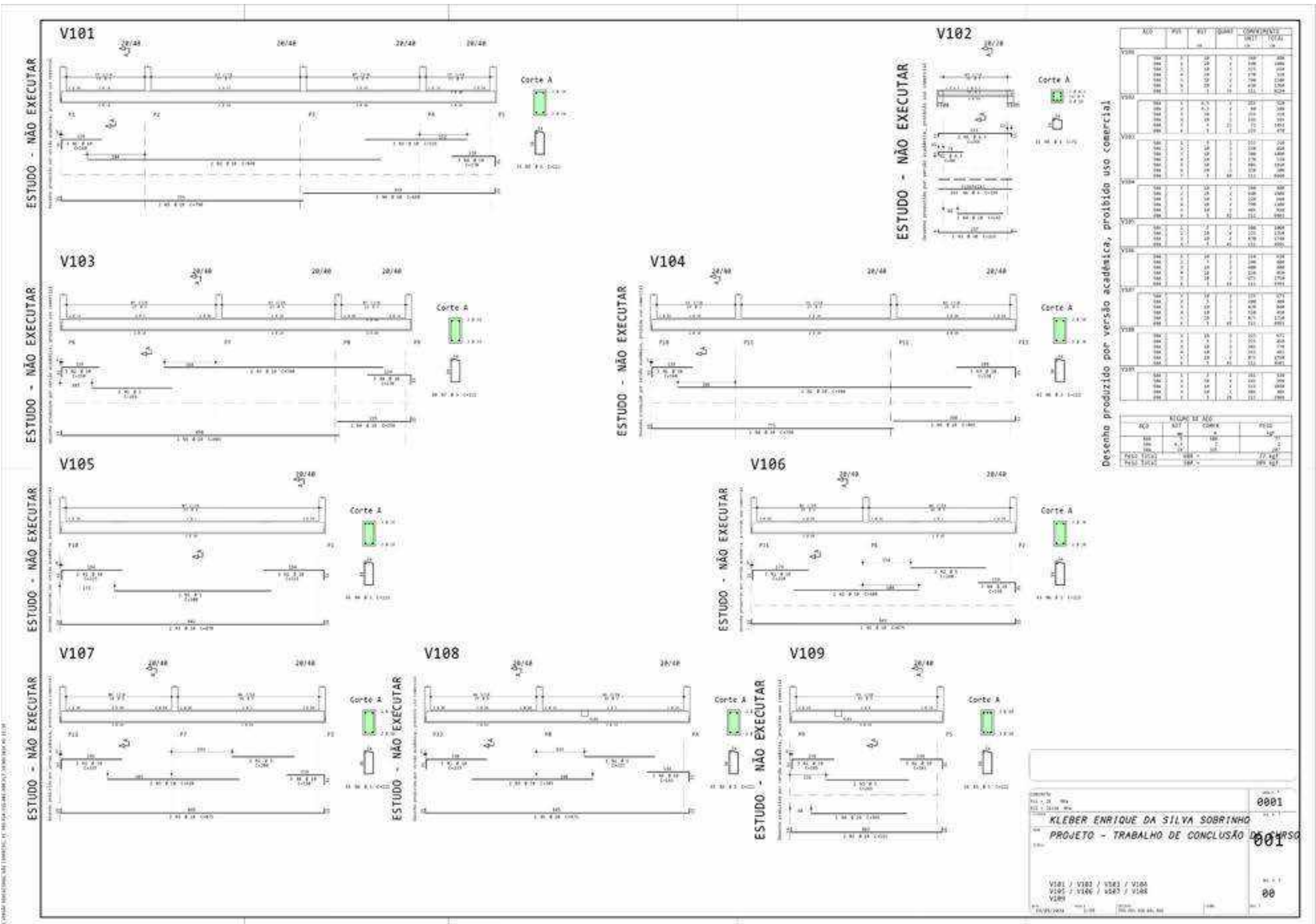
PEDROSA, M. A. P; TEIXEIRA, J. C. **O Desenvolvimento da Técnica do Concreto Armado no Final do Século XIX e Início do Século XX**. Concreto Armado no Final do Século XIX e Início do Século XX, 2011. Disponível em: <https://concretoarmadosecxx.blogspot.com/2011/> Acesso em: 05 ago. 2024.

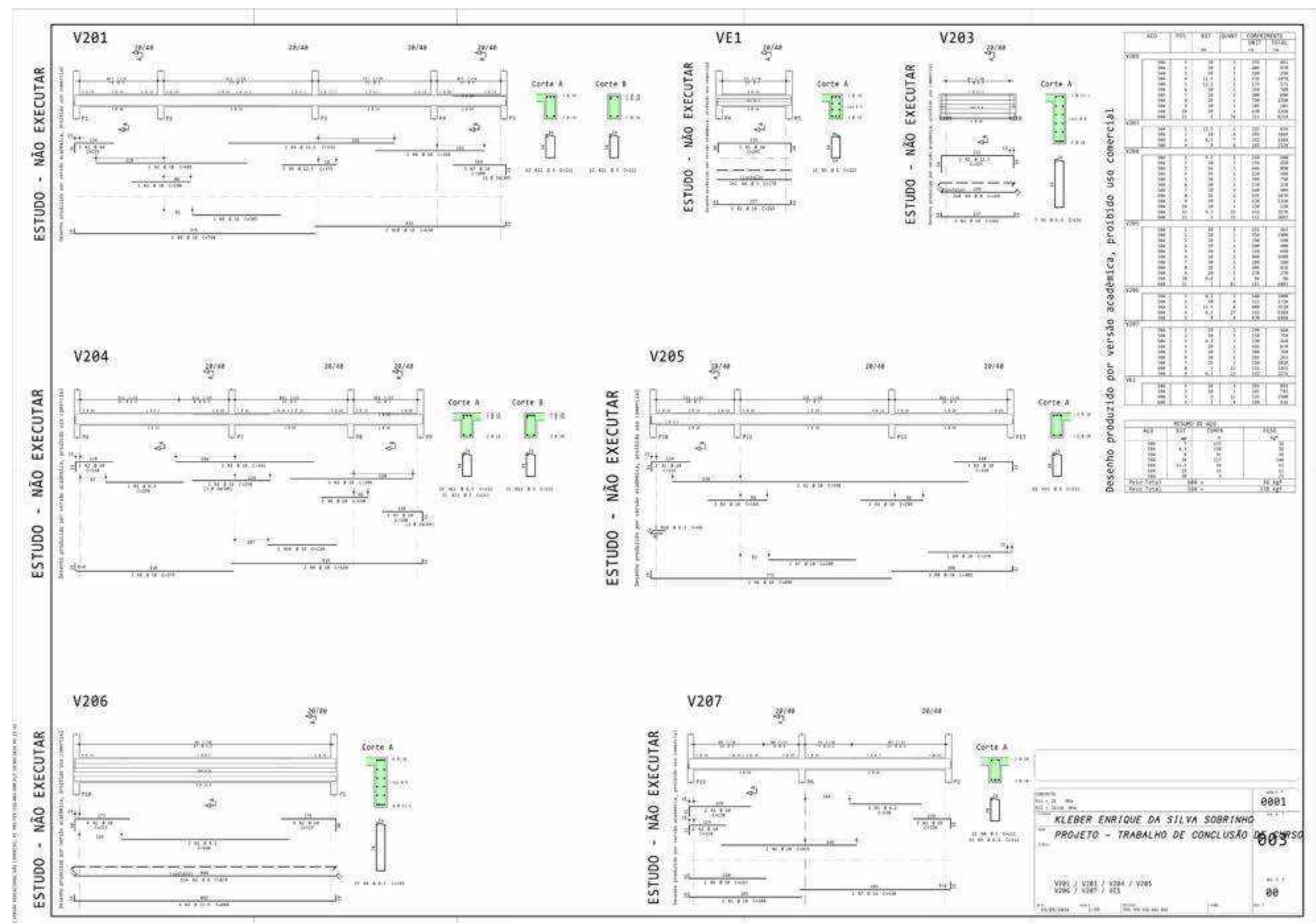
PENA, Rodolfo F. Alves. **10 maiores hidrelétricas do mundo**; Brasil Escola. Disponível em: <<https://brasilescola.uol.com.br/geografia/as-maiores-hidreletricas-mundo.htm>> Acesso em 13 de ago. de 2024

PINHEIRO, M. L. **Fundamentos do Concreto e Projetos de Edifício**. São Carlos, 2007.

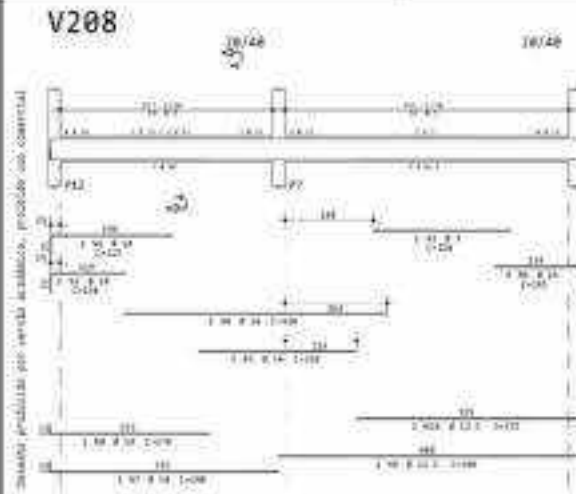
**APÊNDICE A – DETALHAMENTO ESTRUTURAL**



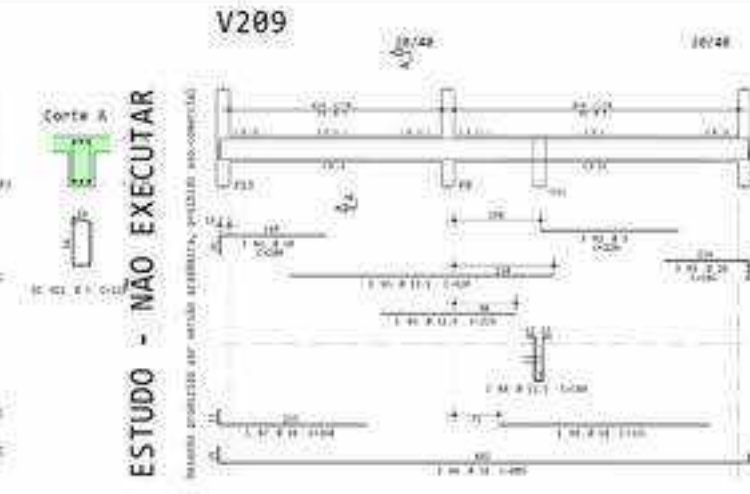




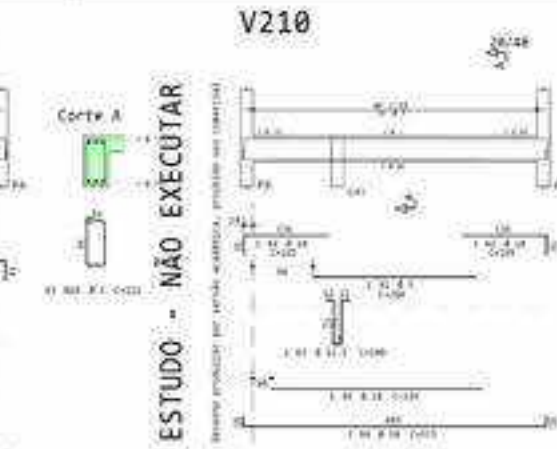
ESTUDO - NÃO EXECUTAR



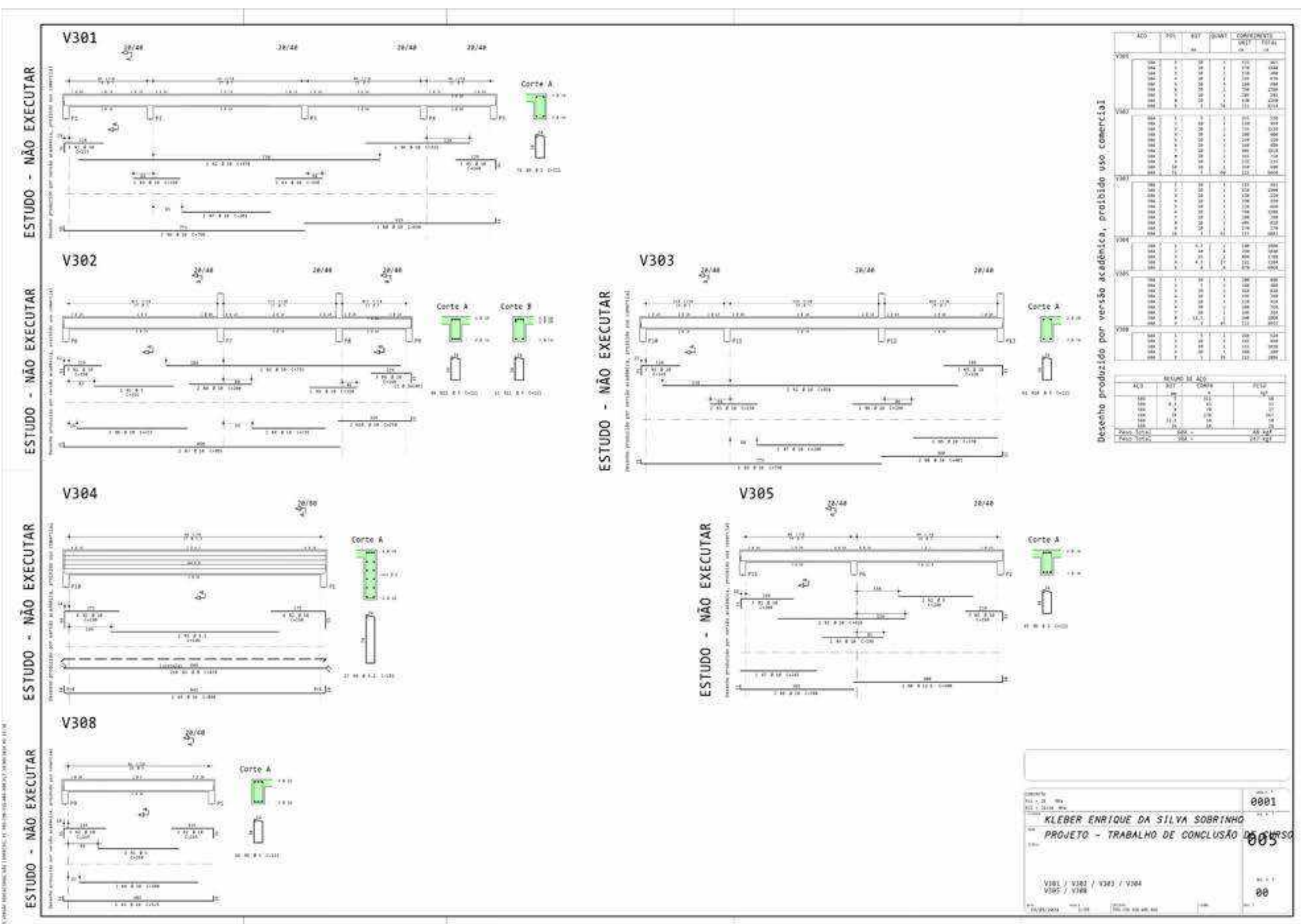
卷之三

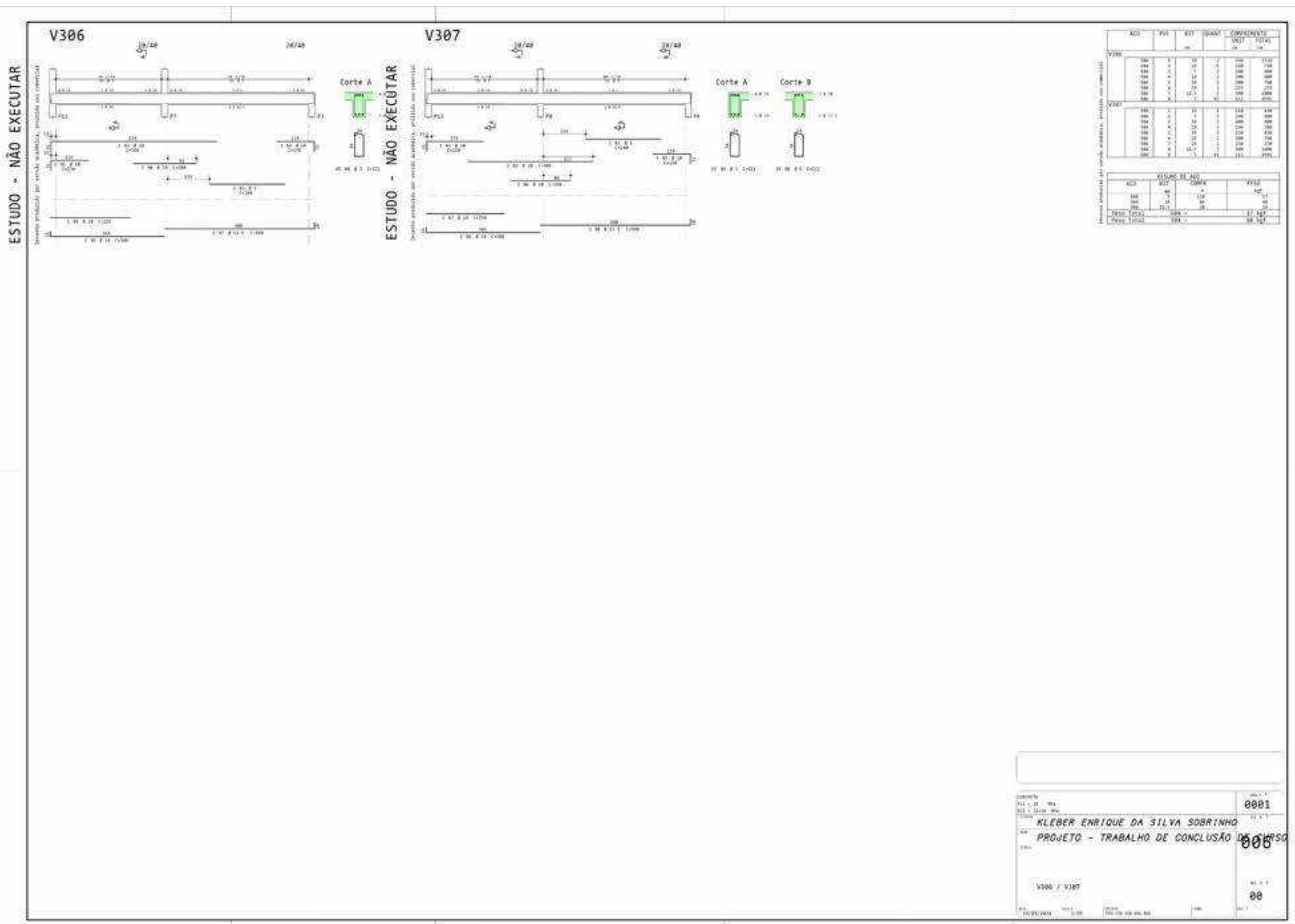


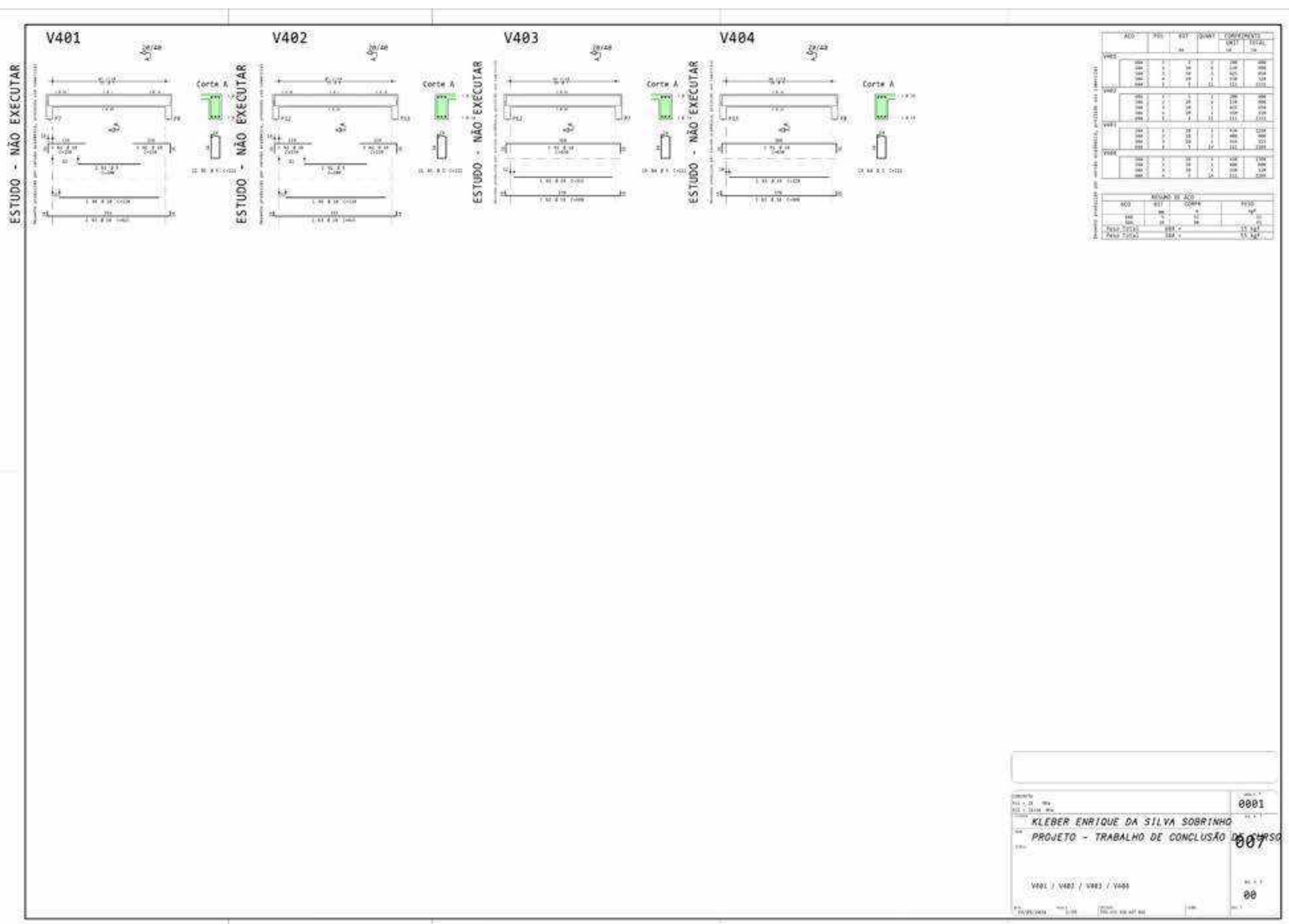
A-223



Nome:	0001
VII - 2010	
VII - 2010 - M	
<b>KLEBER ENRIQUE DA SILVA SOBRINHO</b>	
<b>PROJETO - TRABALHO DE CONCLUSÃO DE CURSO</b>	
004	
V299 / V289 / V219	
00	
10/05/2010	
0001	

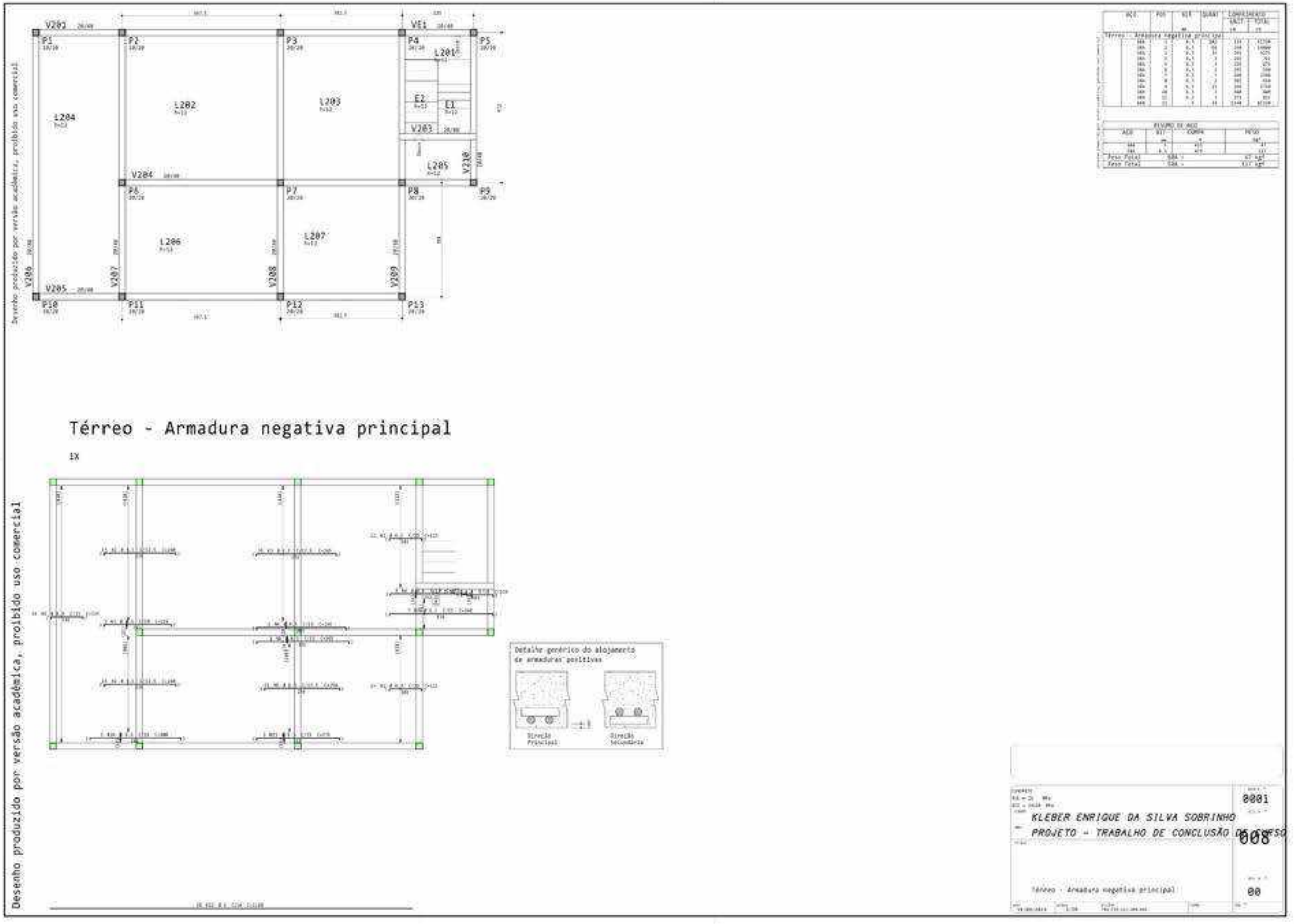






# ESTUDO - NÃO EXECUTAR

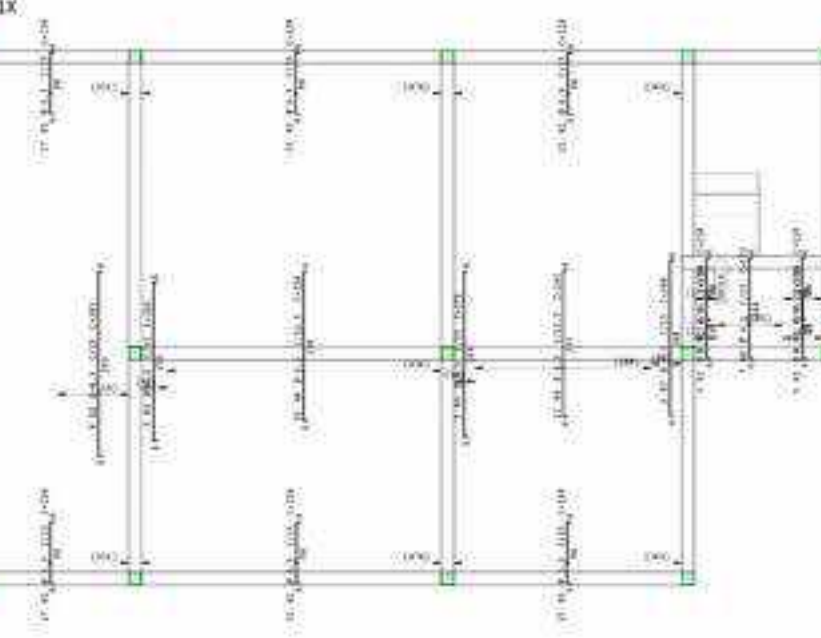
## ESTUDO - NÃO EXECUTAR



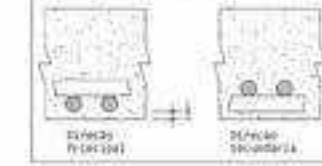
ESTUDO - NÃO EXECUTAR

### Térreo - Armadura negativa secundaria

Delineando o processo para verão atacadista, produzido pelo comitê

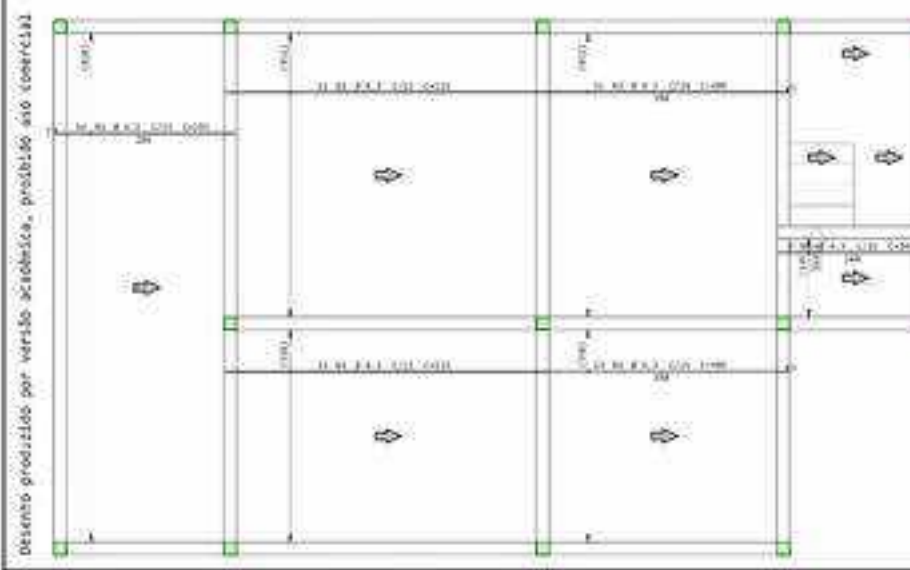


## **Detalhe genérico do alojamento de armaduras positivas**

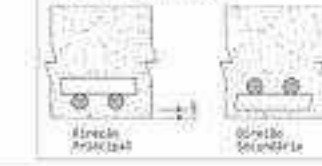


### Térreo - Armadura positiva principal

14



## **Detalhe genérico do alojamento de animais positivos**

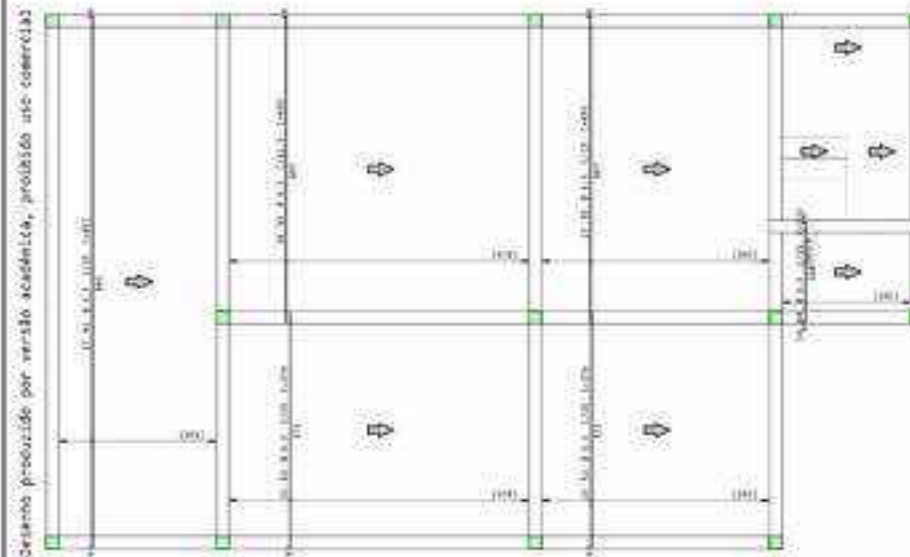


Nome:	KLEBER ENRIQUE DA SILVA SOBRINHO	Nº 1
RG:	PROJETO - TRABALHO DE CONCLUSÃO	Nº 1
CPF:	0001	
Endereço:	889	
Térreo - Arradura negativa secundária	Nº 1	
Térreo - Arradura positiva principal	00	
00/00/2004	00/00/2004	

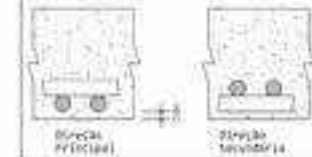
ESTUDO - NÃO EXECUTAR

Térreo - Armadura positiva secundaria

12



### Datilhe genérico do algoritmo de armaduras positivas



ACQ	PNS	CAT	QUANT	COMBINATIONS	
				UNIT	TOTAL
1000	1000	1000	1000	1000	1000
1000	1000	1000	1000	1000	1000
1000	1000	1000	1000	1000	1000
1000	1000	1000	1000	1000	1000

KESUP-22-AED			
400	337	1006	762
100	13	10	16
2450 Total	300	100	11238

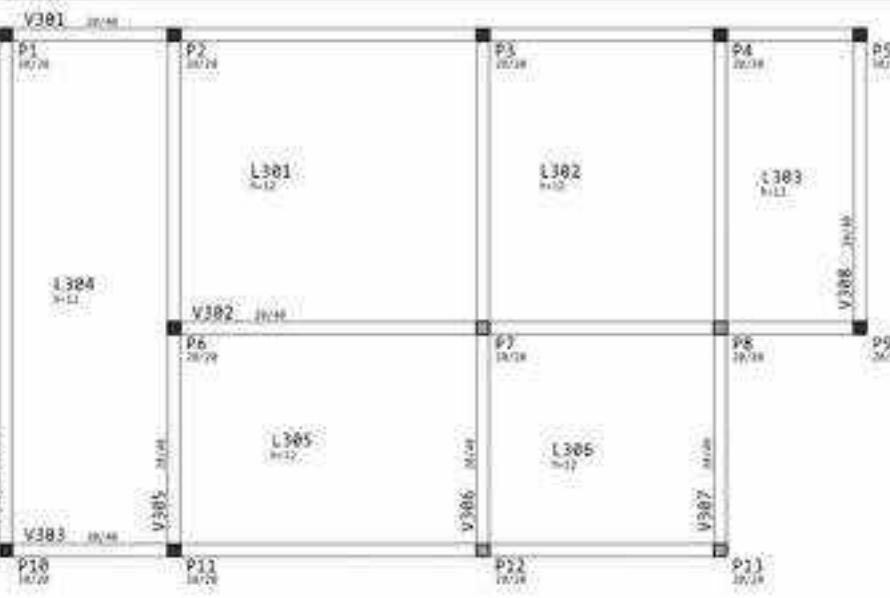
0001	KLEBER ENRIQUE DA SILVA SOBRINHO PROJETO - TRABALHO DE CONCLUSÃO DE CURSO 010
00	Terceiro - Armadura positiva secundária
00	10/10/2004 11:00 0001 0001 0001

ESTUDO - NÃO EXECUTAR

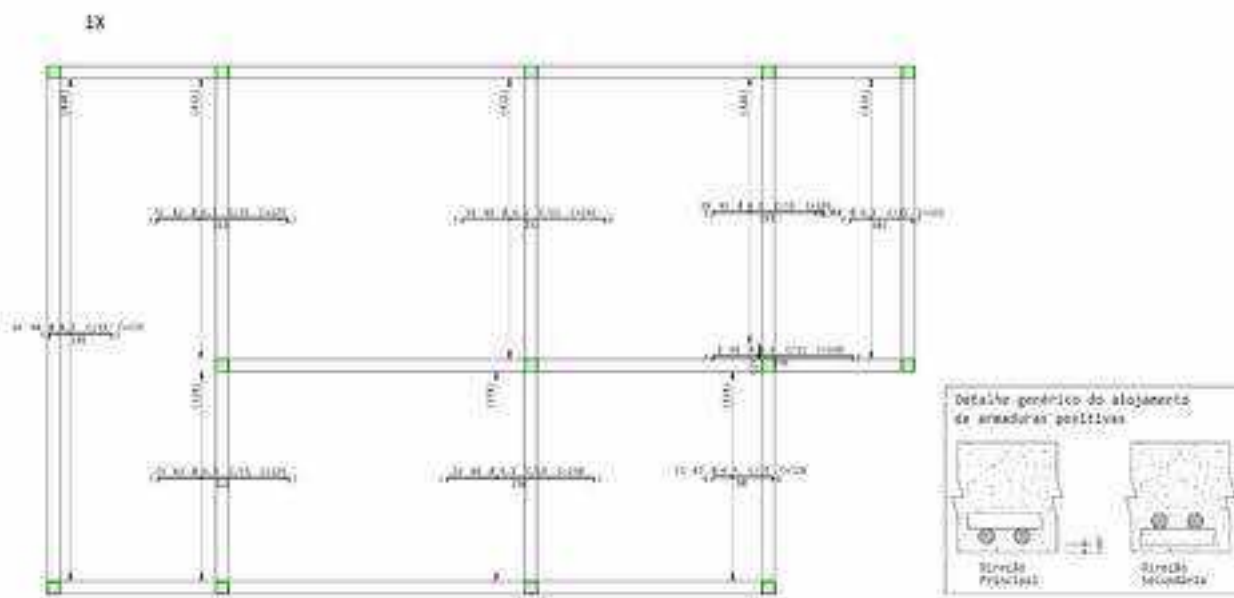
ESTUDO - NÃO EXECUTAR

Passinho produzido com versão arcaica não é uso corrente

卷之三



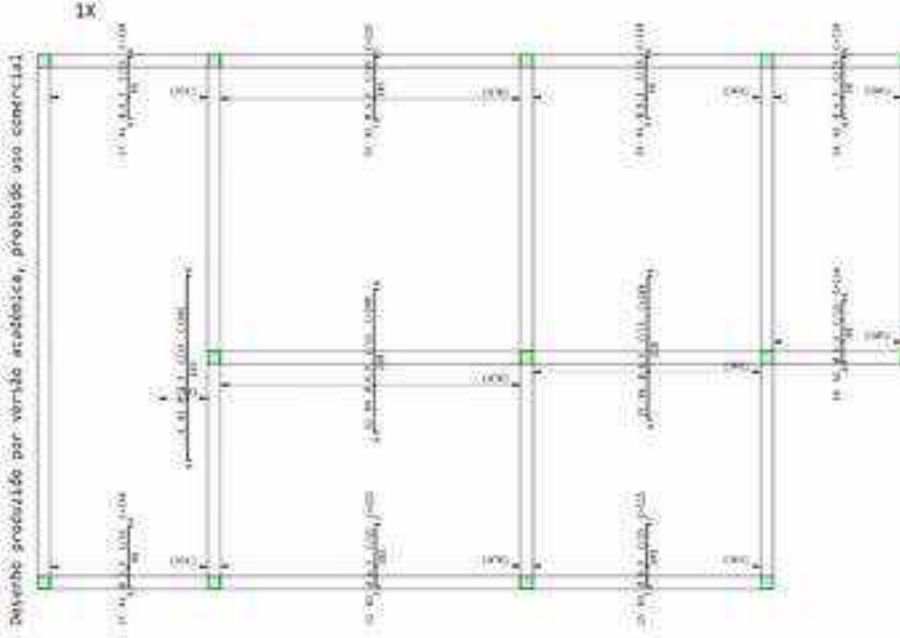
### Cobertura - Armadura negativa principal



00001	0001
11-21-94	
EE - Pela Ms	
KLEBER ENRIQUE DA SILVA SOBRINHO	
PROJETO - TRABALHO DE CONCLUSÃO	01
01	CHAMADO
Entrega - Apresentação negativa principal	
00	
11-21-94	
11-21-94	
11-21-94	

## ESTUDO - NÃO EXECUTAR

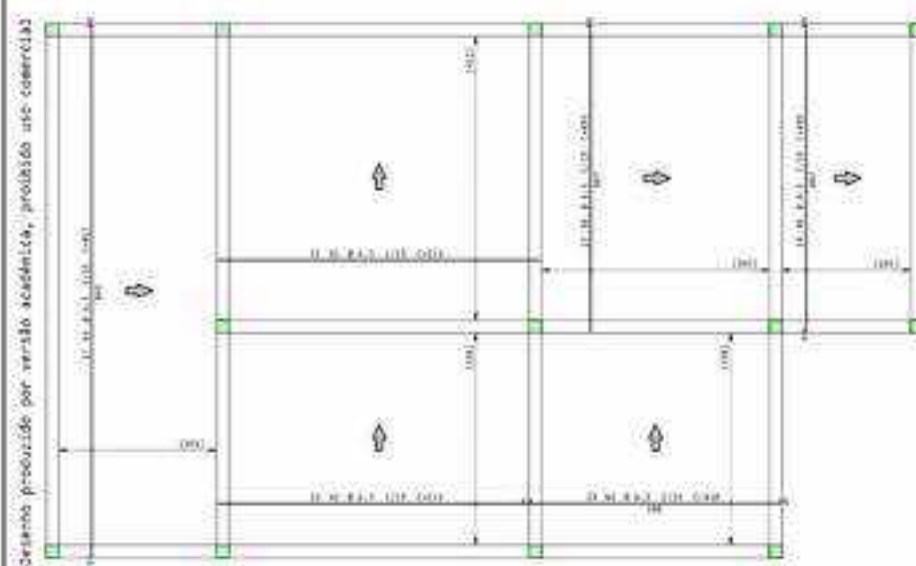
### Cobertura - Armadura negativa secundaria



AÇO	VIT	VIT	QUANT	CONTRIBUÍ	UNID	TOTAL
Cobertura - Armadura negativa secundaria						
A.1.1	1.00	1.00	1.00	100	kg	100
A.1.2	1.00	1.00	1.00	100	kg	100
A.1.3	1.00	1.00	1.00	100	kg	100
A.1.4	1.00	1.00	1.00	100	kg	100
A.1.5	1.00	1.00	1.00	100	kg	100
A.1.6	1.00	1.00	1.00	100	kg	100
A.1.7	1.00	1.00	1.00	100	kg	100
A.1.8	1.00	1.00	1.00	100	kg	100
A.1.9	1.00	1.00	1.00	100	kg	100
A.1.10	1.00	1.00	1.00	100	kg	100
A.1.11	1.00	1.00	1.00	100	kg	100
A.1.12	1.00	1.00	1.00	100	kg	100
A.1.13	1.00	1.00	1.00	100	kg	100
A.1.14	1.00	1.00	1.00	100	kg	100
A.1.15	1.00	1.00	1.00	100	kg	100
A.1.16	1.00	1.00	1.00	100	kg	100
A.1.17	1.00	1.00	1.00	100	kg	100
A.1.18	1.00	1.00	1.00	100	kg	100
A.1.19	1.00	1.00	1.00	100	kg	100
A.1.20	1.00	1.00	1.00	100	kg	100
A.1.21	1.00	1.00	1.00	100	kg	100
A.1.22	1.00	1.00	1.00	100	kg	100
A.1.23	1.00	1.00	1.00	100	kg	100
A.1.24	1.00	1.00	1.00	100	kg	100
A.1.25	1.00	1.00	1.00	100	kg	100
A.1.26	1.00	1.00	1.00	100	kg	100
A.1.27	1.00	1.00	1.00	100	kg	100
A.1.28	1.00	1.00	1.00	100	kg	100
A.1.29	1.00	1.00	1.00	100	kg	100
A.1.30	1.00	1.00	1.00	100	kg	100
A.1.31	1.00	1.00	1.00	100	kg	100
A.1.32	1.00	1.00	1.00	100	kg	100
A.1.33	1.00	1.00	1.00	100	kg	100
A.1.34	1.00	1.00	1.00	100	kg	100
A.1.35	1.00	1.00	1.00	100	kg	100
A.1.36	1.00	1.00	1.00	100	kg	100
A.1.37	1.00	1.00	1.00	100	kg	100
A.1.38	1.00	1.00	1.00	100	kg	100
A.1.39	1.00	1.00	1.00	100	kg	100
A.1.40	1.00	1.00	1.00	100	kg	100
A.1.41	1.00	1.00	1.00	100	kg	100
A.1.42	1.00	1.00	1.00	100	kg	100
A.1.43	1.00	1.00	1.00	100	kg	100
A.1.44	1.00	1.00	1.00	100	kg	100
A.1.45	1.00	1.00	1.00	100	kg	100
A.1.46	1.00	1.00	1.00	100	kg	100
A.1.47	1.00	1.00	1.00	100	kg	100
A.1.48	1.00	1.00	1.00	100	kg	100
A.1.49	1.00	1.00	1.00	100	kg	100
A.1.50	1.00	1.00	1.00	100	kg	100
A.1.51	1.00	1.00	1.00	100	kg	100
A.1.52	1.00	1.00	1.00	100	kg	100
A.1.53	1.00	1.00	1.00	100	kg	100
A.1.54	1.00	1.00	1.00	100	kg	100
A.1.55	1.00	1.00	1.00	100	kg	100
A.1.56	1.00	1.00	1.00	100	kg	100
A.1.57	1.00	1.00	1.00	100	kg	100
A.1.58	1.00	1.00	1.00	100	kg	100
A.1.59	1.00	1.00	1.00	100	kg	100
A.1.60	1.00	1.00	1.00	100	kg	100
A.1.61	1.00	1.00	1.00	100	kg	100
A.1.62	1.00	1.00	1.00	100	kg	100
A.1.63	1.00	1.00	1.00	100	kg	100
A.1.64	1.00	1.00	1.00	100	kg	100
A.1.65	1.00	1.00	1.00	100	kg	100
A.1.66	1.00	1.00	1.00	100	kg	100
A.1.67	1.00	1.00	1.00	100	kg	100
A.1.68	1.00	1.00	1.00	100	kg	100
A.1.69	1.00	1.00	1.00	100	kg	100
A.1.70	1.00	1.00	1.00	100	kg	100
A.1.71	1.00	1.00	1.00	100	kg	100
A.1.72	1.00	1.00	1.00	100	kg	100
A.1.73	1.00	1.00	1.00	100	kg	100
A.1.74	1.00	1.00	1.00	100	kg	100
A.1.75	1.00	1.00	1.00	100	kg	100
A.1.76	1.00	1.00	1.00	100	kg	100
A.1.77	1.00	1.00	1.00	100	kg	100
A.1.78	1.00	1.00	1.00	100	kg	100
A.1.79	1.00	1.00	1.00	100	kg	100
A.1.80	1.00	1.00	1.00	100	kg	100
A.1.81	1.00	1.00	1.00	100	kg	100
A.1.82	1.00	1.00	1.00	100	kg	100
A.1.83	1.00	1.00	1.00	100	kg	100
A.1.84	1.00	1.00	1.00	100	kg	100
A.1.85	1.00	1.00	1.00	100	kg	100
A.1.86	1.00	1.00	1.00	100	kg	100
A.1.87	1.00	1.00	1.00	100	kg	100
A.1.88	1.00	1.00	1.00	100	kg	100
A.1.89	1.00	1.00	1.00	100	kg	100
A.1.90	1.00	1.00	1.00	100	kg	100
A.1.91	1.00	1.00	1.00	100	kg	100
A.1.92	1.00	1.00	1.00	100	kg	100
A.1.93	1.00	1.00	1.00	100	kg	100
A.1.94	1.00	1.00	1.00	100	kg	100
A.1.95	1.00	1.00	1.00	100	kg	100
A.1.96	1.00	1.00	1.00	100	kg	100
A.1.97	1.00	1.00	1.00	100	kg	100
A.1.98	1.00	1.00	1.00	100	kg	100
A.1.99	1.00	1.00	1.00	100	kg	100
A.1.100	1.00	1.00	1.00	100	kg	100
A.1.101	1.00	1.00	1.00	100	kg	100
A.1.102	1.00	1.00	1.00	100	kg	100
A.1.103	1.00	1.00	1.00	100	kg	100
A.1.104	1.00	1.00	1.00	100	kg	100
A.1.105	1.00	1.00	1.00	100	kg	100
A.1.106	1.00	1.00	1.00	100	kg	100
A.1.107	1.00	1.00	1.00	100	kg	100
A.1.108	1.00	1.00	1.00	100	kg	100
A.1.109	1.00	1.00	1.00	100	kg	100
A.1.110	1.00	1.00	1.00	100	kg	100
A.1.111	1.00	1.00	1.00	100	kg	100
A.1.112	1.00	1.00	1.00	100	kg	100
A.1.113	1.00	1.				

Cobertura - Armadura positiva secundaria

Sistema produzido por vento acidental, produzido ate determina



Nome:	0001
RA:	
DATA:	
KLEBER ENRIQUE DA SILVA SOBRINHO	
PROJETO - TRABALHO DE CONCLUSÃO DO CURSO	
013	
Cobertura - Estrutura positiva recorrente	
00	
RA:	
DATA:	
PERÍODO:	

ESTUDO - NÃO EXECUTAR

ESTUDO - MÃO EXECUTAR

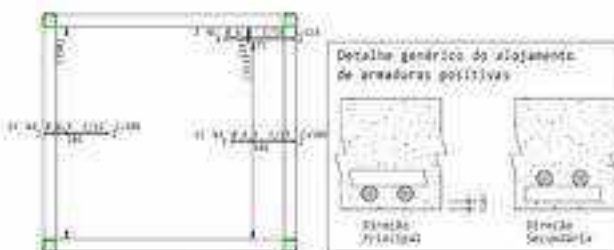
CULTIVANDO PROJETOS PELA MELHOR FORMAÇÃO PROFESSORIAL

ESTUDO - MÃO EXECUTAR

CULTIVANDO TRADICIONES PARA NUESTRO MUNDO ACTUAL 2010 CONFERENCIA

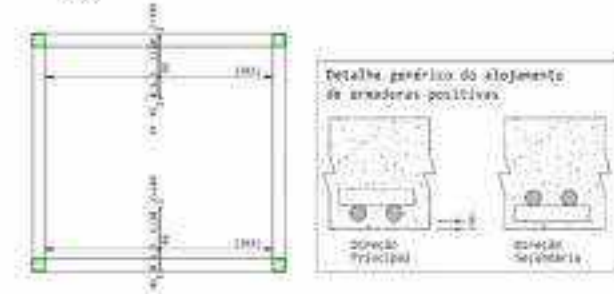
### Caixa d'água - Armadura negativa principal

1



### **Caixa d'água - Armadura negativa secundaria**

14



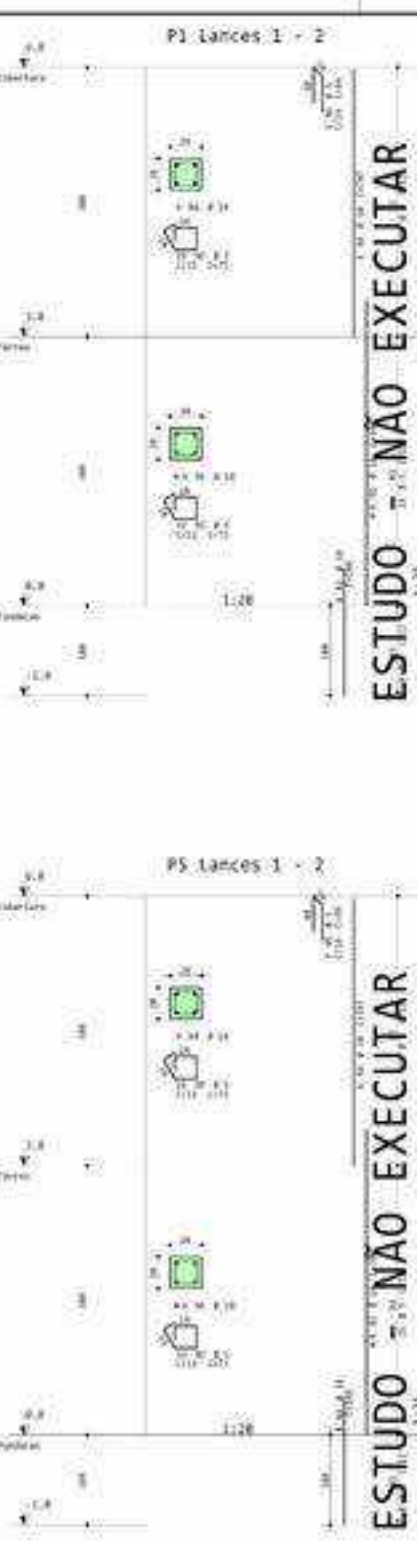
<b>ESTUDO - NÃO EXECUTAR</b> <small>Indica a existência de versões alternativas, quando houver, para o projeto.</small>	<p><b>Caixa d'água - Armadura positiva principal</b></p> <p>IX</p> <table border="1"> <thead> <tr> <th>A.G</th> <th>P.W.</th> <th>E.I.</th> <th>Q.W.M.T.</th> <th>Q.W.F.T.</th> <th>Total</th> </tr> </thead> <tbody> <tr> <td>Caixa d'água - Armadura positiva principal</td> <td>44</td> <td>44</td> <td>333</td> <td>333</td> <td>666</td> </tr> <tr> <td>Caixa d'água - Armadura positiva secundária</td> <td>34</td> <td>34</td> <td>222</td> <td>222</td> <td>444</td> </tr> </tbody> </table> <p><b>Caixa d'água - Armadura positiva secundária</b></p> <p>IX</p> <table border="1"> <thead> <tr> <th>A.G</th> <th>P.W.</th> <th>E.I.</th> <th>Q.W.M.T.</th> <th>Q.W.F.T.</th> <th>Total</th> </tr> </thead> <tbody> <tr> <td>Caixa d'água - Armadura positiva secundária</td> <td>44</td> <td>44</td> <td>333</td> <td>333</td> <td>666</td> </tr> <tr> <td>Peso Total</td> <td>888</td> <td>888</td> <td>666</td> <td>666</td> <td>1332</td> </tr> <tr> <td>Peso Total</td> <td>888</td> <td>888</td> <td>666</td> <td>666</td> <td>1332</td> </tr> </tbody> </table> <div style="text-align: right;"> <span style="border: 1px solid black; padding: 2px;">0001</span>   <b>KLEBER ENRIQUE DA SILVA SOBRINHO</b>  <b>PROJETO - TRABALHO DE CONCLUSÃO DE CURSO</b>  <span style="border: 1px solid black; padding: 2px;">015</span> </div> <div style="text-align: right; margin-top: 20px;">     Caixa d'água - Armadura positiva principal      Caixa d'água - Armadura positiva secundária      00   </div>	A.G	P.W.	E.I.	Q.W.M.T.	Q.W.F.T.	Total	Caixa d'água - Armadura positiva principal	44	44	333	333	666	Caixa d'água - Armadura positiva secundária	34	34	222	222	444	A.G	P.W.	E.I.	Q.W.M.T.	Q.W.F.T.	Total	Caixa d'água - Armadura positiva secundária	44	44	333	333	666	Peso Total	888	888	666	666	1332	Peso Total	888	888	666	666	1332
A.G	P.W.	E.I.	Q.W.M.T.	Q.W.F.T.	Total																																						
Caixa d'água - Armadura positiva principal	44	44	333	333	666																																						
Caixa d'água - Armadura positiva secundária	34	34	222	222	444																																						
A.G	P.W.	E.I.	Q.W.M.T.	Q.W.F.T.	Total																																						
Caixa d'água - Armadura positiva secundária	44	44	333	333	666																																						
Peso Total	888	888	666	666	1332																																						
Peso Total	888	888	666	666	1332																																						

ESTUDO - NÃO EXECUTAR

ESTUDO - NÃO EXECUTAR

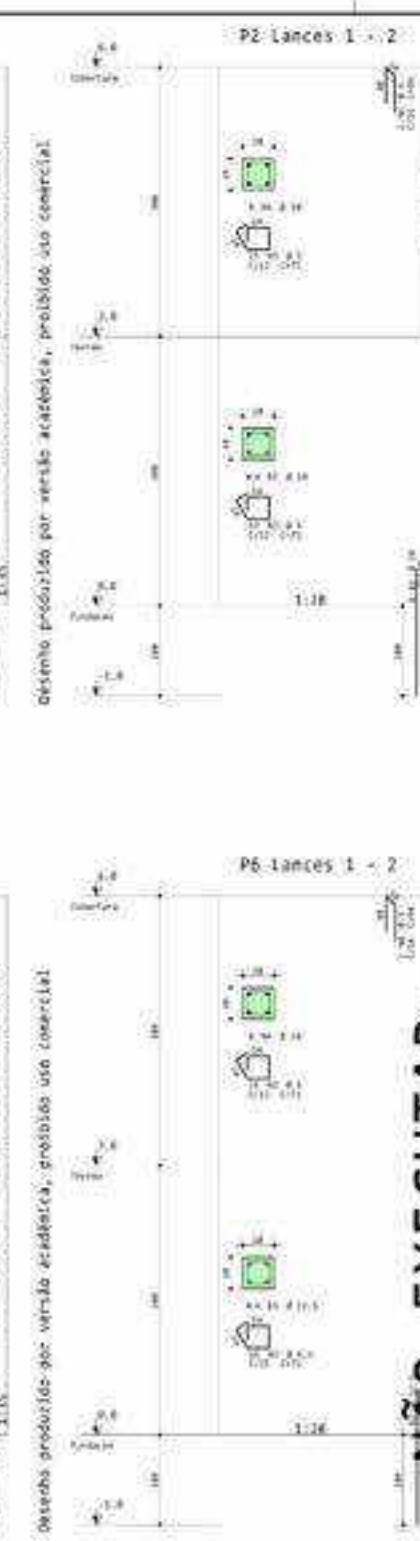
Digitized by srujanika@gmail.com

Dos leões que visitaram a árvore, ficaram usos comestíveis.



ESTUDO NÃO EXECUTAR

**ESTUDO** **NÃO EXECUTAR**



卷之三

卷之三



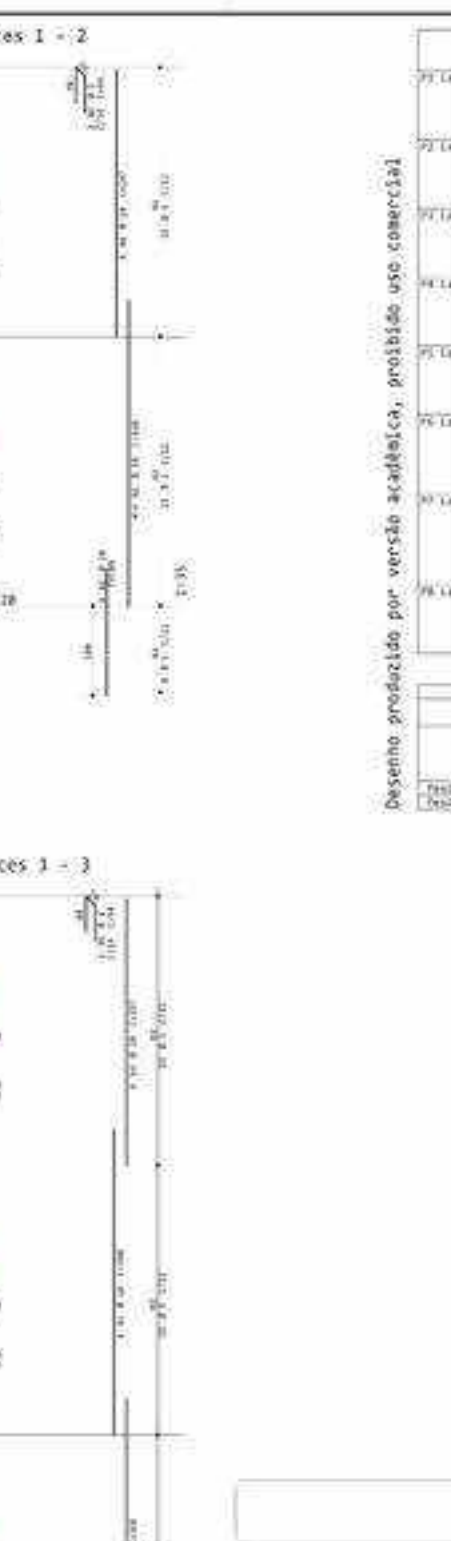
1520

1520



200

200



NR 1 QU  
- TRA

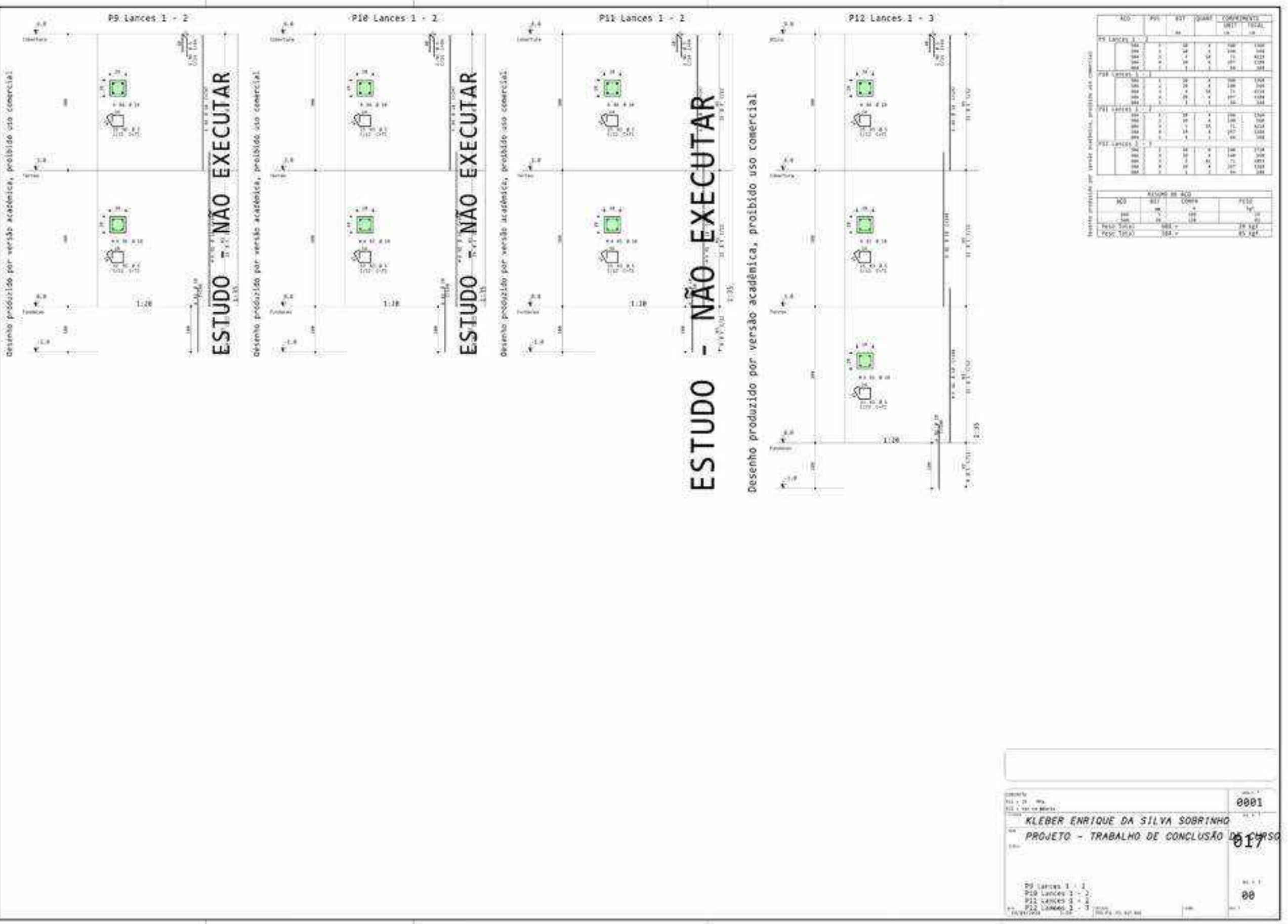
NR 1 QU - TRA



Desenho produzido por versão acadêmica, proibido uso comercial

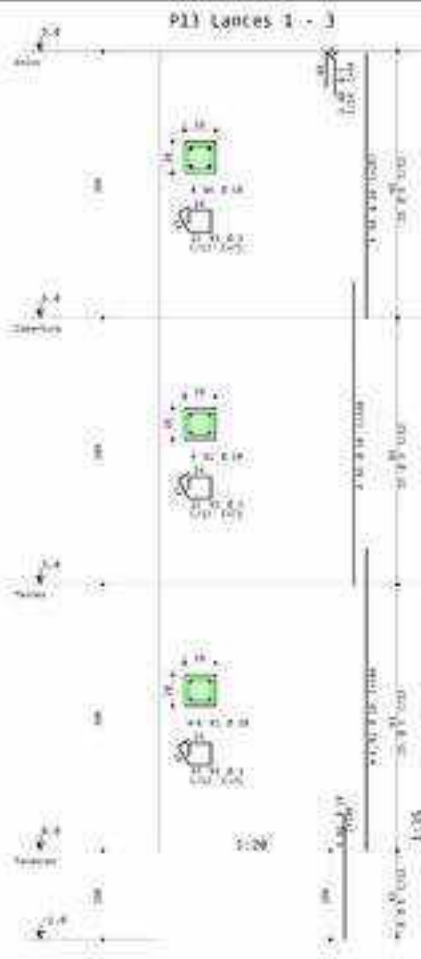
ENRIQUE DA SILVA SOBRINHO	0001
- TRABALHO DE CONCLUSÃO DE CURSO	
010	
M. C. 1	00

## ESTUDO - NÃO EXECUTAR



ESTUDO - NÃO EXECUTAR

Desenho produzido por versão acadêmica, proibido uso comercial



ROUND 21 AND			
ADP	STL	TOTAL	PPG
100	-	-	50
100	10	10	4
100	10	10	4
Total ADP	200 -	-	100
Total Total	100 -	-	50

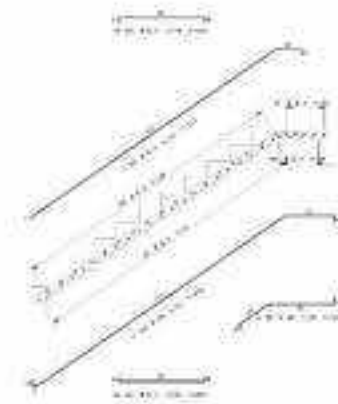
## ESTUDO - NÃO EXECUTAR

Desenho produzido por versão acadêmica, proibido uso comercial

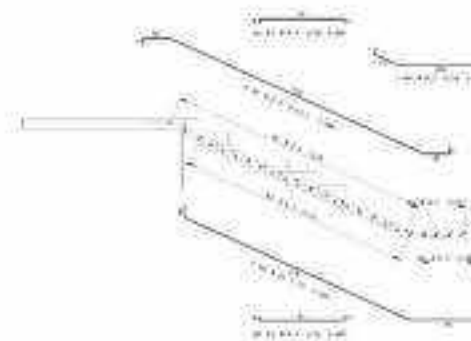
Planta Escada-1 - Térreo



Corte A-A



Corte B-B



0001	KLEBER ENRIQUE DA SILVA SOBRINHO
01950	PROJETO - TRABALHO DE CONCLUSÃO
0001	Planta Escada - Térreo
0001	0001

**APÊNDICE B – MEMORIAL SIMPLIFICADO DESCRIPTIVO E DE CÁLCULO**



## MEMORIAL SIMPLIFICADO DESCRITIVO E DE CÁLCULO

Elaborado por:

TQS VERSÃO EDUCACIONAL NÃO COMERCIAL

USO NÃO PERMITIDO EM PROJETOS COMERCIAIS




 Índice

<b>DESCRÍÇÃO DO EDIFÍCIO</b>	6
Corte esquemático	6
Localização	6
Perspectivas da estrutura	6
<b>NORMA EM USO</b>	6
<b>SOFTWARE UTILIZADO</b>	6
<b>MATERIAIS</b>	6
Concreto	6
Módulo de elasticidade	7
Aço de armadura passiva	7
Aço de armadura ativa	7
<b>PARÂMETRO DE DURABILIDADE</b>	7
Classe de agressividade	7
Cobrimentos gerais	7
Cobrimentos diferenciados por pavimentos	8
<b>AÇÕES E COMBINAÇÕES</b>	8
Carga vertical	8
Vento	8
Desaprumo global	9
Empuxo	9
Incêndio	9
Cargas adicionais	9
Carregamentos nos pavimentos	9
Resumo de combinações no modelo global	9
Lista de combinações no modelo global	10
<b>MODELO ESTRUTURAL</b>	10
Explicações	10
Modelo estrutural dos pavimentos	11
Modelo estrutural global	11
Critérios de projeto	11
Modelo ELU	12
Modelo ELS	12
Consideração das fundações	12
Modelo 3D	12

**Índice**

Esforços de cálculo.....	12
<b>ESTABILIDADE GLOBAL.....</b>	<b>12</b>
Listagem completa dos parâmetros de instabilidade .....	13
Classificação da estrutura .....	14
<b>COMPORTAMENTO EM SERVIÇO - ELS.....</b>	<b>14</b>
Deslocamentos do modelo estrutural global.....	14
Listagem completa dos deslocamentos do modelo global do edifício.....	14
Análise dinâmica do modelo estrutural global .....	15
Flecha máxima dos pavimentos.....	15
Isovalores .....	15
Análise dinâmica dos pavimentos.....	15
<b>PARÂMETROS QUALITATIVOS .....</b>	<b>15</b>
Eslorzo do edifício .....	15
Padronização de elementos .....	16
Densidade de pilares e vãos médios.....	16
<b>MEMORIAL DE CÁLCULO DAS VIGAS.....</b>	<b>17</b>
Relatório geral de vigas.....	17
Legenda.....	17
Fundação .....	17
V101.....	17
V102.....	18
V103.....	18
V104.....	19
V105.....	20
V106.....	20
V107.....	20
V108.....	21
V109.....	21
Térreo.....	22
V201.....	22
V203.....	23
V204.....	23
V205.....	24
V206.....	25

**Índice**

V207.....	25
V208.....	26
V209.....	26
V210.....	27
VE1.....	27
<b>Cobertura.....</b>	<b>27</b>
V301.....	27
V302.....	28
V303.....	29
V304.....	30
V305.....	30
V306.....	31
V307.....	31
V308.....	32
<b>Caixa d'água.....</b>	<b>32</b>
V401.....	32
V403.....	33
V404.....	33
<b>MEMORIAL DE CÁLCULO DOS PILARES.....</b>	<b>35</b>
Listagem de resultados por pilar.....	35
Legenda.....	35
P1.....	35
P10.....	35
P11.....	36
P12.....	36
P13.....	37
P2.....	37
P3.....	37
P4.....	38
P5.....	38
P6.....	38
P7.....	39
P8.....	39
P9.....	40

**Índice**

Seleção de bitolas de pilares.....	40
Legenda.....	40
P1.....	40
P10.....	40
P11.....	41
P12.....	41
P13.....	41
P2.....	41
P3.....	41
P4.....	41
P5.....	41
P6.....	42
P7.....	42
P8.....	42
P9.....	42
MEMORIAL DE CÁLCULO DAS FUNDÇÕES.....	43
Legenda.....	43
CRITÉRIOS PROJETO - GERENCIADOS.....	44
Critérios gerais.....	44
Ações.....	44
Análise Estrutural.....	45
Dimensionamento, detalhamento e desenho.....	47
Critérios do PREO.....	51
Modelagem.....	51
Detalhamento Geral.....	52
Detalhamento Vigas.....	52
Detalhamento Pilares.....	52
Detalhamento consoles.....	53
FIGURAS COMPLEMENTARES .....	54

**Memorial Descritivo - PROJETO - TRABALHO DE CONCLUSÃO DE CURSO**

### **DESCRÍÇÃO DO EDIFÍCIO**

O edifício PROJETO - TRABALHO DE CONCLUSÃO DE CURSO é constituído por 3 pavimentos: 0 pavimentos de subsolo; 0 térreo(s); 2 pavimentos intermediários/típos; 0 pavimentos de cobertura; 1 pavimento para o ático. A seguir é apresentado um quadro com detalhes de cada um destes pavimentos.

Pavimentos	Piso a Piso (m)	Cota (m)	Área (m²)
Caixa d'água	3,00	9,00	15,21
Cobertura	3,00	6,00	110,60
Térreo	3,00	3,00	111,01
Fundação	0,00	0,00	14,53
<b>TOTAL</b>	—	—	251,35

A altura total do edifício é de 9,0 m.

#### **Corte esquemático:**

A seguir é apresentado um corte esquemático do edifício. Nele é possível visualizar as distâncias entre pavimento, cotas e nomenclaturas utilizadas:

#PARA COMPLETAR O TEXTO, ADICIONE TEXTOS, FIGURAS E/OU TABELAS AQUI.

#### **Localização:**

O país onde o edifício está localizado é: Brasil

#PARA COMPLETAR O TEXTO, ADICIONE TEXTOS, FIGURAS E/OU TABELAS AQUI.

#### **Perpectivas da estrutura**

#PARA COMPLETAR O TEXTO, ADICIONE TEXTOS, FIGURAS E/OU TABELAS AQUI.

### **NORMA EM USO**

Na análise, dimensionamento e detalhamento dos elementos estruturais deste edifício foram utilizadas as prescrições indicadas pelas seguintes normas:

**NBR-6118-2023**

### **SOFTWARE UTILIZADO**

Para a análise estrutural e dimensionamento e detalhamento estrutural foi utilizado o sistema TQS na versão V24.6.21.

### **MATERIAIS**

#### **Concreto:**

A seguir são apresentados os valores de  $f_{ck}$  utilizados para cada um dos elementos estruturais, para cada um dos pavimentos:

**Memorial Descritivo - PROJETO - TRABALHO DE CONCLUSÃO DE CURSO**

Pavimento	Lojas (MPa)	Vígas (MPa)	Fundações (MPa)
Caixa d'água	25	25	25
Cobertura	25	25	25
Térreo	25	25	25
Fundação	25	25	25

Piso	Pavimento	fck do pilar (MPa)
3	Caixa d'água	25
2	Cobertura	25
1	Térreo	25
0	Fundação	25

**Aço de elasticidade**

O módulo de elasticidade utilizado para cada um dos concretos utilizados é listado a seguir:

	AfetaE	Ecs (MPa)	Eci(MPa)	Gc(MPa)
C0	1	0	0	0
C25	1	24150	28000	10063

**Aço de armadura passiva**

Foram utilizadas as seguintes características para o aço estrutural utilizado no projeto:

Tipo de barra	Es (MPa)	fyk (MPa)	Massa específica (kgf/m³)	n1
CA-25	210000	250	7850	1,00
CA-50	210000	500	7850	2,25
CA-60	210000	600	7850	1,40

**Aço de armadura ativa**

Foram utilizadas as seguintes características para o aço estrutural utilizado no projeto:

Tipo de barra	Ep (MPa)	fpyk (MPa)	fptk (MPa)	Massa específica (kgf/m³)	n2
CP190-12,7	200000	1750	1900	7850	1,0

**PARÂMETRO DE DURABILIDADE**

**Classe de agressividade**

Para o dimensionamento e detalhamento dos elementos estruturais foi considerada a seguinte Classe de Agressividade Ambiental no projeto:

**Cobrimentos gerais**

A definição dos cobrimentos foi feita com base na Classe de Agressividade Ambiental definida anteriormente.

**Memorial Descritivo - PROJETO - TRABALHO DE CONCLUSÃO DE CURSO**

A seguir são apresentados os valores de cobrimento utilizados para os diversos elementos estruturais existentes no projeto:

Elemento Estrutural	Cobrimento (cm)
Lajes convencionais (superior / inferior)	2,5 / 2,5
Lajes protendidas (superior / inferior)	3,5 / 3,5
Vigas	3,0
Pilares	3,0
Fundações	3,0

**Cobrimentos diferenciados por pavimentos**

A seguir são apresentados os valores de cobrimentos diferenciados utilizados nos pavimentos. Caso os valores apresentados sejam zero (0), o valor geral foi utilizado:

Pavimento	Vigas (cm)	Laje Inf. (cm)	Laje Sup. (cm)	Laje Prot. Inf. (cm)	Laje Prot. Sup. (cm)
Caixa d'água	0,0	0,0	0,0	0,0	0,0
Cobertura	0,0	0,0	0,0	0,0	0,0
Térreo	0,0	0,0	0,0	0,0	0,0
Fundação	0,0	0,0	0,0	0,0	0,0

**AÇÕES E COMBINAÇÕES**

**Carga vertical**

A seguir são apresentadas as cargas médias utilizadas em cada um dos pavimentos para o dimensionamento da estrutura.

A carga média de um pavimento é a razão entre as todas as cargas verticais características (peso-próprio, permanentes ou acidentais) pela área total estimada do pavimento.

Pavimento	Peso Próprio ( $t/m^2$ )	Permanente ( $t/m^2$ )	Acidental ( $t/m^2$ )
Caixa d'água	0,36	0,01	0,08
Cobertura	0,41	0,04	0,09
Térreo	0,42	0,39	0,26
Fundação	1,11	1,79	0,05

As cargas apresentadas foram obtidas do modelo dos pavimentos e não apresentam o peso próprio dos pilares.

**Vento**

A seguir são apresentados os fatores de cálculo utilizados para definição das ações de vento incidentes sobre a estrutura.

- Velocidade básica: 30 m/s;
- Fator topográfico (S1): 1,0;

**Memorial Descritivo - PROJETO - TRABALHO DE CONCLUSÃO DE CURSO**

- Categoria de rugosidade (S2): II - Terrenos abertos com poucos obstáculos: Árvores, edificações baixas, zonas costeiras, vegetação rala, pradaria;
- A - Maior dimensão horizontal ou vertical < 20,0 m;
- Fator estatístico (S3): 1,10 - Edificações onde se exige maior segurança. Hospitais, quartéis, forças de segurança, comunicação, etc.

Na tabela que se segue são apresentados os valores de coeficiente de arrasto, área de projeção do edifício e pressão calculada com os fatores apresentados anteriormente:

Caso	Ângulo (°)	Coef. arrasto	Área ( $m^2$ )	Pressão ( $t/m^2$ )
5	90	1,00	95,8	0,056
6	270	1,00	95,8	0,056
7	0	1,00	62,3	0,056
8	180	1,00	62,3	0,056
9	45	1,00	102,3	0,056

#### Desaprumo global

Nenhum caso de desaprumo global foi considerado na análise estrutural do edifício.

#### Empuxo

Nenhum caso de empuxo foi considerado na análise estrutural do edifício.

#### Incêndio

TRRF: 120,0

#### Cargas adicionais

Nenhum caso adicional foi considerado na análise estrutural do edifício.

#### Carregamentos nos pavimentos

Outros carregamentos considerados nos modelos dos pavimentos são apresentados a seguir:

Pavimento	Temperatura	Retração	Protensão	Dinâmico
Caixa d'água	Não	Não	Não	Não
Cobertura	Não	Não	Não	Não
Térreo	Não	Não	Não	Não
Fundação	Não	Não	Não	Não

#### Resumo de combinações no modelo global

No modelo estrutural global foram consideradas as seguintes combinações:

Tipo	Descrição	N. Combinações
ELU1	Verificações de estado limite último - Vigas e lajes	24
ELU2	Verificações de estado limite último - Pilares e fundações	24
FOGO	Verificações em situação de incêndio	2
ELS	Verificações de estado limite de serviço	14
COMBFLU	Cálculo de fluência (método geral)	2

Memorial Descritivo - PROJETO - TRABALHO DE CONCLUSÃO DE CURSO

LAJEPRO Combinacões p/ flechas em lajes protendidas 0

**Lista de combinações no modelo global**

No modelo estrutural global foram consideradas as seguintes combinações:

## MODELO ESTRUTURAL

### **Explicación**

Na análise estrutural do edifício foi utilizado o 'Modelo 4' do sistema TQS. Este modelo consiste em dois modelos de cálculo:

- Modelo de grelha para os pavimentos;
  - Modelo de pórtico espacial para a análise global.

O edifício será modelado por um único pórtico espacial mais os modelos dos pavimentos. O pórtico será composto apenas por barras que simulam as vigas e pilares da estrutura, com o efeito de diafragma rígido das lajes devidamente incorporado ao modelo. Os efeitos oriundos das ações verticais e horizontais nas vigas e pilares serão calculados com o pórtico espacial.

Nas lajes, somente os efeitos gerados pelas ações verticais serão calculados. Nos pavimentos simulados por grelha de lajes, os esforços resultantes das barras de lajes sobre as vigas serão transferidos como cargas para o pôrtico espacial, ou seja, há uma 'certa' integração entre ambos os modelos (pôrtico e grelha). Para os demais tipos de modelos de pavimentos, as cargas das lajes serão transferidas para o pôrtico por meio de pinhões de carga.

Tratamento especial para vigas de transição e que suportam tirantes pode ter sido considerado e são apontados no item 'Critérios de projeto'. A flexibilização das ligações viga-pilar, a separação de modelos

**Memorial Descritivo - PROJETO - TRABALHO DE CONCLUSÃO DE CURSO**

específicos para análises ELU e ELS e os coeficientes de não-linearidade física também são apontados a seguir.

**Modelo estrutural dos pavimentos**

A análise do comportamento estrutural dos pavimentos foi realizada através de modelos de grelha ou pórtico plano. Nestes modelos as lajes foram integralmente consideradas, junto com as vigas e os apoios formados pelos pilares existentes.

A seguir são apresentados o tipo de modelo estrutural utilizado em cada um dos pavimentos:

Pavimento	Descrição do Modelo	Modelo Estrutural
Caixa d'água	Modelo de lajes planas	Grelha (3 graus de liberdade)
Cobertura	Modelo de lajes planas	Grelha (3 graus de liberdade)
Térreo	Modelo de lajes planas	Pórtico (6 graus de liberdade)
Fundação	Modelo de lajes planas	Pórtico (6 graus de liberdade)

Os esforços obtidos dos modelos estruturais dos pavimentos foram utilizados para o dimensionamento das lajes à flexão e cisalhamento.

Nestes modelos foi utilizado o módulo de elasticidade secante do concreto. A seguir são apresentados os valores utilizados para cada um dos pavimentos:

Pavimento	Módulo de elasticidade adotado (MPa)
Caixa d'água	24150
Cobertura	24150
Térreo	24150
Fundação	24150

**Modelo estrutural global**

No modelo de pórtico foram incluídos todos os elementos principais da estrutura, ou seja, pilares e vigas, além da consideração do diafragma rígido formado nos planos de cada pavimento (lajes). A rigidez à flexão das lajes foi desprezada na análise de esforços horizontais (vento).

Os pórticos espaciais foram modelados com todos os pavimentos do edifício, para a avaliação dos efeitos das ações horizontais e os efeitos de redistribuição de esforços em toda a estrutura devido aos carregamentos verticais.

As cargas verticais atuantes nas vigas e pilares do pórtico foram extraídas de modelos de grelha de cada um dos pavimentos.

Foram utilizados dois modelos de pórtico espacial em cada etapa construtiva; um específico para análises de Estado Limite Último - ELU e outro para o Estado Limite de Serviço - ELS. As características de cada um destes modelos são apresentadas a seguir.

**Critérios de projeto**

A seguir são apresentadas algumas considerações de projeto utilizadas para a análise estrutural do edifício em questão:

#### Memorial Descritivo - PROJETO - TRABALHO DE CONCLUSÃO DE CURSO

- Flexibilização das ligações viga/pilar : Sim;
- Modelo enrijecido para viga de transição: Sim
- Método para análise de 2<sup>a</sup>. Ordem global: GammaZ
- Análise por efeito incremental: Não
- Análise com interação fundação-estrutura: Não

#### Modelo ELU

O modelo ELU foi utilizado para obtenção dos esforços necessários para o dimensionamento e detalhamento dos elementos estruturais.

Nos elementos de concreto-moldado in-loco foram utilizados os coeficientes de não-linearidade física conforme apresentados na tabela a seguir:

Elemento estrutural Moldado in-loco	Coef. NLF
Pilares	0,80
Vigas	0,40
Lajes	0,30

O módulo de elasticidade utilizado no modelo foi o secante, de acordo com o fck do elemento estrutural (já apresentado anteriormente).

#### Modelo ELS

O modelo ELS foi utilizado para análise de deslocamento do edifício. Neste modelo a inércia utilizada para os elementos estruturais foi a bruta.

#### Consideração das fundações

Todas as fundações foram consideradas rigidamente conectadas à base.

#### Modelo 3D

**PARA COMPLETAR O TEXTO, ADICIONE TEXTOS E FIGURAS AQUI.**

#### Esfôrços de cálculo

Os esforços obtidos na análise de pórtico foram utilizados para o dimensionamento dos elementos estruturais.

No dimensionamento das armaduras das vigas é utilizada uma envoltória de esforços solicitantes de todas as combinações pertencentes ao grupo ELU1. Para o dimensionamento de armaduras dos pilares são utilizadas todas as hipóteses de solicitações (combinações do grupo ELU2); neste conjunto de combinações são aplicadas as reduções de sobrecarga, caso o projeto esteja utilizando este artifício.

#### ESTABILIDADE GLOBAL

A seguir são apresentados os principais parâmetros de instabilidade obtidos da análise estrutural do edifício.

Parâmetro	Valor
GammaZ	1,07

**Memorial Descritivo - PROJETO - TRABALHO DE CONCLUSÃO DE CURSO**

<b>FAVt</b>	1,07
<b>Alfa</b>	0,72

Ná tabela anterior são apresentados somente os valores máximos obtidos para os coeficientes:

GamaZ é o parâmetro para avaliação da estabilidade de uma estrutura. Ele NÃO considera os deslocamentos horizontais provocados pelas cargas verticais (calculado p/ casos de vento), conforme definido no item 15.5.3 da NBR 6118.

FAVt é o fator de amplificação de esforços horizontais que pode considerar os deslocamentos horizontais gerados pelas cargas verticais (calculado p/ combinações ELU com a mesma formulação do GamaZ).

Alfa é o parâmetro de instabilidade de uma estrutura reticulada conforme definido pelo item 15.5.2 da NBR 6118.

**Listagem completa dos parâmetros de instabilidade**

A seguir são apresentados a listagem completa dos parâmetros de instabilidade para as combinações apresentadas anteriormente:

Tabelas de instabilidade para combinações de 100 - viga e telhas									
Caso	Ang	Vtm	Alfa	Outs	Pl	Mpl	GamaZ	Alfa	Outs
1	35	256,7	1,4	0,7	2,0	-0,7	1,000	0,701	0
2	35	256,7	1,4	0,7	2,0	-0,7	1,000	0,701	0
3	35	256,7	1,4	0,7	2,0	-0,7	1,000	0,701	0
4	35	256,7	1,4	0,7	2,0	-0,7	1,000	0,701	0
5	45	259,7	1,0	0,7	2,7	-0,7	1,553	0,704	0
6	45	259,7	1,0	0,7	2,7	-0,7	1,553	0,704	0
7	45	259,7	1,0	0,7	2,7	-0,7	1,553	0,704	0
8	45	259,7	1,0	0,7	2,7	-0,7	1,553	0,704	0
9	45	259,7	1,0	0,7	2,7	-0,7	1,553	0,704	0
10	45	259,7	1,0	0,7	2,7	-0,7	1,553	0,704	0
11	45	259,7	1,0	0,7	2,7	-0,7	1,553	0,704	0
12	45	259,7	1,0	0,7	2,7	-0,7	1,553	0,704	0
13	45	259,7	1,0	0,7	2,7	-0,7	1,553	0,704	0
14	45	259,7	1,0	0,7	2,7	-0,7	1,553	0,704	0
15	45	259,7	1,0	0,7	2,7	-0,7	1,553	0,704	0
16	45	259,7	1,0	0,7	2,7	-0,7	1,553	0,704	0
17	45	259,7	1,0	0,7	2,7	-0,7	1,553	0,704	0
18	45	259,7	1,0	0,7	2,7	-0,7	1,553	0,704	0
19	45	259,7	1,0	0,7	2,7	-0,7	1,553	0,704	0
20	45	259,7	1,0	0,7	2,7	-0,7	1,553	0,704	0
21	45	259,7	1,0	0,7	2,7	-0,7	1,553	0,704	0
22	45	259,7	1,0	0,7	2,7	-0,7	1,553	0,704	0
23	45	259,7	1,0	0,7	2,7	-0,7	1,553	0,704	0
24	45	259,7	1,0	0,7	2,7	-0,7	1,553	0,704	0
25	45	259,7	1,0	0,7	2,7	-0,7	1,553	0,704	0
26	45	259,7	1,0	0,7	2,7	-0,7	1,553	0,704	0
27	45	259,7	1,0	0,7	2,7	-0,7	1,553	0,704	0
28	45	259,7	1,0	0,7	2,7	-0,7	1,553	0,704	0
29	45	259,7	1,0	0,7	2,7	-0,7	1,553	0,704	0
30	45	259,7	1,0	0,7	2,7	-0,7	1,553	0,704	0
31	45	259,7	1,0	0,7	2,7	-0,7	1,553	0,704	0
32	45	259,7	1,0	0,7	2,7	-0,7	1,553	0,704	0
33	45	259,7	1,0	0,7	2,7	-0,7	1,553	0,704	0
34	45	259,7	1,0	0,7	2,7	-0,7	1,553	0,704	0
35	45	259,7	1,0	0,7	2,7	-0,7	1,553	0,704	0
36	45	259,7	1,0	0,7	2,7	-0,7	1,553	0,704	0
37	45	259,7	1,0	0,7	2,7	-0,7	1,553	0,704	0
38	45	259,7	1,0	0,7	2,7	-0,7	1,553	0,704	0
39	45	259,7	1,0	0,7	2,7	-0,7	1,553	0,704	0
40	45	259,7	1,0	0,7	2,7	-0,7	1,553	0,704	0
41	45	259,7	1,0	0,7	2,7	-0,7	1,553	0,704	0
42	45	259,7	1,0	0,7	2,7	-0,7	1,553	0,704	0
43	45	259,7	1,0	0,7	2,7	-0,7	1,553	0,704	0
44	45	259,7	1,0	0,7	2,7	-0,7	1,553	0,704	0
45	45	259,7	1,0	0,7	2,7	-0,7	1,553	0,704	0
46	45	259,7	1,0	0,7	2,7	-0,7	1,553	0,704	0
47	45	259,7	1,0	0,7	2,7	-0,7	1,553	0,704	0
48	45	259,7	1,0	0,7	2,7	-0,7	1,553	0,704	0
49	45	259,7	1,0	0,7	2,7	-0,7	1,553	0,704	0
50	45	259,7	1,0	0,7	2,7	-0,7	1,553	0,704	0
51	45	259,7	1,0	0,7	2,7	-0,7	1,553	0,704	0
52	45	259,7	1,0	0,7	2,7	-0,7	1,553	0,704	0
53	45	259,7	1,0	0,7	2,7	-0,7	1,553	0,704	0
54	45	259,7	1,0	0,7	2,7	-0,7	1,553	0,704	0
55	45	259,7	1,0	0,7	2,7	-0,7	1,553	0,704	0
56	45	259,7	1,0	0,7	2,7	-0,7	1,553	0,704	0
57	45	259,7	1,0	0,7	2,7	-0,7	1,553	0,704	0
58	45	259,7	1,0	0,7	2,7	-0,7	1,553	0,704	0
59	45	259,7	1,0	0,7	2,7	-0,7	1,553	0,704	0
60	45	259,7	1,0	0,7	2,7	-0,7	1,553	0,704	0
61	45	259,7	1,0	0,7	2,7	-0,7	1,553	0,704	0
62	45	259,7	1,0	0,7	2,7	-0,7	1,553	0,704	0
63	45	259,7	1,0	0,7	2,7	-0,7	1,553	0,704	0
64	45	259,7	1,0	0,7	2,7	-0,7	1,553	0,704	0
65	45	259,7	1,0	0,7	2,7	-0,7	1,553	0,704	0
66	45	259,7	1,0	0,7	2,7	-0,7	1,553	0,704	0
67	45	259,7	1,0	0,7	2,7	-0,7	1,553	0,704	0
68	45	259,7	1,0	0,7	2,7	-0,7	1,553	0,704	0
69	45	259,7	1,0	0,7	2,7	-0,7	1,553	0,704	0
70	45	259,7	1,0	0,7	2,7	-0,7	1,553	0,704	0
71	45	259,7	1,0	0,7	2,7	-0,7	1,553	0,704	0
72	45	259,7	1,0	0,7	2,7	-0,7	1,553	0,704	0
73	45	259,7	1,0	0,7	2,7	-0,7	1,553	0,704	0
74	45	259,7	1,0	0,7	2,7	-0,7	1,553	0,704	0
75	45	259,7	1,0	0,7	2,7	-0,7	1,553	0,704	0
76	45	259,7	1,0	0,7	2,7	-0,7	1,553	0,704	0
77	45	259,7	1,0	0,7	2,7	-0,7	1,553	0,704	0
78	45	259,7	1,0	0,7	2,7	-0,7	1,553	0,704	0
79	45	259,7	1,0	0,7	2,7	-0,7	1,553	0,704	0
80	45	259,7	1,0	0,7	2,7	-0,7	1,553	0,704	0
81	45	259,7	1,0	0,7	2,7	-0,7	1,553	0,704	0
82	45	259,7	1,0	0,7	2,7	-0,7	1,553	0,704	0
83	45	259,7	1,0	0,7	2,7	-0,7	1,553	0,704	0
84	45	259,7	1,0	0,7	2,7	-0,7	1,553	0,704	0
85	45	259,7	1,0	0,7	2,7	-0,7	1,553	0,704	0
86	45	259,7	1,0	0,7	2,7	-0,7	1,553	0,704	0
87	45	259,7	1,0	0,7	2,7	-0,7	1,553	0,704	0
88	45	259,7	1,0	0,7	2,7	-0,7	1,553	0,704	0
89	45	259,7	1,0	0,7	2,7	-0,7	1,553	0,704	0
90	45	259,7	1,0	0,7	2,7	-0,7	1,553	0,704	0
91	45	259,7	1,0	0,7	2,7	-0,7	1,553	0,704	0
92	45	259,7	1,0	0,7	2,7	-0,7	1,553	0,704	0
93	45	259,7	1,0	0,7	2,7	-0,7	1,553	0,704	0
94	45	259,7	1,0	0,7	2,7	-0,7	1,553	0,704	0
95	45	259,7	1,0	0,7	2,7	-0,7	1,553	0,704	0
96	45	259,7	1,0	0,7	2,7	-0,7	1,553	0,704	0
97	45	259,7	1,0	0,7	2,7	-0,7	1,553	0,704	0
98	45	259,7	1,0	0,7	2,7	-0,7	1,553	0,704	0
99	45	259,7	1,0	0,7	2,7	-0,7	1,553	0,704	0
100	45	259,7	1,0	0,7	2,7	-0,7	1,553	0,704	0
101	45	259,7	1,0	0,7	2,7	-0,7	1,553	0,704	0
102	45	259,7	1,0	0,7	2,7	-0,7	1,553	0,704	0
103	45	259,7	1,0	0,7	2,7	-0,7	1,553	0,704	0
104	45	259,7	1,0	0,7	2,7	-0,7	1,553	0,704	0
105	45	259,7	1,0	0,7	2,7	-0,7	1,553	0,704	0
106	45	259,7	1,0	0,7	2,7	-0,7	1,553	0,704	0
107	45	259,7	1,0	0,7	2,7	-0,7	1,553	0,704	0
108	45	259,7	1,0	0,7	2,7	-0,7	1,553	0,704	0
109	45	259,7	1,0	0,7	2,7	-0,7	1,553	0,704	0
110	45	259,7	1,0	0,7	2,7	-0,7	1,553	0,704	0
111	45	259,7	1,0	0,7	2,7	-0,7	1,553	0,704	0
112	45	259,7	1,0	0,7	2,7	-0,7	1,553	0,704	0
113	45	259,7	1,0	0,7	2,7	-0,7	1,553	0,704	0
114	45	259,7	1,0	0,7	2,7	-0,7	1,553	0,704	0
115	45	259,7	1,0	0,7	2,7	-0,7	1,553	0,704	0
116	45	259,7	1,0	0,7					

Memorial Descritivo - PROJETO - TRABALHO DE CONCLUSÃO DE CURSO

symmetry from addition and a symmetry T-period-

Chrysopidae para o Brasil tem quase 500 espécies, e é provável que mais de 1000 estejam ainda por serem descritas.

Приложение № 1 к приказу № 100 от 10.03.2003 г. о введении в действие Правил технической эксплуатации зданий и сооружений

## Classificação das estruturas

Baseado nos valores apresentados acima, a estrutura pode ser avaliada da seguinte forma:

- Parâmetro adotado na análise do edifício (Gama2): 1,07
  - Tipo da estrutura (Alfa): 0,72

## COMPORTAMENTO EM SERVICO - ELS

### Deslocamentos do modelo estrutural global

Para o edifício em questão os temos os seguintes valores:

- Altura total do edifício -  $H = 9,0\text{ m}$
  - Altura entre pisos -  $H_1 = 3,0\text{ m}$

Listagem completa dos deslocamentos do modelo global do edifício

A seguir são apresentados a listagem completa dos parâmetros de instabilidade para as combinações apresentadas anteriormente:

**Resumen** Los autores presentan una revisión de la literatura sobre el efecto de las estrategias de enseñanza en la adquisición de habilidades de lectura y escritura en los niños de primaria. Se analizan las estrategias de enseñanza que promueven la adquisición de habilidades de lectura y escritura y se discuten sus implicaciones para la práctica docente.

**Memorial Descritivo - PROJETO - TRABALHO DE CONCLUSÃO DE CURSO**

Com os resultados obtidos pela análise estrutural obteve-se os seguintes valores de deslocamentos horizontais do modelo estrutural global:

Deslocamento	Valor máximo (cm)	Referência(cm)
Topo do edifício (cm)	(H / 2780) 0.32	(H / 1700) 0.53
Entre pisos (cm)	(Hi / 2368) 0.13	(Hi / 850) 0.35

Os valores de referência utilizados são prescritos pelo NBR 6118 através do item 13.3.

**Análise dinâmica do modelo estrutural global**

Para o edifício em questão os temos os seguintes valores:

Caso	Aceleracões X (m/s <sup>2</sup> )	Aceleracões Y (m/s <sup>2</sup> )	Percepção humana
5	0,000	0,000	Imperceptível
6	0,000	0,000	Imperceptível
7	0,000	0,000	Imperceptível
8	0,000	0,000	Imperceptível
9	0,000	0,000	Imperceptível

A escala de conforto utilizada segue os seguintes passos: Imperceptível - Perceptível - Incômoda - Muito Incômoda - Intolerável.

**Flecha máxima dos pavimentos**

A seguir são apresentadas as flechas máximas de todas as lajes em todos os pavimentos:

#PARA COMPLETAR O TEXTO, ADICIONE TEXTOS, FIGURAS E/OU TABELAS AQUI.

**Isovalores**

A seguir são apresentados diagramas de isovalores de flecha para os pavimentos do edifício:

#PARA COMPLETAR O TEXTO, ADICIONE TEXTOS, FIGURAS E/OU TABELAS AQUI.

**Análise dinâmica dos pavimentos**

A seguir são apresentados os resultados da análise dinâmica dos pavimentos:

#PARA COMPLETAR O TEXTO, ADICIONE TEXTOS, FIGURAS E/OU TABELAS AQUI.

**PARÂMETROS QUALITATIVOS**

**Esbelta do edifício**

A seguir é apresentada a esbelta do edifício e da torre (caso exista).

	Número de pisos	Esbelta
Torre Tipo	3	1,06
Edifício	4	1,41

**Memorial Descritivo - PROJETO - TRABALHO DE CONCLUSÃO DE CURSO**

Na tabela anterior, 'torre tipo' é a parte do edifício que está acima do primeiro pavimento 'Tipo' ou 'Primeiro', conforme indicado no esquema do edifício.

A esbeltez é a razão da altura pela menor dimensão do edifício.

**Padronização de elementos**

A seguir são apresentados os elementos e suas variações para cada um dos pavimentos:

Pavimentos	Pilares	Vigas	Lajes
Caixa d'água	4 / 1	4 / 1	1 / 1
Cobertura	13 / 1	8 / 2	6 / 1
Térreo	13 / 1	10 / 3	9 / 1
Fundação	13 / 1	9 / 2	0 / 0

Na tabela anterior são apresentados os números de elementos do pavimento e o número de variações (seções ou espessuras diferentes).

**Densidade de pilares e vão médios**

A seguir é apresentada a densidade de pilares e vão médios das vigas e lajes.

Pavimentos	Densidade de pilares ( $m^2$ )	Vigas (m)	Lajes (m)
Caixa d'água	3,8	3,5	3,6
Cobertura	8,5	3,9	3,4
Térreo	8,5	3,7	2,5
Fundação	1,1	3,8	0,0

A densidade de pilares é a razão da área do pavimento pelo número de pilares existentes neste pavimento,

Memorial Descritivo - PROJETO - TRABALHO DE CONCLUSÃO DE CURSO

## MEMORIAL DE CÁLCULO DAS VIGAS

A seguir são apresentados os dados e resultados do cálculo/dimensionamento das vigas.

## Relatório geral de vigas

Legenden

Fundação

170



Memorial Descritivo - PROJETO - TRABALHO DE CONCLUSÃO DE CURSO

17

Memorial Descritivo - PROJETO - TRABALHO DE CONCLUSÃO DE CURSO

V10S

www.EngineeringBooksPdf.com

-VAG

Page 200 of 200

- 13 -

4300 431 432

Memorial Descritivo - PROJETO - TRABALHO DE CONCLUSÃO DE CURSO

9469

$$V_{\text{bias}} = Lm - \mu_{\text{eff}}$$

Int. J. Environ. Res. Public Health 2020, 17, 3849 | 16 of 17 © 2020 by the author. Licensee MDPI, Basel, Switzerland.

V109

#### Figure 1(b) (continued)

Digitized by srujanika@gmail.com on 2019-07-10 19:27:45

## **Memorial Descritivo - PROJETO - TRABALHO DE CONCLUSÃO DE CURSO**

TERRED

V20-2

Figure 2B (left) shows the effect of varying the number of hidden units in the neural network. The right panel shows the effect of varying the learning rate.

Performance Metrics for Model A										Performance Metrics for Model B									
Model A		Model B		Model C		Model D		Model E		Model F		Model G		Model H		Model I		Model J	
Accuracy (%)	92.5	94.2	93.8	95.1	93.5	94.8	93.9	95.3	94.7	95.2	94.9	95.0	94.6	95.4	94.1	95.7	94.9	95.5	94.3
Precision (%)	88.7	90.5	89.9	91.2	89.6	90.8	89.7	91.4	89.5	90.9	89.4	91.1	89.3	90.7	88.9	91.3	89.2	90.6	88.8
Recall (%)	90.2	91.8	90.7	92.5	90.4	91.9	90.6	92.7	90.3	91.7	90.5	92.4	90.2	91.6	90.0	92.8	90.4	92.2	90.1
F1 Score (%)	89.5	91.2	90.1	91.9	89.8	91.5	90.0	92.2	89.6	91.3	90.2	92.0	89.7	91.4	89.9	92.1	90.3	91.7	89.6
ROC-AUC	0.905	0.922	0.918	0.935	0.907	0.924	0.915	0.938	0.909	0.927	0.912	0.931	0.906	0.929	0.903	0.937	0.911	0.925	0.908
Metric	Model A	Model B	Model C	Model D	Model E	Model F	Model G	Model H	Model I	Model J	Model K	Model L	Model M	Model N	Model O	Model P	Model Q	Model R	Model S
Value	92.5	94.2	93.8	95.1	93.5	94.8	93.9	95.3	94.7	95.2	94.9	95.0	94.6	95.4	94.1	95.7	94.9	95.5	94.3
Value	88.7	90.5	89.9	91.2	89.6	90.8	89.7	91.4	89.5	90.9	89.4	91.1	89.3	90.7	88.9	91.3	89.2	90.6	88.8
Value	90.2	91.8	90.7	92.5	90.4	91.9	90.6	92.7	90.3	91.7	90.5	92.4	90.2	91.6	90.0	92.8	90.4	92.2	90.1
Value	89.5	91.2	90.1	91.9	89.8	91.5	90.0	92.2	89.6	91.3	90.2	92.0	89.7	91.4	89.9	92.1	90.3	91.7	89.6
Value	0.905	0.922	0.918	0.935	0.907	0.924	0.915	0.938	0.909	0.927	0.912	0.931	0.906	0.929	0.903	0.937	0.911	0.925	0.908

Base E-224 0.00 726 0.48 004 0.03 78025 0.50 0.00 0.00 0.00 0.00 0.00 0.00 0.00 0.00 0.00 0.00

Period	Experiments	Yield (%)	Reaction Time (h)						
P-0001	Expt 1, 2, 3, 4, 5, 6	85.2	2.5	87.5	2.5	89.1	2.5	91.3	2.5
P-0002	Expt 7, 8, 9, 10, 11, 12	88.5	3.0	90.2	3.0	92.1	3.0	94.0	3.0
P-0003	Expt 13, 14, 15, 16, 17, 18	90.1	3.5	91.8	3.5	93.5	3.5	95.3	3.5
P-0004	Expt 19, 20, 21, 22, 23, 24	91.7	4.0	93.4	4.0	95.1	4.0	96.9	4.0

Table 2. The effect of the addition of 10% (w/v) of the various polyacrylate salts on the viscosity of the polymer solution.

Paramétricos y estadísticos de los datos de gatito/a/cachorro		Estadística de la variancia		Prueba de la normalidad		Prueba de la homogeneidad	
		Media	Variancia	Media	Variancia	Media	Variancia
Edad	Media	10.00	10.00	10.00	10.00	10.00	10.00
Edad	Variancia	0.00	0.00	0.00	0.00	0.00	0.00
Altura	Media	20.00	20.00	20.00	20.00	20.00	20.00
Altura	Variancia	0.00	0.00	0.00	0.00	0.00	0.00
Peso	Media	1.00	1.00	1.00	1.00	1.00	1.00
Peso	Variancia	0.00	0.00	0.00	0.00	0.00	0.00
Edad x Altura	Media	200.00	200.00	200.00	200.00	200.00	200.00
Edad x Altura	Variancia	0.00	0.00	0.00	0.00	0.00	0.00
Altura x Peso	Media	20.00	20.00	20.00	20.00	20.00	20.00
Altura x Peso	Variancia	0.00	0.00	0.00	0.00	0.00	0.00
Edad x Peso	Media	10.00	10.00	10.00	10.00	10.00	10.00
Edad x Peso	Variancia	0.00	0.00	0.00	0.00	0.00	0.00
Edad x Altura x Peso	Media	200.00	200.00	200.00	200.00	200.00	200.00
Edad x Altura x Peso	Variancia	0.00	0.00	0.00	0.00	0.00	0.00

Memorial Descritivo - PROJETO - TRABALHO DE CONCLUSÃO DE CURSO

4243

1486-700-7437

Digitized by Google

Page 27 of 27 Page 10 of 10 Page 1 of 1 Page 1 of 1

140-1

2013年—上半期—第2回

Digitized by srujanika@gmail.com

Post- $\alpha$ -D-glucosidase activity was measured at 37°C for 1 h in 0.1 M citrate buffer, pH 5.0.

Memorial Descritivo - PROJETO - TRABALHO DE CONCLUSÃO DE CURSO

1495

Memorial Descritivo - PROJETO - TRABALHO DE CONCLUSÃO DE CURSO

172

7388 296 7346

bioRxiv preprint doi: <https://doi.org/10.1101/2021.05.10.503000>; this version posted May 10, 2021. The copyright holder for this preprint (which was not certified by peer review) is the author/funder, who has granted bioRxiv a license to display the preprint in perpetuity. It is made available under aCC-BY-NC-ND 4.0 International license.

Table 2.  $\Delta E_{\text{HOMO}}^{\text{exp}}$  (eV),  $\Delta E_{\text{LUMO}}^{\text{exp}}$  (eV),  $\Delta E_{\text{gap}}^{\text{exp}}$  (eV),  $\Delta E_{\text{HOMO}}^{\text{cal}}$  (eV),  $\Delta E_{\text{LUMO}}^{\text{cal}}$  (eV),  $\Delta E_{\text{gap}}^{\text{cal}}$  (eV) and  $\Delta E_{\text{HOMO}}^{\text{gap}}$  (eV) for the molecules studied.

ANSWER:  $\frac{1}{2} \cdot \frac{1}{2} = \frac{1}{4}$ . The probability of getting heads on the first flip and tails on the second flip is  $\frac{1}{4}$ .

FCX-CG	SL	ST	TCV	SHL	ML	Relative Atom Density	Relative Depth	Relative Depth with Complex Density	Relative Depth
FCX-CG	SL	ST	TCV	SHL	ML	Relative Atom Density	Relative Depth	Relative Depth with Complex Density	Relative Depth
FCX-CG	SL	ST	TCV	SHL	ML	Relative Atom Density	Relative Depth	Relative Depth with Complex Density	Relative Depth
FCX-CG	SL	ST	TCV	SHL	ML	Relative Atom Density	Relative Depth	Relative Depth with Complex Density	Relative Depth
FCX-CG	SL	ST	TCV	SHL	ML	Relative Atom Density	Relative Depth	Relative Depth with Complex Density	Relative Depth

140

• 2404

bioRxiv preprint doi: <https://doi.org/10.1101/2020.07.07.201870>; this version posted July 7, 2020. The copyright holder for this preprint (which was not certified by peer review) is the author/funder, who has granted bioRxiv a license to display the preprint in perpetuity. It is made available under aCC-BY-NC-ND 4.0 International license.

Table 1. The effect of the number of nodes on the performance of the proposed algorithm.

For detailed information on the above parameters, refer to the [Parameter Descriptions](#) section.

Além disso, é importante lembrar que a estruturação de negócios é um processo contínuo e deve ser adaptada ao longo do tempo.

Country	SL	SL'	Year	SLd/HB	Ave.	Adv/C	Altitude	Altitude	SL	SL'	SLd/HB	Altitude	Altitude	SL	SL'	SLd/HB	Altitude	Altitude
Finland	81	82	1962	10.0	81	82	81	82	81	82	10.0	81	82	81	82	10.0	81	82
UK	81	82	1978	11.3	81	82	81	82	81	82	11.3	81	82	81	82	11.3	81	82
USA	81	82	1980	11.3	81	82	81	82	81	82	11.3	81	82	81	82	11.3	81	82
Canada	81	82	1980	11.3	81	82	81	82	81	82	11.3	81	82	81	82	11.3	81	82

Memorial Descritivo - PROJETO - TRABALHO DE CONCLUSÃO DE CURSO

4208

Figure 7-18

Vito9

04/06/2019

Memorial Descritivo - PROJETO - TRABALHO DE CONCLUSÃO DE CURSO

v210

14 of 20

0-323-24586-2 - \$17.95 Vol. 19(2) April-June 1993 ISSN 0898-2613

14,000 8.1 - 15.2 3.4% 18,100 3.3 45.7 - 9.6% 2,000 2.1 5.8 13.5 2 1.1 8.8

Table 1. Summary of the results of the simulation study.

For more information about the study, contact Dr. Michael J. Klag at (301) 435-2900 or via e-mail at [klag@mail.nih.gov](mailto:klag@mail.nih.gov).

VB1

$\pi_{\text{obs}} = 200$  cm

For more information about the National Institute of Child Health and Human Development, please call the NICHD Information Resource Center at 301-435-2936 or visit the NICHD Web site at [www.nichd.nih.gov](http://www.nichd.nih.gov).

## Collection

123

ANSWER

NAME	EDUCATION	AGE	SEX	RELATIONSHIP	INCOME	DEBT	NET WORTH	NET WORTH %	NET WORTH % CHG
John Doe	High School	35	M	Single	\$50,000	\$20,000	\$30,000	100%	0%
Jane Doe	College	35	F	Single	\$45,000	\$15,000	\$30,000	100%	0%
John Doe Jr.	Elementary	10	M	Child	\$0	\$0	\$0	0%	0%
Jane Doe Jr.	Elementary	10	F	Child	\$0	\$0	\$0	0%	0%

Memorial Descritivo - PROJETO - TRABALHO DE CONCLUSÃO DE CURSO

**T = N = A = 0**      B1      B2      Type      TBL      H/C      In-Storage      Out-Of-Availability      Avail. and Reliability      Confidence      RELEASED

17302

Figure 1. The effect of the number of hidden neurons on the performance of the neural network.

Memorial Descritivo - PROJETO - TRABALHO DE CONCLUSÃO DE CURSO

1903

Page 533 of 533

Memorial Descritivo - PROJETO - TRABALHO DE CONCLUSÃO DE CURSO

Vitória

1990-1991 学年

Int. J. Environ. Res. Public Health 2020, 17, 3576; doi:10.3390/ijerph17093576

173

118 100 000

Journal of Health Politics, Policy and Law, Vol. 33, No. 3, June 2008  
DOI 10.1215/03616878-33-3-693 © 2008 by the Southern Political Science Association

Memorial Descritivo - PROJETO - TRABALHO DE CONCLUSÃO DE CURSO

Revista Brasileira de Psicologia e Desenvolvimento Humano Integral | ISSN 2175-7044 | DOI: 10.1590/2175-7044v10n1

Performance Metrics									
Category	Sub-Category	Parameter	Value	Unit	Min	Max	Avg	Std Dev	Notes
System A	Processor	CPU Speed	3.2 GHz	GHz	3.15	3.25	3.20	0.05	Stable performance.
System A	Processor	Memory Bandwidth	128 GB/s	GB/s	125	130	128	2.0	Optimized memory access.
System A	Storage	HDD Capacity	1TB	TB	0.95	1.05	1.00	0.05	Reliable storage solution.
System A	Storage	Solid State Drive (SSD) Capacity	512GB	GB	500	520	512	4.0	Fast read/write speeds.
System A	Power	Power Consumption	150W	W	145	155	150	5.0	Efficient power usage.
System B	Processor	CPU Speed	3.5 GHz	GHz	3.45	3.55	3.50	0.05	Improved CPU performance.
System B	Processor	Memory Bandwidth	144 GB/s	GB/s	140	148	144	2.0	Enhanced memory bandwidth.
System B	Storage	HDD Capacity	1TB	TB	0.98	1.02	1.00	0.05	Reliable storage solution.
System B	Storage	Solid State Drive (SSD) Capacity	512GB	GB	500	520	512	4.0	Fast read/write speeds.
System B	Power	Power Consumption	160W	W	155	165	160	5.0	Efficient power usage.
System C	Processor	CPU Speed	3.8 GHz	GHz	3.75	3.85	3.80	0.05	High-end CPU performance.
System C	Processor	Memory Bandwidth	160 GB/s	GB/s	155	165	160	2.0	Advanced memory bandwidth.
System C	Storage	HDD Capacity	1TB	TB	0.99	1.01	1.00	0.05	Reliable storage solution.
System C	Storage	Solid State Drive (SSD) Capacity	512GB	GB	500	520	512	4.0	Fast read/write speeds.
System C	Power	Power Consumption	170W	W	165	175	170	5.0	Efficient power usage.
System D	Processor	CPU Speed	4.0 GHz	GHz	3.95	4.05	4.00	0.05	Top-tier CPU performance.
System D	Processor	Memory Bandwidth	176 GB/s	GB/s	170	182	176	2.0	Advanced memory bandwidth.
System D	Storage	HDD Capacity	1TB	TB	1.00	1.02	1.00	0.05	Reliable storage solution.
System D	Storage	Solid State Drive (SSD) Capacity	512GB	GB	500	520	512	4.0	Fast read/write speeds.
System D	Power	Power Consumption	180W	W	175	185	180	5.0	Efficient power usage.

1706

Page 774

See [Data Privacy Report](#) | [About](#) | [Data & Services](#) | [APIs](#) | [Jobs](#) | [Contact](#)

*S. S. B. W. E. F. L. T. A. S. J. L. K. R. T. A. Z.*

The following table presents the results of the parameter estimation for the proposed model.

4307

卷之三

bioRxiv preprint doi: <https://doi.org/10.1101/274675>; this version posted March 12, 2018. The copyright holder for this preprint (which was not certified by peer review) is the author/funder, who has granted bioRxiv a license to display the preprint in perpetuity. It is made available under aCC-BY-NC-ND 4.0 International license.

10 11 12 13 14 15 16 17 18 19 20 21 22 23 24 25 26 27 28 29 30 31 32 33 34 35 36 37 38 39 40 41 42 43 44 45 46 47 48 49 50 51 52 53 54 55 56 57 58 59 60 61 62 63 64 65 66 67 68 69 70 71 72 73 74 75 76 77 78 79 80 81 82 83 84 85 86 87 88 89 90 91 92 93 94 95 96 97 98 99 100

Memorial Descritivo - PROJETO - TRABALHO DE CONCLUSÃO DE CURSO

Year	Q1	Q2	Q3	Q4	YTD	Period	Revenue	Profit Margin	EPS	Dividend	EPS Growth	Dividend Yield
2022	\$1.2M	\$1.3M	\$1.4M	\$1.5M	\$5.4M	Annual	\$5.4M	20%	\$1.35	\$0.10	+10%	3.5%
2021	\$1.0M	\$1.1M	\$1.2M	\$1.3M	\$4.6M	Annual	\$4.6M	18%	\$1.15	\$0.08	+8%	3.0%
2020	\$0.8M	\$0.9M	\$1.0M	\$1.1M	\$3.8M	Annual	\$3.8M	16%	\$0.95	\$0.06	+6%	2.5%
2019	\$0.7M	\$0.8M	\$0.9M	\$1.0M	\$3.4M	Annual	\$3.4M	14%	\$0.85	\$0.05	+5%	2.0%
2018	\$0.6M	\$0.7M	\$0.8M	\$0.9M	\$2.9M	Annual	\$2.9M	12%	\$0.75	\$0.04	+4%	1.5%
2017	\$0.5M	\$0.6M	\$0.7M	\$0.8M	\$2.6M	Annual	\$2.6M	10%	\$0.65	\$0.03	+3%	1.0%
2016	\$0.4M	\$0.5M	\$0.6M	\$0.7M	\$2.2M	Annual	\$2.2M	8%	\$0.55	\$0.02	+2%	0.5%
2015	\$0.3M	\$0.4M	\$0.5M	\$0.6M	\$1.8M	Annual	\$1.8M	6%	\$0.45	\$0.01	+1%	0.0%
2014	\$0.2M	\$0.3M	\$0.4M	\$0.5M	\$1.4M	Annual	\$1.4M	4%	\$0.35	\$0.005	+0.5%	0.0%
2013	\$0.1M	\$0.2M	\$0.3M	\$0.4M	\$1.0M	Annual	\$1.0M	2%	\$0.25	\$0.002	+0.2%	0.0%
2012	\$0.05M	\$0.1M	\$0.2M	\$0.3M	\$0.7M	Annual	\$0.7M	1%	\$0.15	\$0.001	+0.1%	0.0%
2011	\$0.02M	\$0.05M	\$0.1M	\$0.2M	\$0.4M	Annual	\$0.4M	0%	\$0.10	\$0.0005	+0.05%	0.0%
2010	\$0.01M	\$0.02M	\$0.05M	\$0.1M	\$0.2M	Annual	\$0.2M	-1%	\$0.05	\$0.0002	+0.02%	0.0%
2009	\$0.005M	\$0.01M	\$0.02M	\$0.05M	\$0.1M	Annual	\$0.1M	-3%	\$0.03	\$0.0001	+0.01%	0.0%
2008	\$0.002M	\$0.005M	\$0.01M	\$0.02M	\$0.05M	Annual	\$0.05M	-5%	\$0.02	\$0.00005	+0.005%	0.0%
2007	\$0.001M	\$0.002M	\$0.005M	\$0.01M	\$0.02M	Annual	\$0.02M	-7%	\$0.01	\$0.00002	+0.002%	0.0%
2006	\$0.0005M	\$0.001M	\$0.002M	\$0.005M	\$0.01M	Annual	\$0.01M	-9%	\$0.005	\$0.00001	+0.001%	0.0%
2005	\$0.0002M	\$0.0005M	\$0.001M	\$0.002M	\$0.005M	Annual	\$0.005M	-11%	\$0.002	\$0.000005	+0.0005%	0.0%
2004	\$0.0001M	\$0.0002M	\$0.0005M	\$0.001M	\$0.002M	Annual	\$0.002M	-13%	\$0.001	\$0.000002	+0.0002%	0.0%
2003	\$0.00005M	\$0.0001M	\$0.0002M	\$0.0005M	\$0.001M	Annual	\$0.001M	-15%	\$0.0005	\$0.000001	+0.0001%	0.0%
2002	\$0.00002M	\$0.00005M	\$0.0001M	\$0.0002M	\$0.0005M	Annual	\$0.0005M	-17%	\$0.0002	\$0.0000005	+0.00005%	0.0%
2001	\$0.00001M	\$0.00002M	\$0.00005M	\$0.0001M	\$0.0002M	Annual	\$0.0002M	-19%	\$0.0001	\$0.0000002	+0.00002%	0.0%
2000	\$0.000005M	\$0.00001M	\$0.00002M	\$0.00005M	\$0.0001M	Annual	\$0.0001M	-21%	\$0.00005	\$0.0000001	+0.00001%	0.0%
1999	\$0.000002M	\$0.000005M	\$0.00001M	\$0.00002M	\$0.00005M	Annual	\$0.00005M	-23%	\$0.00002	\$0.0000002	+0.00002%	0.0%
1998	\$0.000001M	\$0.000002M	\$0.000005M	\$0.00001M	\$0.00002M	Annual	\$0.00002M	-25%	\$0.00001	\$0.0000001	+0.00001%	0.0%
1997	\$0.0000005M	\$0.000001M	\$0.000002M	\$0.000005M	\$0.00001M	Annual	\$0.00001M	-27%	\$0.000005	\$0.00000005	+0.000005%	0.0%
1996	\$0.0000002M	\$0.0000005M	\$0.000001M	\$0.000002M	\$0.000005M	Annual	\$0.000005M	-29%	\$0.000002	\$0.00000002	+0.000002%	0.0%
1995	\$0.0000001M	\$0.0000002M	\$0.0000005M	\$0.000001M	\$0.000002M	Annual	\$0.000002M	-31%	\$0.000001	\$0.00000001	+0.000001%	0.0%
1994	\$0.00000005M	\$0.0000001M	\$0.0000002M	\$0.0000005M	\$0.000001M	Annual	\$0.000001M	-33%	\$0.0000005	\$0.000000005	+0.0000005%	0.0%
1993	\$0.00000002M	\$0.00000005M	\$0.0000001M	\$0.0000002M	\$0.0000005M	Annual	\$0.0000005M	-35%	\$0.0000002	\$0.000000002	+0.0000002%	0.0%
1992	\$0.00000001M	\$0.00000002M	\$0.00000005M	\$0.0000001M	\$0.0000002M	Annual	\$0.0000002M	-37%	\$0.0000001	\$0.000000001	+0.0000001%	0.0%
1991	\$0.000000005M	\$0.000000002M	\$0.000000005M	\$0.00000001M	\$0.00000002M	Annual	\$0.00000005M	-39%	\$0.00000005	\$0.0000000005	+0.00000005%	0.0%
1990	\$0.000000002M	\$0.000000001M	\$0.000000002M	\$0.000000005M	\$0.00000001M	Annual	\$0.00000002M	-41%	\$0.00000002	\$0.0000000002	+0.00000002%	0.0%
1989	\$0.000000001M	\$0.0000000005M	\$0.000000002M	\$0.000000001M	\$0.000000005M	Annual	\$0.000000005M	-43%	\$0.00000001	\$0.0000000001	+0.00000001%	0.0%
1988	\$0.0000000005M	\$0.0000000002M	\$0.0000000005M	\$0.000000001M	\$0.000000002M	Annual	\$0.000000002M	-45%	\$0.000000005	\$0.00000000005	+0.000000005%	0.0%
1987	\$0.0000000002M	\$0.0000000001M	\$0.0000000002M	\$0.0000000005M	\$0.000000001M	Annual	\$0.0000000005M	-47%	\$0.000000002	\$0.00000000002	+0.000000002%	0.0%
1986	\$0.0000000001M	\$0.00000000005M	\$0.0000000002M	\$0.0000000001M	\$0.0000000005M	Annual	\$0.0000000002M	-49%	\$0.000000001	\$0.00000000001	+0.000000001%	0.0%
1985	\$0.00000000005M	\$0.00000000002M	\$0.00000000005M	\$0.0000000001M	\$0.0000000002M	Annual	\$0.00000000005M	-51%	\$0.0000000005	\$0.000000000005	+0.0000000005%	0.0%
1984	\$0.00000000002M	\$0.00000000001M	\$0.00000000002M	\$0.00000000005M	\$0.0000000001M	Annual	\$0.00000000002M	-53%	\$0.0000000002	\$0.000000000002	+0.0000000002%	0.0%
1983	\$0.00000000001M	\$0.000000000005M	\$0.00000000002M	\$0.00000000001M	\$0.00000000005M	Annual	\$0.000000000005M	-55%	\$0.0000000001	\$0.000000000001	+0.0000000001%	0.0%
1982	\$0.000000000005M	\$0.000000000002M	\$0.000000000005M	\$0.00000000001M	\$0.00000000002M	Annual	\$0.000000000002M	-57%	\$0.00000000005	\$0.0000000000005	+0.00000000005%	0.0%
1981	\$0.000000000002M	\$0.000000000001M	\$0.000000000002M	\$0.000000000005M	\$0.00000000001M	Annual	\$0.000000000002M	-59%	\$0.00000000002	\$0.0000000000002	+0.00000000002%	0.0%
1980	\$0.000000000001M	\$0.0000000000005M	\$0.000000000002M	\$0.000000000001M	\$0.000000000005M	Annual	\$0.0000000000005M	-61%	\$0.00000000001	\$0.0000000000001	+0.00000000001%	0.0%
1979	\$0.0000000000005M	\$0.0000000000002M	\$0.0000000000005M	\$0.000000000001M	\$0.000000000002M	Annual	\$0.0000000000002M	-63%	\$0.000000000005	\$0.00000000000005	+0.000000000005%	0.0%
1978	\$0.0000000000002M	\$0.0000000000001M	\$0.0000000000002M	\$0.0000000000005M	\$0.000000000001M	Annual	\$0.0000000000002M	-65%	\$0.000000000002	\$0.00000000000002	+0.000000000002%	0.0%
1977	\$0.0000000000001M	\$0.00000000000005M	\$0.0000000000002M	\$0.0000000000001M	\$0.0000000000005M	Annual	\$0.00000000000005M	-67%	\$0.000000000001	\$0.00000000000001	+0.000000000001%	0.0%
1976	\$0.00000000000005M	\$0.00000000000002M	\$0.00000000000005M	\$0.0000000000001M	\$0.0000000000002M	Annual	\$0.00000000000002M	-69%	\$0.0000000000005	\$0.000000000000005	+0.0000000000005%	0.0%
1975	\$0.00000000000002M	\$0.00000000000001M	\$0.00000000000002M	\$0.00000000000005M	\$0.0000000000001M	Annual	\$0.00000000000002M	-71%	\$0.0000000000002	\$0.000000000000002	+0.0000000000002%	0.0%
1974	\$0.00000000000001M	\$0.000000000000005M	\$0.00000000000002M	\$0.00000000000001M	\$0.00000000000005M	Annual	\$0.000000000000005M	-73%	\$0.0000000000001	\$0.000000000000001	+0.0000000000001%	0.0%
1973	\$0.000000000000005M	\$0.000000000000002M	\$0.000000000000005M	\$0.00000000000001M	\$0.00000000000002M	Annual	\$0.000000000000002M	-75%	\$0.00000000000005	\$0.0000000000000005	+0.00000000000005%	0.0%
1972	\$0.000000000000002M	\$0.000000000000001M	\$0.000000000000002M	\$0.000000000000005M	\$0.00000000000001M	Annual	\$0.000000000000002M	-77%	\$0.00000000000002	\$0.0000000000000002	+0.00000000000002%	0.0%
1971	\$0.000000000000001M	\$0.0000000000000005M	\$0.000000000000002M	\$0.000000000000001M	\$0.000000000000005M	Annual	\$0.0000000000000005M	-79%	\$0.00000000000001	\$0.0000000000000001	+0.00000000000001%	0.0%
1970	\$0.0000000000000005M	\$0.0000000000000002M	\$0.0000000000000005M	\$0.000000000000001M	\$0.000000000000002M	Annual	\$0.0000000000000002M	-81%	\$0.000000000000005	\$0.00000000000000005	+0.000000000000005%	0.0%
1969	\$0.0000000000000002M	\$0.0000000000000001M	\$0.0000000000000002M	\$0.0000000000000005M	\$0.000000000000001M	Annual	\$0.0000000000000002M	-83%	\$0.000000000000002	\$0.00000000000000002	+0.000000000000002%	0.0%
1968	\$0.0000000000000001M	\$0.00000000000000005M	\$0.0000000000000002M	\$0.0000000000000001M	\$0.0000000000000005M	Annual	\$0.00000000000000005M	-85%	\$0.000000000000001	\$0.00000000000000001	+0.000000000000001%	0.0%
1967	\$0.00000000000000005M	\$0.00000000000000002M	\$0.00000000000000005M	\$0.0000000000000001M	\$0.0000000000000002M	Annual	\$0.00000000000000002M	-87%	\$0.0000000000000005	\$0.000000000000000005	+0.0000000000000005%	0.0%
1966	\$0.00000000000000002M	\$0.00000000000000001M	\$0.00000000000000002M	\$0.00000000000000005M	\$0.0000000000000001M	Annual	\$0.00000000000000002M	-89%	\$0.0000000000000002	\$0.00000000000000002	+0.0000000000000002%	0.0%
1965	\$0.00000000000000001M	\$0.000000000000000005M	\$0.00000000000000002M	\$0.00000000000000001M	\$0.00000000000000005M	Annual	\$0.000000000000000005M	-91%	\$0.0000000000000001	\$0.00000000000000001	+0.0000000000000001%	0.0%
1964	\$0.000000000000000005M	\$0.000000000000000002M	\$0.000000000000000005M	\$0.00000000000000001M	\$0.00000000000000002M	Annual	\$0.000000000000000002M	-93%	\$0.00000000000000005	\$0.000000000000000005	+0.00000000000000005%	0.0%
1963	\$0.000000000000000002M	\$0.000000000000000001M	\$0.000000000000000002M	\$0.000000000000000005M	\$0.00000000000000001M	Annual	\$0.000000000000000002M	-95%	\$0.00000000000000002	\$0.00000000000000002	+0.00000000000000002%	0.0%
1962	\$0.000000000000000001M	\$0.0000000000000000005M	\$0.000000000000000002M	\$0.000000000000000001M	\$0.000000000000000005M	Annual	\$0.000000000000000005M	-97%	\$0.00000000000000001	\$0.00000000000000001	+0.00000000000000001%	0.0%
1961	\$0.0000000000000000005M	\$0.0000000000000000002M	\$0.0000000000000000005M	\$0.000000000000000001M	\$0.000000000000000002M	Annual	\$0.000000000000000002M	-99%	\$0.000000000000000005	\$0.000000000000000005	+0.000000000000000005%	0.0%
1960	\$0.0000000000000000002M	\$0.0000000000000000001M	\$0.0000000000000000002M	\$0.0000000000000000005M	\$0.000000000000000001M	Annual	\$0.000000000000000002M	-101%	\$0.000000000000000002	\$0.000000000000000002	+0.000000000000000002%	0.0%
1959	\$0.0000000000000000001M	\$0.00000000000000000005M	\$0.0000000000000000002M	\$0.0000000000000000001M	\$0.0000000000000000005M	Annual	\$0.000000000000000005M	-103%	\$0.000000000000000001	\$0.000000000000000001	+0.000000000000000001%	0.0%
1958	\$0.00000000000000000005M	\$0.00000000000000000002M	\$0.00000000000000000005M	\$0.0000000000000000001M	\$0.0000000000000000002M	Annual	\$0.000000000000000002M	-105%	\$0.000000000000000005	\$0.000000000000000005	+0.000000000000000005%	0.0%
1957	\$0.00000000000000000002M	\$0.00000000000000000001M	\$0.000000									

卷之三

Caixa d'aigua

1400

Memorial Descritivo - PROJETO - TRABALHO DE CONCLUSÃO DE CURSO

- 1402 -

Name		X-axis		Y-axis		Z-axis		W-axis		V-axis		U-axis		T-axis		S-axis		R-axis		Q-axis		P-axis		N-axis		M-axis		L-axis		K-axis		J-axis		I-axis		H-axis		G-axis		F-axis		E-axis		D-axis		C-axis		B-axis		A-axis																																																																																																																																																																																																																																																																																																																																																																																																																																																																																																																																																																																																																																																																																																																																																											
Time		1.00		2.00		3.00		4.00		5.00		6.00		7.00		8.00		9.00		10.00		11.00		12.00		13.00		14.00		15.00		16.00		17.00		18.00		19.00		20.00		21.00		22.00		23.00		24.00		25.00		26.00		27.00		28.00		29.00		30.00		31.00		32.00		33.00		34.00		35.00		36.00		37.00		38.00		39.00		40.00		41.00		42.00		43.00		44.00		45.00		46.00		47.00		48.00		49.00		50.00		51.00		52.00		53.00		54.00		55.00		56.00		57.00		58.00		59.00		60.00		61.00		62.00		63.00		64.00		65.00		66.00		67.00		68.00		69.00		70.00		71.00		72.00		73.00		74.00		75.00		76.00		77.00		78.00		79.00		80.00		81.00		82.00		83.00		84.00		85.00		86.00		87.00		88.00		89.00		90.00		91.00		92.00		93.00		94.00		95.00		96.00		97.00		98.00		99.00		100.00		101.00		102.00		103.00		104.00		105.00		106.00		107.00		108.00		109.00		110.00		111.00		112.00		113.00		114.00		115.00		116.00		117.00		118.00		119.00		120.00		121.00		122.00		123.00		124.00		125.00		126.00		127.00		128.00		129.00		130.00		131.00		132.00		133.00		134.00		135.00		136.00		137.00		138.00		139.00		140.00		141.00		142.00		143.00		144.00		145.00		146.00		147.00		148.00		149.00		150.00		151.00		152.00		153.00		154.00		155.00		156.00		157.00		158.00		159.00		160.00		161.00		162.00		163.00		164.00		165.00		166.00		167.00		168.00		169.00		170.00		171.00		172.00		173.00		174.00		175.00		176.00		177.00		178.00		179.00		180.00		181.00		182.00		183.00		184.00		185.00		186.00		187.00		188.00		189.00		190.00		191.00		192.00		193.00		194.00		195.00		196.00		197.00		198.00		199.00		200.00		201.00		202.00		203.00		204.00		205.00		206.00		207.00		208.00		209.00		210.00		211.00		212.00		213.00		214.00		215.00		216.00		217.00		218.00		219.00		220.00		221.00		222.00		223.00		224.00		225.00		226.00		227.00		228.00		229.00		230.00		231.00		232.00		233.00		234.00		235.00		236.00		237.00		238.00		239.00		240.00		241.00		242.00		243.00		244.00		245.00		246.00		247.00		248.00		249.00		250.00		251.00		252.00		253.00		254.00		255.00		256.00		257.00		258.00		259.00		260.00		261.00		262.00		263.00		264.00		265.00		266.00		267.00		268.00		269.00		270.00		271.00		272.00		273.00		274.00		275.00		276.00		277.00		278.00		279.00		280.00		281.00		282.00		283.00		284.00		285.00		286.00		287.00		288.00		289.00		290.00		291.00		292.00		293.00		294.00		295.00		296.00		297.00		298.00		299.00		300.00		301.00		302.00		303.00		304.00		305.00		306.00		307.00		308.00		309.00		310.00		311.00		312.00		313.00		314.00		315.00		316.00		317.00		318.00		319.00		320.00		321.00		322.00		323.00		324.00		325.00		326.00		327.00		328.00		329.00		330.00		331.00		332.00		333.00		334.00		335.00		336.00		337.00		338.00		339.00		340.00		341.00		342.00		343.00		344.00		345.00		346.00		347.00		348.00		349.00		350.00		351.00		352.00		353.00		354.00		355.00		356.00		357.00		358.00		359.00		360.00		361.00		362.00		363.00		364.00		365.00		366.00		367.00		368.00		369.00		370.00		371.00		372.00		373.00		374.00		375.00		376.00		377.00		378.00		379.00		380.00		381.00		382.00		383.00		384.00		385.00		386.00		387.00		388.00		389.00		390.00	

四百六

2408

Memorial Descritivo - PROJETO - TRABALHO DE CONCLUSÃO DE CURSO

Memorial Descritivo - PROJETO - TRABALHO DE CONCLUSÃO DE CURSO

MEMORIAL DE CÁLCULO DOS PILARES

A seguir são apresentados os dados e resultados do cálculo/dimensionamento dos pilares:

#### **Estágem de resultados por pilar**

Lesson

Este entendimento estende-se, dentro da literatura contemporânea existente, a que pertence a maior parte das publicações em português e inglês. Não necessariamente este é o caso, no entanto, e é que muitas outras publicações de extensão internacional, tanto para o ensino como para a formação profissional, são exceções. Considerando, todavia, que a maioria das autoridades científicas para o tema das correspondências e das relações entre as ciências e a tecnologia, assim como os principais representantes das organizações internacionais de cooperação entre países, consideram que a tecnologia é um fator de desenvolvimento econômico e social, é de se concluir que a tecnologia é, na realidade, uma das mais eficazes ferramentas para o progresso da sociedade humana. No entanto, para a obtenção e uso eficiente destas ferramentas para o progresso, é necessário que quem trabalha com elas saiba utilizar de forma adequada e eficiente.

• Dient als Basis für die Berechnung der Werte für die Parameter des Modells.

• 81

四

Memorial Descritivo - PROJETO - TRABALHO DE CONCLUSÃO DE CURSO

- 10 -

卷之三

總計數，

P12

TEACHING

100-41

Memorial Descritivo - PROJETO - TRABALHO DE CONCLUSÃO DE CURSO

P13

31 JAHN (1978)

109

1126417

P3

九种行

Memorial Descritivo - PROJETO - TRABALHO DE CONCLUSÃO DE CURSO

19

41-Sub 129

10

15

第31章

2000

126

- 13 -

卷之三

Memorial Descritivo - PROJETO - TRABALHO DE CONCLUSÃO DE CURSO

17

卷之三

100

P. G.

Memorial Descritivo - PROJETO - TRABALHO DE CONCLUSÃO DE CURSO

### Seleção de bútolas de pilares

Laurensia

PI

四

Performance										Cost (\$/MWh)	
Source	Type	Capacity	Efficiency	Output	CO <sub>2</sub>	SO <sub>2</sub>	NO <sub>x</sub>	PM <sub>2.5</sub>	Water Use	Capital	OpEx
Coal	Lignite	1000 MW	35%	350 GWh	1000 t CO <sub>2</sub> /MWh	100 t SO <sub>2</sub> /MWh	10 t NO <sub>x</sub> /MWh	10 t PM <sub>2.5</sub> /MWh	1000 L/MWh	\$1000	\$100
Gas	Natural Gas	500 MW	40%	200 GWh	200 t CO <sub>2</sub> /MWh	50 t SO <sub>2</sub> /MWh	5 t NO <sub>x</sub> /MWh	5 t PM <sub>2.5</sub> /MWh	500 L/MWh	\$1500	\$150
Hydro	Run-of-River	1000 MW	90%	1000 GWh	0 t CO <sub>2</sub> /MWh	0 t SO <sub>2</sub> /MWh	0 t NO <sub>x</sub> /MWh	0 t PM <sub>2.5</sub> /MWh	0 L/MWh	\$500	\$50
Solar	Concentrated Solar	500 MW	20%	100 GWh	500 t CO <sub>2</sub> /MWh	50 t SO <sub>2</sub> /MWh	5 t NO <sub>x</sub> /MWh	5 t PM <sub>2.5</sub> /MWh	5000 L/MWh	\$2000	\$200
Wind	Onshore Wind	1000 MW	45%	400 GWh	400 t CO <sub>2</sub> /MWh	100 t SO <sub>2</sub> /MWh	10 t NO <sub>x</sub> /MWh	10 t PM <sub>2.5</sub> /MWh	1000 L/MWh	\$1200	\$120

**Memorial Descritivo - PROJETO - TRABALHO DE CONCLUSÃO DE CURSO**

**P11****FICHA(F11)**

Nome: Fábio Henrique da Silva												T:	SAE:	SI:	SG:
Nome: Fábio Henrique da Silva	Sexo:	Altura:	Peso:	Alvo:	Taxa:	Edad:	Cir:	PP:	Exa:	Codex:	T:	SAE:	SI:	SG:	
1. Cabeça:	M:	170,0	69,0	1,7	100,0	24	0,00	0,0	0,00	100	1,0	12,0	1,0	100,00	
2. Braços:	M:	170,0	69,0	1,7	100,0	24	0,00	0,0	0,00	100	1,0	12,0	1,0	100,00	

**P12****FICHA(F12)**

Nome: Fábio Henrique da Silva												T:	SAE:	SI:	SG:
Nome: Fábio Henrique da Silva	Sexo:	Altura:	Peso:	Alvo:	Taxa:	Edad:	Cir:	PP:	Exa:	Codex:	T:	SAE:	SI:	SG:	
1. Braço:	M:	170,0	69,0	1,7	100,0	24	0,00	0,0	0,00	100	1,0	12,0	1,0	100,00	
2. Tórax:	M:	170,0	69,0	1,7	100,0	24	0,00	0,0	0,00	100	1,0	12,0	1,0	100,00	
3. Perna:	M:	170,0	69,0	1,7	100,0	24	0,00	0,0	0,00	100	1,0	12,0	1,0	100,00	

**P13****FICHA(F13)**

Nome: Fábio Henrique da Silva												T:	SAE:	SI:	SG:
Nome: Fábio Henrique da Silva	Sexo:	Altura:	Peso:	Alvo:	Taxa:	Edad:	Cir:	PP:	Exa:	Codex:	T:	SAE:	SI:	SG:	
1. Mão:	M:	170,0	69,0	1,7	100,0	24	0,00	0,0	0,00	100	1,0	12,0	1,0	100,00	
2. Perna:	M:	170,0	69,0	1,7	100,0	24	0,00	0,0	0,00	100	1,0	12,0	1,0	100,00	
3. Pés:	M:	170,0	69,0	1,7	100,0	24	0,00	0,0	0,00	100	1,0	12,0	1,0	100,00	

**P2****FICHA(F2)**

Nome: Fábio Henrique da Silva												T:	SAE:	SI:	SG:
Nome: Fábio Henrique da Silva	Sexo:	Altura:	Peso:	Alvo:	Taxa:	Edad:	Cir:	PP:	Exa:	Codex:	T:	SAE:	SI:	SG:	
1. Cabeça:	M:	170,0	69,0	1,7	100,0	24	0,00	0,0	0,00	100	1,0	12,0	1,0	100,00	
2. Braços:	M:	170,0	69,0	1,7	100,0	24	0,00	0,0	0,00	100	1,0	12,0	1,0	100,00	

**P3****FICHA(F3)**

Nome: Fábio Henrique da Silva												T:	SAE:	SI:	SG:
Nome: Fábio Henrique da Silva	Sexo:	Altura:	Peso:	Alvo:	Taxa:	Edad:	Cir:	PP:	Exa:	Codex:	T:	SAE:	SI:	SG:	
1. Cabeça:	M:	170,0	69,0	1,7	100,0	24	0,00	0,0	0,00	100	1,0	12,0	1,0	100,00	
2. Braços:	M:	170,0	69,0	1,7	100,0	24	0,00	0,0	0,00	100	1,0	12,0	1,0	100,00	

**P4****FICHA(F4)**

Nome: Fábio Henrique da Silva												T:	SAE:	SI:	SG:
Nome: Fábio Henrique da Silva	Sexo:	Altura:	Peso:	Alvo:	Taxa:	Edad:	Cir:	PP:	Exa:	Codex:	T:	SAE:	SI:	SG:	
1. Cabeça:	M:	170,0	69,0	1,7	100,0	24	0,00	0,0	0,00	100	1,0	12,0	1,0	100,00	
2. Braços:	M:	170,0	69,0	1,7	100,0	24	0,00	0,0	0,00	100	1,0	12,0	1,0	100,00	

**P5****FICHA(F5)**

Nome: Fábio Henrique da Silva												T:	SAE:	SI:	SG:
Nome: Fábio Henrique da Silva	Sexo:	Altura:	Peso:	Alvo:	Taxa:	Edad:	Cir:	PP:	Exa:	Codex:	T:	SAE:	SI:	SG:	
1. Cabeça:	M:	170,0	69,0	1,7	100,0	24	0,00	0,0	0,00	100	1,0	12,0	1,0	100,00	
2. Braços:	M:	170,0	69,0	1,7	100,0	24	0,00	0,0	0,00	100	1,0	12,0	1,0	100,00	

**Memorial Descritivo - PROJETO - TRABALHO DE CONCLUSÃO DE CURSO**

**P6**

ESTADISTICA												ESTADISTICA			ESTADISTICA		
Série	Média	Min	Max	Med	Moda	Mediana	Variancia	Estatística	Estatística	Estatística	Estatística	T	S&E	N	Signific.		
1. Série 1	264,0	255,0	273,0	264,0	262,0	262,0	1,0	2,0	1,0	1,0	1,0	-0,021	(-0,1)	100	0,999		
2. Série 2	259,0	250,0	268,0	259,0	257,0	257,0	1,0	2,0	1,0	1,0	1,0	0,001	(0,0)	100	0,999		
3. Série 3	261,0	251,0	271,0	261,0	259,0	259,0	1,0	2,0	1,0	1,0	1,0	0,014	(0,1)	100	0,999		

**P7**

ESTADISTICA												ESTADISTICA			ESTADISTICA		
Série	Média	Min	Max	Med	Moda	Mediana	Variancia	Estatística	Estatística	Estatística	Estatística	T	S&E	N	Signific.		
1. Série 1	264,0	255,0	273,0	264,0	262,0	262,0	1,0	2,0	1,0	1,0	1,0	-0,021	(-0,1)	100	0,999		
2. Série 2	259,0	250,0	268,0	259,0	257,0	257,0	1,0	2,0	1,0	1,0	1,0	0,001	(0,0)	100	0,999		
3. Série 3	261,0	251,0	271,0	261,0	259,0	259,0	1,0	2,0	1,0	1,0	1,0	0,014	(0,1)	100	0,999		

**P8**

ESTADISTICA												ESTADISTICA			ESTADISTICA		
Série	Média	Min	Max	Med	Moda	Mediana	Variancia	Estatística	Estatística	Estatística	Estatística	T	S&E	N	Signific.		
1. Série 1	264,0	255,0	273,0	264,0	262,0	262,0	1,0	2,0	1,0	1,0	1,0	-0,021	(-0,1)	100	0,999		
2. Série 2	259,0	250,0	268,0	259,0	257,0	257,0	1,0	2,0	1,0	1,0	1,0	0,001	(0,0)	100	0,999		
3. Série 3	261,0	251,0	271,0	261,0	259,0	259,0	1,0	2,0	1,0	1,0	1,0	0,014	(0,1)	100	0,999		

**P9**

ESTADISTICA												ESTADISTICA			ESTADISTICA		
Série	Média	Min	Max	Med	Moda	Mediana	Variancia	Estatística	Estatística	Estatística	Estatística	T	S&E	N	Signific.		
1. Série 1	264,0	255,0	273,0	264,0	262,0	262,0	1,0	2,0	1,0	1,0	1,0	-0,021	(-0,1)	100	0,999		
2. Série 2	259,0	250,0	268,0	259,0	257,0	257,0	1,0	2,0	1,0	1,0	1,0	0,001	(0,0)	100	0,999		
3. Série 3	261,0	251,0	271,0	261,0	259,0	259,0	1,0	2,0	1,0	1,0	1,0	0,014	(0,1)	100	0,999		

Memorial Descritivo - PROJETO - TRABALHO DE CONCLUSÃO DE CURSO

MEMORIAL DE CÁLCULO DAS FUNDACÕES

A seguir são apresentados os dados e resultados do cálculo/dimensionamento das fundações

## Legenda

— 1 —

ESTA DOCUMENTACIÓN ESTÁ HECHA PARA SER UTILIZADA POR LOS DIFERENTES MÉTODOS DE INVESTIGACIÓN. SE PUEDE DESARROLLAR EN 45 A 60 PÁGINAS, DE ACUERDO CON LOS MÉTODOS FÍSICOS UTILIZADOS. CONSULTE EL PARÁGRAFO 2. ESTIMACIONES DE TIEMPO, A FINES DE MEJORAR LA EFICIENCIA DEL TRABAJO. PARA OBTENER DATOS DE ESTIMACIONES DE TIEMPO, CONSULE AL CAPITÁN DE ESTIMACIONES DE TIEMPO.

www.jstor.org

**Memorial Descritivo - PROJETO - TRABALHO DE CONCLUSÃO DE CURSO**

**CRITÉRIOS PROJETO - GERENCIADOS**

A seguir são apresentados alguns dos critérios de projeto utilizados.

**Critérios gerais:**

- a) Norma em uso
  - i) NBR-6118-2023
- b) Verificação de  $f_{ck}$  mínimo
  - i) Desativa
- c) Verificação de cobrimentos mínimos
  - i) Desativa
- d) Verificação de dimensões mínimas
  - i) Verifica segunda a ABNT NBR 6118
- e) Permite rebaixo de pilar
  - i) Não permite

**Ações:**

- a) Separação de cargas permanentes e variáveis
  - i) Com separação
- b) Caso 1 agrupa outros casos:
  - i) Casos de 2 a 4
- c) Consideração de peso-próprio de lajes:
  - i) Sim
- d) Consideração de peso-próprio de vigas:
  - i) Sim
- e) Carga estimada em viga de transição:
  - i) Entre a carga estimada pelo pórtico e a definida pelo engenheiro, usar o valor de maior módulo.
- f) Permite cálculo c/ altura de alvenaria igual a zero
  - i) Não
- g) Vento
  - i) Número total de casos de vento
    - (1) 5
  - ii) Velocidade básica ( $V_0$ )
    - (1) 30
  - iii) Coeficiente de arrasto (menor valor)
    - (1) 1
  - iv) Túnel de vento
    - (1) Correção dos momentos torsores
      - (a) Sim
- h) Ponderadores
  - i) Ponderador do peso-próprio
    - (1) 1,4
  - ii) Ponderador das demais ações permanentes (CV)
    - (1) 1,4
  - iii) Ponderador das ações variáveis (CV)

**Memorial Descritivo - PROJETO - TRABALHO DE CONCLUSÃO DE CURSO**

(1) 1,4

**Análise Estrutural**

- a) Modelo global do edifício
  - i) Modelo de vigas e pilares, flexibilizado conforme critérios
- b) Modelo para viga de transição
  - i) Modelo adicional com vigas de transição enrijecidas
- c) Trechos rígidos:
  - i) Método p/ definir extensão de apoio
    - (1) em função da altura da viga
    - (2) Multiplicador da altura da viga p/ extensão de apoio
      - (1) 0,3
- d) Pórtico espacial
  - i) Vigas
    - (1) Consideração de seção T
      - (a) Calcular inércia das vigas com seção T em todo o vão
    - (2) Inércia p/ vigas s/ rigidez à torção
      - (a) 100
    - (3) Fator de engastamento parcial em vigas
      - (a) 1
  - ii) Pilares
    - (1) Majoração da rigidez axial p/ efeitos construtivos
      - (a) Considera majoração da rigidez axial
    - (2) Multiplicador da rigidez axial p/ efeitos construtivos
      - (a) 3
    - (3) Pilares não-retangulares c/ eixos principais
      - (a) Calcula
  - iii) Ligações viga-pilar
    - (1) Flexibilização de ligações
      - (a) Sim
    - (2) Multiplicador de largura de apoio p/ coeficiente de mola
      - (a) 3
    - (3) Divisor de coeficiente de mola
      - (a) Sim
    - (4) Offset-rígido
      - (a) Sim
  - iv) Separação de modelos para EtU e EtS
    - (1) Sim
  - v) Modelo EtU
    - (1) Não-linearidade física p/ vigas
      - (a) 0,4
    - (2) Não-linearidade física p/ pilares
      - (a) 0,8
    - (3) Não-linearidade física p/ lajes
      - (a) 0,3

**Memorial Descritivo - PROJETO - TRABALHO DE CONCLUSÃO DE CURSO**

- vi) Modelo ELS
  - (1) Não-linearidade física p/ lajes
    - (a) 1
- vii) Transferência de esforços
  - (1) Transferência dos esforços de 2º ordem (GamaZ)
    - (a) Sim
  - (2) Transferência de força normal para vigas
    - (a) Sim
  - (3) Tolerância p/ transferência de forças das grelhas
    - (a) 0
  - (4) Tolerância p/ transferência de momentos das grelhas
    - (a) 0
- e) Grelha
  - i) Vigas
    - (1) Consideração da seção T em vigas
      - (a) Calcular inércia das vigas com seção T em todo o vão
    - (2) Inércia p/ vigas s/ rigidez à torção
      - (a) 100
    - (3) Fator de engastamento parcial em vigas
      - (a) 1
  - ii) Apoios (restrições)
    - (1) Apolo de vigas em pilares
      - (a) Modelo p/ o apolo de vigas em pilares
      - (i) Elástico independente
      - (b) Multiplicador de largura de apoio p/ coeficiente de mola
        - (i) 1
      - (c) Divisor de coeficiente de mola
        - (i) 4
    - (2) Modelo p/ o apoio de nervuras em pilares
      - (a) Sim
    - (3) Modelo p/ o apoio de lajes maciças em pilares
      - (a) Sim
  - iii) Lajes nervuradas
    - (1) Considera seção T para nervuras
      - (a) Sim
    - (2) Plastificação de nervuras apoiadas em vigas
      - (a) Não
  - iv) Lajes maciças (planas)
    - (1) Divisor de inércia à torção em barras de lajes
      - (a) 6
    - (2) Consideração de Wood&Armer
      - (a) Sim
    - (3) Espaçamento de barras em X
      - (a) 35
    - (4) Espaçamento de barras em Y

**Memorial Descritivo - PROJETO - TRABALHO DE CONCLUSÃO DE CURSO**

- (a) 35
- (5) Plastificação de barras de lajes apoiadas em vigas
  - (a) Sim
- v) Multiplicador p/ deformação lenta
  - (1) 2,5
- f) Estabilidade global
  - i) Cálculo de GammaZ com valores de cálculo
    - (1) Esforços de cálculo.
  - ii) Considera deslocamentos horizontais gerados por cargas verticais
    - (1) Sim
- g) Análise P-Delta
  - i) Análise em 2 passos
    - (1) P-&Delta; em 2 passos
  - ii) Multiplicador de esforços pós-análise:
    - (1) 1
- h) Deslocamentos laterais do edifício
  - i) Verifica deslocamentos laterais do edifício
    - (1) ABNT NBR 6118
  - ii) Considera efeitos das cargas verticais
    - (1) Não
  - iii) P-Delta na avaliação dos deslocamentos laterais
    - (1) Não adota análise P-&Delta; na avaliação dos deslocamentos laterais
  - iv) Limites
    - (1) Deslocamento máximo no topo do edifício
      - (a) 1700
    - (2) Deslocamento máximo entre pisos
      - (a) 850
  - i) Grade não-linear
    - i) Análise p/ todas combinações ELS
      - (1) Adota todas combinações ELS definidas
    - ii) Número total de incrementos de carga
      - (1) 12
    - iii) Consideração da fissuração
      - (1) Considera fissuração à flexão e à torção
    - iv) Consideração da fluência
      - (1) Correção do diagrama tensão-deformação do concreto pelos coeficientes de fluência ( $\phi_{fl}$ ).

**Dimensionamento, detalhamento e desenho**

- a) Lajes
  - i) Flexão composta
    - (1) Verifica flexão composta normal
      - (a) Sim
    - (2) Força pequena a ser desprezada
      - (a) 50

**Memorial Descritivo - PROJETO - TRABALHO DE CONCLUSÃO DE CURSO**

- ii) Verifica armadura mínima:
  - (1) Sempre que a armadura de flexão tiver valores menores que a armadura mínima recomendada pela NBR 6118, este valor de norma será adotado.
- iii) Norma p/ verificação ao cisalhamento
  - (1) Dimensionamento de acordo com a ABNT NBR 6118 vigente
- iv) Norma p/ verificação à punção
  - (1) 5
- v) Ponderadores p/ valores de cálculo:
  - (1) Ponderador da resistência do concreto
    - (a) 1,4
  - (2) Ponderador da resistência do aço
    - (a) 1,15
  - (3) Ponderador das solicitações
    - (a) 1,4
- vi) Homogeneização de faixas de armaduras
  - (1) Porcentagem mínima de média ponderada p/  $M(-)$ 
    - (a) 50
  - (2) Porcentagem mínima de média ponderada p/  $M(+)$ 
    - (a) 80
- b) Viga:
  - i) Norma p/ cálculo
    - (1) Dimensionamento de acordo com a ABNT NBR 6118:2014
  - ii) Ponderadores p/ valores de cálculo
    - (1) Ponderador da resistência do concreto
      - (a) 1,4
    - (2) Ponderador da resistência do aço
      - (a) 1,15
    - (3) Ponderador das solicitações
      - (a) 1,4
  - iii) Cálculo de esforços
    - (1) Redução de momentos negativos
      - (a) Cálculo de esforços solicitantes em regime elástico.
  - iv) Flexão
    - (1) Armadura mínima
      - (a) Limite p/ armadura mínima
        - (i) O limite é definido de acordo com as prescrições da ABNT NBR 6118
        - (b) Seção T para cálculo de  $M_{ld,min}$  e  $A_{sm}$ 
          - (ii) Armadura mínima e Momento mínimo ( $M_{ld,min}$ ) calculados considerando seção T.
      - (2) Alojamento de barras sem simetria
        - (a) Aloja as barras na seção transversal em diversas camadas, sem a preocupação de fazer uma distribuição simétrica.
      - (3) Armadura que chega em apoio extremo
        - (a) 2
      - (4) Verificação de dutilidade

**Memorial Descritivo - PROJETO - TRABALHO DE CONCLUSÃO DE CURSO**

- (a) Verifica limites de redistribuição de  $M_i$ , plastificação, nos extremos dos vão e impõe critérios de dureza no dimensionamento das seções transversais conforme prescrições da NBR 6118:2003. É realizada a limitação da posição relativa da Linha Neutra na seção transversal e, consequentemente, aumento da armadura de compressão.
- (5) Ancoragem positiva
  - (a) Ancoragem nos apoios extremos
    - (i) Ancoragem da armadura positiva combinando com grampos, calculados por processo exato quando o comprimento do apoio é pequeno perante o raio de dobra da barra. É válido também para vão internos com faces inferiores não coincidentes.
    - (ii) Bitola que chega no apoio extremo
      - (i) A condição acima não é verificada.
- v) Cisalhamento e Torção
  - (1) Modelo de cálculo
    - (a) Modelo I
  - (2) Limite p/ desprezar torção
    - (a) 5
- vi) Armadura lateral
  - (1) Dimensionamento da armadura lateral
    - (a) Dimensionamento da armadura lateral segundo ABNT NBR 6118:2003 (2007)
  - (2) Altura mínima para colocação de  $A_s$ /lat
    - (a) 60
- vii) Furo em viga
  - (1) Largura máxima do furo
    - (a) 0
  - (2) Corte p/ cálculo de suspensão
    - (a) 0
- c) Pilares
  - i) Norma para cálculo
    - (1) 6
  - ii) Ponderadores p/ valores de cálculo.
    - (1) Ponderador da resistência do concreto
      - (a) 1,4
    - (2) Ponderador da resistência do aço
      - (a) 1,15
    - (3) Ponderador das solicitações
      - (a) 1,4
    - iii) Índices de esbeltez limites
      - (1) Limite p/ 2ª ordem aproximada ( $I/r$  e  $kappa$ )
        - (a) 90
      - (2) Limite p/ 2ª ordem c/  $N, M, 1/c$ 
        - (a) 140
    - iv) Definição dos comprimentos equivalentes
      - (1) Comprimento equivalente calculado de eixo a eixo das vigas.

**Memorial Descritivo - PROJETO - TRABALHO DE CONCLUSÃO DE CURSO**

- v) Transformação de FCO em FCN  
 (1) Não se alternam os esforços da flexão composta obliqua para dimensionamento.
- vi) Porcentagens limites de armadura  
 (1) Porcentagem limite de armadura mínima  
 (a) 0,4  
 (2) Porcentagem limite de armadura máxima  
 (a) 8
- vii) Grampos  
 (1) Grampos verticais no último pavimento  
 (a) Sim  
 (2) Desenho de grampos em forma de S  
 (a) Desenho dos grampos em forma de "S".
- viii) Consideração de peso-próprio  
 (1) Sim
- ix) Pilares-parede  
 (1) Esbeltez limite p/ desprezar efeitos localizados  
 (a) 35  
 (2) Avaliação dos efeitos locais de 2<sup>a</sup> ordem  
 (a) Sim  
 (3) Porcentagem mínima de estribos:  
 (a) 25
- x) Seleção de bitolas no lance  
 (1) % limite p/ seleção no lance  
 (a) 15  
 (2) Número de bitolas a mais p/ seleção no lance  
 (a) 3
- d) Fundações
- i) Sapatas  
 (1) Ponderadores p/ valores de cálculo  
 (a) Ponderador da resistência do concreto  
 (i) 1,4  
 (b) Ponderador da resistência do aço  
 (i) 1,15  
 (c) Ponderador das solicitações  
 (i) 1,4  
 (d) Coeficiente adicional de segurança  
 (i) 1,2  
 (e) Coeficiente de segurança ao tombamento  
 (i) 1,5  
 (f) Coeficiente de segurança ao deslizamento  
 (i) 1,5
- ii) Blocos sobre estacas  
 (1) Ponderadores p/ valores de cálculo  
 (a) Ponderador da resistência do concreto  
 (i) 1,4

**Memorial Descritivo - PROJETO - TRABALHO DE CONCLUSÃO DE CURSO**

- (b) Ponderador da resistência do aço
  - (i) 1,15
- (c) Ponderador das solicitações
  - (i) 1,4
- (d) Coeficiente adicional de segurança
  - (i) 1,2
- (2) Blocos quadrados
  - (a) Igualar armaduras pela maior
    - (i) iguala armaduras pela maior
  - (b) Diferença máxima entre as dimensões:
    - (i) 9
- (3) Blocos de 7 a 24 estacas
  - (a) Método de Cálculo - Bloco Rígido
    - (i) Método CEB-FIP (recomendado)
  - (b) % de armadura principal detalhada
    - (i) 125
- e) Escadas:
  - i) Ponderadores p/ valores de cálculo
    - (1) Ponderador da resistência do concreto
      - (a) 1,4
    - (2) Ponderador da resistência do aço
      - (a) 1,15
    - (3) Ponderador das solicitações
      - (a) 1,4
  - ii) Homogeneização de armaduras
    - (1) Porcentagem mínima p/  $M(-)$ 
      - (a) 50
    - (2) Porcentagem mínima p/  $M(+)$ 
      - (a) 80
  - iii) Cálculo de armadura mínima
    - (1) O limite é definido de acordo com as prescrições da ABNT NBR 6118.

**Critérios do PREO**

**Modelagem**

- 1) Comprimento máximo de elemento pré-moldado
  - a) 1200.000000
  - b) Peso máximo de elemento pré-moldado
    - i) 24.000000
  - c) Extensão relativa do apoio da viga no consolo
    - i) 0.666700
- 2) Dimensionamento
  - a) Engastamento padrão de vigas
    - i) 0.000000
  - b) Engastamento lateral padrão de vigas
    - i) 0.000000

**Memorial Descritivo - PROJETO - TRABALHO DE CONCLUSÃO DE CURSO**

**Detalhamento Geral**

- a) GamaC Concreto
  - i) 1.400000
- b) GamaS Aço
  - i) 1.150000
- c) GamaS Aço Pretendido
  - i) 1.150000
- d) GamaF Ações
  - i) 1.400000
- e) GamaC Concreto (ato da protensão)
  - i) 1.200000
- f) GamaS Aço Convencional (ato da protensão)
  - i) 1.150000
- g) GamaS Aço Pretendido (ato da protensão)
  - i) 1.150000
- h) GamaF Ações (ato da protensão)
  - i) 1.000000
- i) Comprimento do ferro da usina
  - i) 1200.000000

**Detalhamento Vigas**

- a) Altura de solidarização padrão (cm)
  - i) 5.000000
- b) Espessura aparelhos de apoio (cm)
  - i) 1.000000
- c) Folga vigas (cm)
  - i) 2.000000

**Detalhamento Pilares**

- a) Espaçamento de estribos geral cm
  - i) 15.000000
- b) Espaçamento de estribos região do consolo
  - i) 5.000000
- c) Espaçamento de estribos região da fundação
  - i) 10.000000
- 2) Detalhamento Lajes
  - a) Distância de lajes pré-moldadas a pilares
    - i) 1.000000
  - b) Distância de apoio de lajes s / vigas
    - i) 10.000000
  - c) Combinação para pré - dimensionamento, [1]AtoPro[2]COPerm[3]CFreq[4]CTNM
    - i) 1
  - d) Multiplicador do esforço para pré-dimensionamento
    - i) 1.200000
  - e) Divisor do vão que define deslocamento limite
    - i) 250.000000

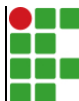
**Memorial Descritivo - PROJETO - TRABALHO DE CONCLUSÃO DE CURSO****Detalhamento consolos**

- | a) | Norma de referência p/detalhamento          | [0] | NBR9062:1985; | {1} |
|----|---|-----|---------------|-----|
| a) | NBR9062:2001,NBR9062:2006,NBR9062:2014      | i)  | 1             |     |
| b) | GamaN consolo                               | i)  | 1.200000      |     |
| c) | Força horizontal mínima/força vertical      | i)  | 0.165000      |     |
| d) | Bitola mínima tirante, mm                   | i)  | 12.500000     |     |
| e) | GamaS aço alternativo                       | i)  | 1.250000      |     |
| 2) | Detalhamento Câlices                        |     |               |     |
| a) | Câlice e pilar (1) liso (2) rugoso NBR-9062 | i)  | 1             |     |
| b) | Cobrimento externo cm (3) default           | i)  | 3.000000      |     |
| c) | Cobrimento interno cm (1) default           | i)  | 1.000000      |     |
| d) | Espessura mínima parede cm                  | i)  | 10.000000     |     |

Memorial Descritivo - PROJETO - TRABALHO DE CONCLUSÃO DE CURSO

**FIGURAS COMPLEMENTARES:**

A seguir são apresentadas as figuras do projeto.

	<b>INSTITUTO FEDERAL DE EDUCAÇÃO, CIÉNCIA E TECNOLOGIA DA PARAÍBA</b>
	Campus Patos - Código INEP: 25281925
	Br 110, S/N, Alto da Tubiba, CEP 58700-000, Patos (PB)
	CNPJ: 10.783.898/0006-80 - Telefone: None

## Documento Digitalizado Ostensivo (Público)

2024\_tcc\_khsilvasobrinho

<b>Assunto:</b>	2024_tcc_khsilvasobrinho
<b>Assinado por:</b>	Valteson Silva
<b>Tipo do Documento:</b>	Relatório
<b>Situação:</b>	Finalizado
<b>Nível de Acesso:</b>	Ostensivo (Público)
<b>Tipo do Conferência:</b>	Documento Original

Documento assinado eletronicamente por:

- Valteson da Silva Santos, COORDENADOR(A) DE CURSO - FUC1 - CBEC-PT, em 28/10/2024 22:42:36.

Este documento foi armazenado no SUAP em 06/11/2024. Para comprovar sua integridade, faça a leitura do QRCode ao lado ou acesse <https://suap.ifpb.edu.br/verificar-documento-externo/> e forneça os dados abaixo:

Código Verificador: 1301953

Código de Autenticação: accd512ce5

